

F.V.O. nr. 3021

Vakgroep Bioprocestechnologie

Verslag behorende
bij het fabrieksvoorontwerp
van:

L. Boon en M. Snijder

**Fabrieksvoorontwerp van een
melkzuurfabriek met als
belangrijke scheidingsstap
elektrodialyse**

L. Boon
Erasmussingel 4^a
3051 KE Rotterdam

M. Snijder
Pasteurstraat 7
2613 ZW Delft

Opdrachtdatum: 9 februari 1993
Verslagdatum: 29 april 1993

SAMENVATTING

Dit verslag behandelt een voorontwerp van een melkzuurfabriek met een capaciteit van 20000 ton per jaar.

Melkzuur wordt door middel van continue fermentatie van glucose gemaakt, waarbij het melkzuur tijdens de fermentatie wordt verwijderd. Hiertoe wordt de fermentatiebroth door een recycleloop gevoerd waarbij de cellen in een microfiltratie-unit worden geconcentreerd en teruggevoerd naar de fermentor. Het permeaat gaat naar de elektrodialyse waar het lactaat grotendeels verwijderd wordt. De fermentatievloeistof wordt ook gerecirkuleerd naar de reaktor. De ontstane ammonia wordt hergebruikt voor het neutraliseren van de fermentor.

Het melkzuur wordt verder opgezuiverd met behulp van een ionenwisselaar en een destillatietoren.

Alhoewel het een zeer schoon proces is, met een kwalitatief goed produkt is niet aantrekkelijk om het in de praktijk toe te passen in verband met de extraordinair hoge elektriciteitskosten die nodig zijn voor de elektrodialyse. De enige manier waarop het rendabel gemaakt kan worden is door middel van het genereren van eigen energie. Om het proces schoon te houden zou dat dan nog een milieuvriendelijke manier van energieopwekken moeten zijn. Dit doorrekenen valt echter buiten het kader van dit fabrieksontwerp.

INHOUDSOPGAVE

1. Inleiding	1
2. Uitgangspunten voor het ontwerp	2
3. Flowsheet	4
4. Reaktorontwerp en kinetiek	5
4.1 Dimensionering van de reaktor	5
4.2 Warmteproduktie in de reaktor	6
4.3 Temperatuurregeling van de reaktor	7
4.4 Berekenen van de dimensies van de opwarmspiraal	8
4.5 Kinetiek van de lactaatproductie	10
5. Microfiltratie	14
6. Elektrodialyse	19
7. Rotary filter	33
8. Ionenwisselaar	35
9. Destillatie	39
10. Sterilizers en pompen	40
11. Massa en energiebalansen	41
11.1 Overall massa- en energiebalans	41
11.2 Componentenbalans	43
12. Specificatieblad destillatie	48

13. Kosten	49
14. Symbolenlijst	55
15. Conclusies en aanbevelingen	59
16. Literatuur	60

Bijlagen

- Bijlage I (behorende bij hfst. 4)
- Bijlage II (behorende bij hfst. 5)
- Bijlage III (behorende bij hfst. 6)
- Bijlage IV (behorende bij hfst. 7)
- Bijlage V (behorende bij hfst. 9)
- Bijlage VI (behorende bij hfst. 10)

1. INLEIDING

Melkzuur of α -hydroxy-propionzuur ($\text{CH}_3\text{-CHOH-COOH}$) werd in 1780 ontdekt door Carl Wilhelm Scheele (Benninga et al., 1990).

In 1839 werd het voor het eerst melkzuur op fermentatieve wijze bereid door een student van Gay-Lussac, Frémy.

Pas in 1882 werd de eerste commerciële melkzuurfabriek gebouwd door Avery in Littleton (Benninga et al., 1990).

Melkzuur en melkzure zouten worden in veel voedingsmiddelen en pharmaceutische produkten toegepast om de smaak of houdbaarheid te verbeteren. Verder is melkzuur een belangrijke intermediair voor melkzure esters die worden toegepast voor lakken, zoetstof, geneesmiddelen, polymeren en implantaten.

De totale wereld melkzuur produktie is ongeveer 40000 ton per jaar. PURAC in Gorinchem is een van grootste melkzuurproducenten.

Er zijn drie zuiverheidsgraden voor melkzuur, technisch, eetbaar en hittestabiel.

Bij de huidige produktiemethode van melkzuur is vooral de verzuring in de fermentor en de daarmee samenhangende grote hoeveelheid gips die tijdens het proces gevormd wordt een probleem. Melkzuur werkt bovendien remmend op de produktie, vooral bij lage pH. (Alleen de ongedissocieerde vorm is giftig)

Het doel van dit fabrieksvoorontwerp is het doorrekenen van een continue variant van het huidige proces, waarbij de melkzuur tijdens de fermentatie door middel van elektrodialyse verwijderd wordt. De voordelen van een dergelijk proces zijn duidelijk. Er wordt geen afvalstroom gips meer geproduceerd, de produktie neemt toe omdat de fermentor veel minder verzuurd en de ammonia waarmee getitreerd wordt, wordt gerecirkuleerd. Vooral de eerste reden is in deze tijd van toenemend milieubesef erg belangrijk.

2. UITGANGSPUNTEN VOOR HET ONTWERP

Het doel van dit fabrieksvoorontwerp is het ontwerpen van een melkzuurfabriek met een capaciteit van 20000 ton per jaar met behulp van elektrodialyse, waarmee lactaat tijdens de produktie uit de fermentatieopstelling verwijderd kan worden.

Het voordeel hiervan is dat de enorme bijproduktie van gips voorkomen wordt.

Hierbij wordt uitgegaan van een effectieve produktietijd van 8000 uren per jaar.

In verband met de corrosieve eigenschappen van melkzuur worden alle onderdelen die hiermee in contact komen vervaardigd van 316L-roestvast staal.

Als grondstof wordt glucose gebruikt. Voor het fermentatiemedium wordt verder een nutriëntoplossing gebruikt. Deze heeft de volgende samenstelling (Heriban et al, 1993):

gistextract	10	g/l
KH ₂ PO ₄	1	g/l
(NH ₄) ₂ SO ₄	1	g/l
MgSO ₄ .7H ₂ O	0.2	g/l
MnSO ₄ .4H ₂ O	0.05	g/l
FeSO ₄ .7H ₂ O	0.01	g/l

Tijdens de fermentatie wordt de pH geregeld met ammonia.

Bij dit proces wordt zeer weinig afval geproduceerd. Een vloeibare afvalstroom van 4 m³/h met een concentratie ammoniumlactaat van 6 g/l en een verwaarloosbare hoeveelheid nutriënten en een vaste afvalstroom van gedroogd celmateriaal afkomstig van het rotaryfilter (17.56 kg/h).

Gegevens van melkzuur

kookpunt 190 °C

viscositeit 1-4 cP (voor oplossingen onder 50%)

dichtheid 1000-1100 kg/m³ (voor oplossingen onder 50%)

Doordat melkzuur zowel een hydroxyl- als een carboxylgroep bevat kan het zelfveres-

tering ondergaan als het sterk geconcentreerd wordt. Polymerisatie kan ongedaan gemaakt worden door de oplossing te koken met water.

3. FLOWSHEET

Ammonia, glucose en nutrientoplossing worden continu gesteriliseerd (H1, H2 en H3) en vervolgens opgeslagen in voorraadvaten (V1, V2 en V3). Deze drie componenten worden gemengd (M1) waarna ze als feed ($4 \text{ m}^3/\text{h}$) naar de fermentor (V4) gaan.

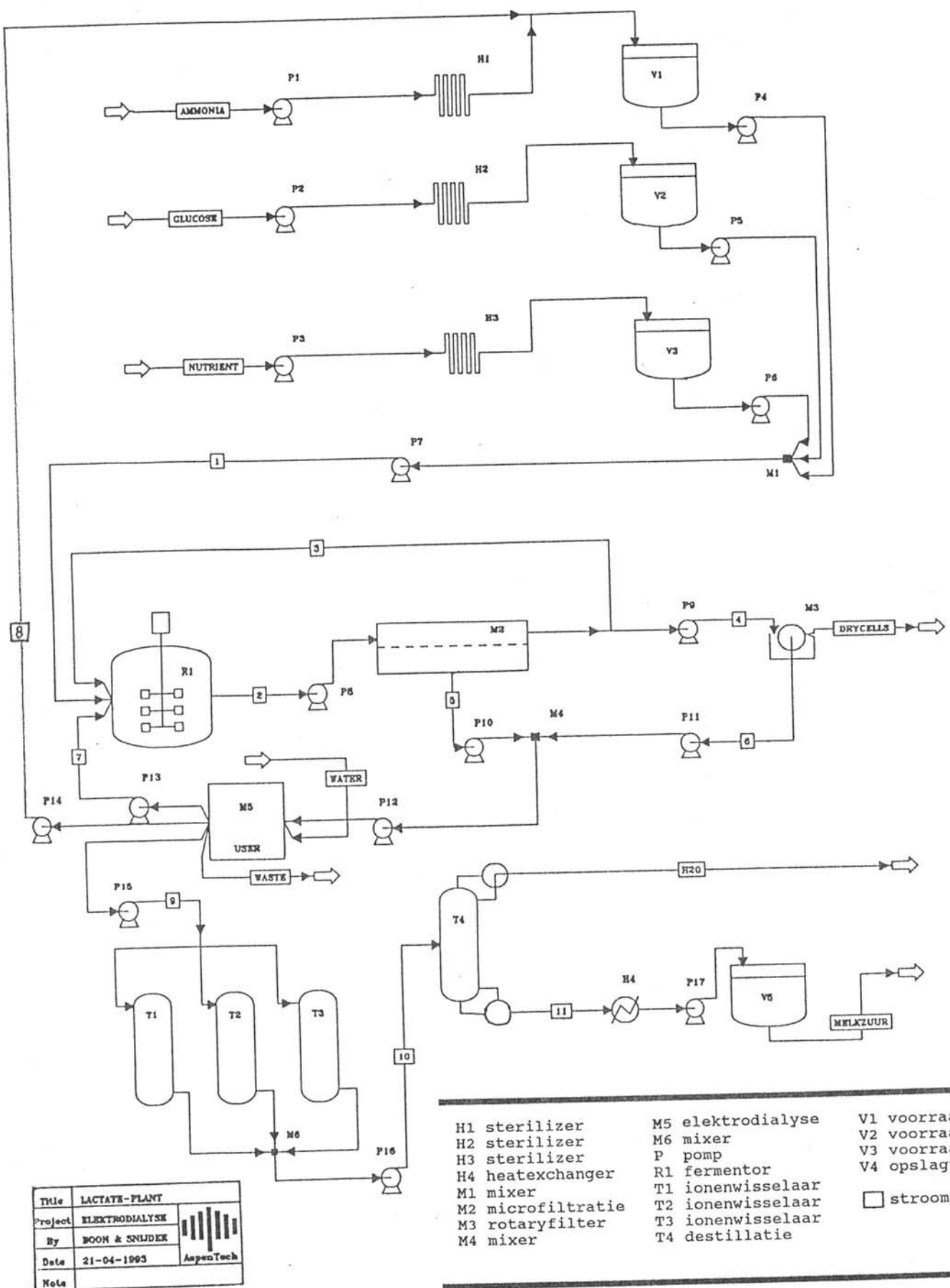
Vanuit de fermentor gaat een stroom van $50 \text{ m}^3/\text{h}$ naar de microfiltratie-unit. De cellen worden geconcentreerd tot een volumeflow van $12.5 \text{ m}^3/\text{h}$, waarvan $12 \text{ m}^3/\text{h}$ wordt gerecirkuleerd naar de fermentor en $0.5 \text{ m}^3/\text{h}$ naar het rotaryfilter (M3) gaat.

De permeaatflow van het microfilter ($37.5 \text{ m}^3/\text{h}$) gaat samen met de filtraatflow van het rotaryfilter (0.5 m^3) naar de elektrodialyse (M5). Hier wordt lactaat grotendeels verwijderd uit de toevoerstroom. Deze wordt na de elektrodialyse grotendeels teruggevoerd naar de fermentor ($34 \text{ m}^3/\text{h}$) en voor een klein deel gespuid ($4 \text{ m}^3/\text{h}$, conc. melkzuur 6 g/l).

De ammonia die ontstaat bij de elektrodialyse wordt gerecirkuleerd naar het voorraadvat ammonia (V1).

De geconcentreerde melkzuuroplossing wordt door een ionenwisselaar (T1, T2 of T3) geleid en vervolgens geconcentreerd tot 80 % melkzuur in een destillatietoren (T4). Het produkt wordt afgekoeld tot 20°C in een heatexchanger (H4) en vervolgens opgeslagen in een opslagtank (V5).

De hier weergegeven versie van de flowsheet is in feite de helft van de totale plant. De twee helften zijn voor elke stap gekoppeld, zodat de apparatuur voor elke stap uitwisselbaar is (nodig voor storingen).



4. REAKTORONTWERP EN KINETIEK

4.1 Dimensionering van de reaktor.

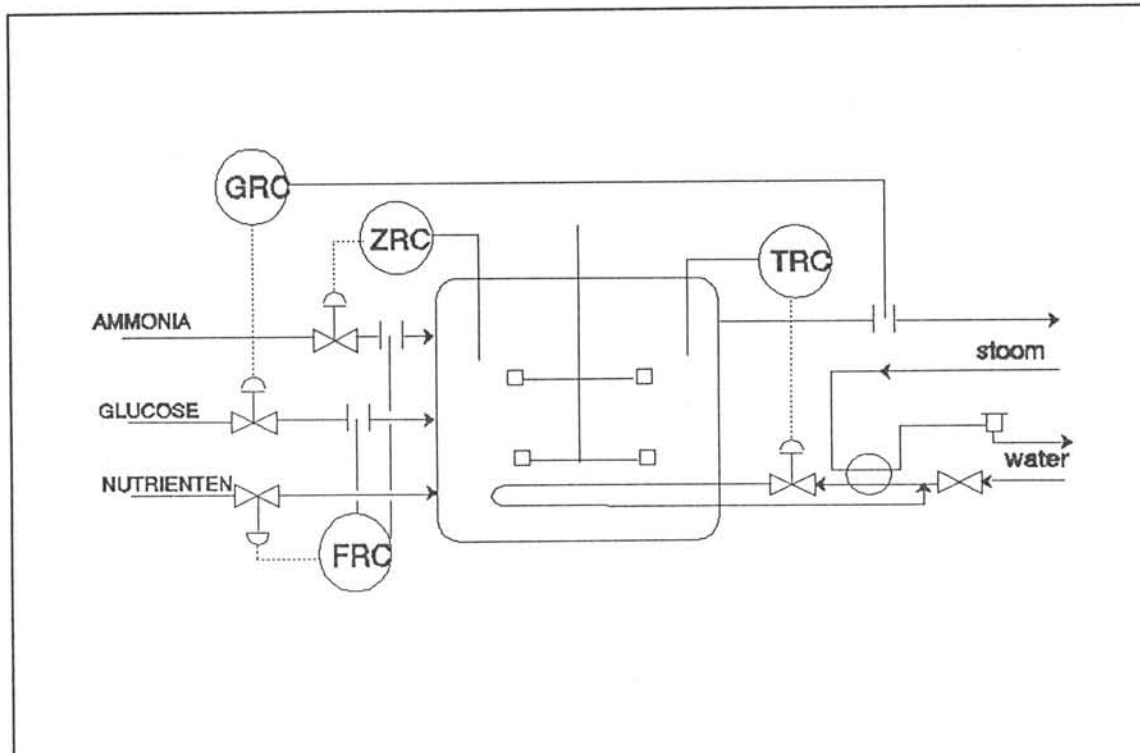


Fig 4.1 Regelschema van de fermentor

Er worden twee identieke reaktoren van 316L-staal (in verband met de corrosieve eigenschappen van melkzuur) met een totaal volume van 80 m^3 geplaatst (fig 4.1). Hierdoor kan de produktie doorgaan als er in één van beide een storing optreedt. Per reaktor is een standaard fermentatievat genomen waarbij de hoogte (H) gelijk is aan de diameter (T_v). Het volume (V_1) is 40 m^3 . Hieruit volgt dat zowel de hoogte als de diameter van het vat 3.7 meter is.

Per reaktor hebben we twee standaard Rushton turbine roerders genomen, waarbij de diameter van de roerder (D) gelijk is aan één derde van de diameter van het vat. De diameter van de roerder is dus 1.12 meter. Ze worden respectievelijk op 1.12 m en 2.24 meter van de bodem geplaatst.

Bij Rushton turbineroerders geldt dat de hoogte van de roerder (H_s) gelijk is aan $1/5$ van de diameter = 0.22 m.

We willen werken in het turbulente regime ($Re > 10^4$) in verband met een goede menging. Hier geldt dat het Powernumber (N_p) gelijk is aan 6.

De verblijftijd in het vat (Θ) is $Br/V_1 = 48$ minuten.

De mengtijd moet dus veel kleiner zijn dan Θ (criterium ± 50 keer zo klein). $t_m = 60$ seconden.

Voor de mengtijd bestaat de volgende empirische vergelijking (ref):

$$t_m = \frac{0.6}{N} \cdot \frac{\left(\left(\frac{T}{D} \right)^3 \cdot \left(\frac{H}{T} \right) \right)}{\left(N_p \cdot \left(\frac{HS}{D} \right)^2 \right)^{0.33}} \quad (4.1)$$

Hieruit blijkt dat N 35 omwentelingen per minuut moet zijn om een goede menging te verkrijgen. Het vermogen van de roerder (P_s) kan nu berekend worden uit:

$$P_s = N_p \cdot \rho \cdot N^3 \cdot D^5 \quad (4.2)$$

Het vermogen is ongeveer 2 kW. Voor twee roerders aan één as moet dit vermogen vermenigvuldigd worden met $\sqrt{2}$. Het totale vermogen is dus 2.83 kW.

4.2 Warmteproductie in de reaktor.

Er wordt op twee manieren warmte toegevoegd aan de reaktor. Enerzijds komt warmte vrij bij de productie van melkzuur (omdat 94% van alle glucose wordt omgezet in melkzuur verwaarlozen we de andere reacties) en anderzijds wordt mechanische energie van de roerder overgebracht op het medium in de vorm van kinetische energie, welke vervolgens in warmte wordt omgezet.

De reaktiewarmte die vrijkomt bij de omzetting van glucose in melkzuur is 151 J/mol. De produktiestroom is $41 \text{ m}^3/\text{h}$ met een melkzuurconcentratie van 40 kg/m^3 . Het molecuulgewicht van melkzuur is 90.08 g/mol. De productie van melkzuur op molbasis is dus 18222 mol/h.

De warmte die per uur vrijkomt is $-2.7 \cdot 10^6$ Joule wat overeenkomt met -611 Watt.
 Het vermogen van de roerders is 2.83 kW.
 Totaal wordt er dus -3441 J/s aan warmte geproduceerd.

4.3 Temperatuurregeling van de reaktor.

De geproduceerde warmte verdwijnt volledig via de wanden van de reaktor.
 Het oppervlak van de reaktor is 64.5 m^2 inclusief bodem en deksel. De geleidingscoefficient van 316L-staal (λ_{316L}) is $53.392 \text{ W/m}^2\text{K}$. De wand van de reaktor is 0.25 inch = $0.635 \cdot 10^{-2} \text{ m}$ dik (d_w). De warmteoverdrachtscoefficient voor gassen (waaronder lucht), bij vrije convectie (min of meer stilstaande lucht in een fabriekshal) ligt tussen de 5 en $15 \text{ W/m}^2\text{K}$.

Stel $h_{lucht} = 10 \text{ W/m}^2\text{K}$. Dit is de weerstand die het meeste effect heeft op de totale warmteflux door de wand.

De warmteoverdrachtscoefficient van de broth (h_b) kan berekend worden met behulp van de volgende formule.

$$\frac{h_b \cdot T}{\lambda_b} = 0.6 \cdot \left(\frac{N \cdot D^2}{v_b} \right)^{0.67} \cdot \left(\frac{C_{pb} \cdot \eta_b}{\lambda_b} \right)^{0.33} \quad (4.3)$$

De totale weerstand voor de warmteoverdracht via de wand van de reaktor (h_T) wordt berekend met:

$$\frac{1}{h_T} = \frac{1}{h_b} + \frac{d_w}{\lambda_{316L}} + \frac{1}{h_{lucht}} \quad (4.4)$$

h_T is $9.95 \text{ W/m}^2\text{K}$.

Het koelend vermogen van de wand (H_w) volgt nu uit:

$$H_w = h_T \cdot A \cdot (T_{broth} - T_{uit}) \quad (4.5)$$

H_w is 16044 Watt.

Om de reaktor op een temperatuur van 45°C te houden moet dus nog warmte toegevoerd worden, 12643.5 W bij een buitentemperatuur van 20 °C (Deze waarde is toegepast in de kostenberekening). Bij een buitentemperatuur van -25°C moet nog 41525 Watt aan warmte toegevoerd worden.

De hoeveelheid warmte die door de wand van de reaktor afgevoerd wordt is dus sterk afhankelijk van de buitentemperatuur. Voor het berekenen van de dimensies van de opwarmspiraal zijn we uitgegaan van een zeer strenge winter met een buitentemperatuur van -25°C. De capaciteit zal dus onder alle omstandigheden toereikend zijn. Een aparte koelspiraal is in ons geval niet nodig. De wand van de reaktor zorgt voor voldoende koeling tot een buitentemperatuur van ongeveer 40°C. Warmer is het in Nederland nooit. In verband met de veiligheid is een koudwaterleiding via een klep worden aangesloten op de opwarmspiraal, zodat in nood gevallen de opwarmspiraal in een koeling omgezet kan worden.

4.4 Berekenen van de dimensies van de opwarmspiraal

Om de weerstandscoefficient van het hete water in de spiraal te berekenen hebben we het Nusselt-getal voor turbulente stroming in buizen uitgerekend bij 100°C. Hierbij is de snelheid van de stroming ingesteld op 1 m/s.

$$\langle Nu \rangle = 0.027 \cdot Re^{0.8} \cdot Pr^{0.33} \quad (4.6)$$

Nusselt is 136.92 onder deze condities.

De weerstandscoefficient voor heet water is nu te berekenen uit:

$$\langle Nu \rangle = \frac{h_{hw} \cdot d_s}{\lambda_{hw}} \quad (4.7)$$

h_{hw} is 9338 W/m²K.

De totale weerstand voor de warmteoverdracht (h_{tw}) van de opwarmspiraal naar de brood kan berekend worden met formule 4 waarbij in plaats van h_w , h_{hw} ingevuld wordt.

H_{tw} is 1966 W/m²K.

De oppervlakte (α) van de opwarmspiraal kan nu berekend worden uit de volgende formule:

$$V = h_{t_w} \cdot \alpha \cdot \left(\frac{T_{vo} - T_{vi}}{\ln \left(\frac{T_b - T_{vi}}{T_b - T_{vo}} \right)} \right) \quad (4.8)$$

Het vermogen dat de verwarming maximaal moet leveren (V) is 41525 Watt. De ingaande waterstroom van de spiraal heeft een temperatuur (T_{vi}) van 100°C, de uitgaande (T_{vo}) is 60°C. (Het is niet aantrekkelijk om de spiraal af te laten koelen tot 45°C, omdat de drijvende kracht dan zeer laag wordt.) Het verwarmingswater wordt na de reaktor bijverwarmd tot 100°C en gerecirkuleerd. De berekende oppervlakte van de spiraal (α) is dan 0.6861 m².

De diameter van de spiraal is 0.01 m.

De benodigde spiraallengte is dus 21.8 m.

De temperatuur van de reaktor wordt geregeld door een temperatuursensor die de pomp van de verwarming inschakelt als de temperatuur onder de 45°C komt.

Als de omgevingstemperatuur mild is, zal het inschakelen van de verwarming misschien een te drastisch effect hebben. In dat geval kan de temperatuur van inflow van de verwarming lager afgesteld worden.

In de winter is het waarschijnlijk lucratief om de reaktor te isoleren, waardoor fors bezuinigd kan worden op de stookkosten. In verband met het krappe tijdschema konden wij deze mogelijke optimalisatie echter niet doorrekenen. In dat geval is een koeler wel noodzakelijk.

4.5 Kinetiek van de lactaatproductie

Het modelleren van de kinetiek van de lactaatproductie van *Lactobacillus delbrueckii* bleek geen sinecure te zijn. Dit werd hoofdzakelijk veroorzaakt doordat het produktieorganisme van Purac een veel hogere produktiviteit heeft dan de labstammen uit de literatuur. Hierdoor zijn de kinetische parameters uit de literatuur niet goed toepasbaar in ons kinetische model.

De specifieke groeisnelheid (μ) wordt enerzijds beïnvloed door de substraatconcentratie (glucose) en anderzijds door de melkzuurconcentratie (produktinhibitie).

Bij lagere glucoseconcentraties neemt μ toe als de hoeveelheid glucose toeneemt, echter bij hoge glucoseconcentraties heeft een verdere toename een inhiberend effect op de specifieke groeisnelheid.

Produktinhibitie wordt vooral veroorzaakt door de ongedissocieerde vorm van melkzuur, het lactaat heeft veel minder effect. Daarom is het zeer belangrijk de pH van 6 tijdens de fermentatie te handhaven zodat het melkzuur zo veel mogelijk gedissocieerd is.

De formule (Gonçalves et al., 1991) die wij gebruiken om de μ uit te rekenen ziet er als volgt uit:

$$\mu = \mu_{\max} * (1 - P/P_m)^{2,1} * (1 - S/S_m)^{0,71} \quad (4.9)$$

Hierin is P de melkzuur-(produkt)-concentratie (gedissocieerd + ongedissocieerd), S de glucose-(substraat)-concentratie, Sm de substraatconcentratie waarbij μ nul wordt en Pm de produktconcentratie waarbij μ nul wordt. μ_{\max} is de maximale specifieke groeisnelheid. μ is de specifieke groeisnelheid in de fermentor.

Door middel van het opzetten van balansen over de reaktor en de recycleloop kan het verloop van μ en de concentraties cellen, glucose en melkzuur gesimuleerd worden.

Hierbij zijn we er niet aan ontkomen een paar kinetische parameters uit de literatuur voor het berekenen van μ te gebruiken. Voor wat betreft de yields hebben we de waarden zoals vermeld door Purac gebruikt.

De balansen zien er als volgt uit (zie figuur 4.2):

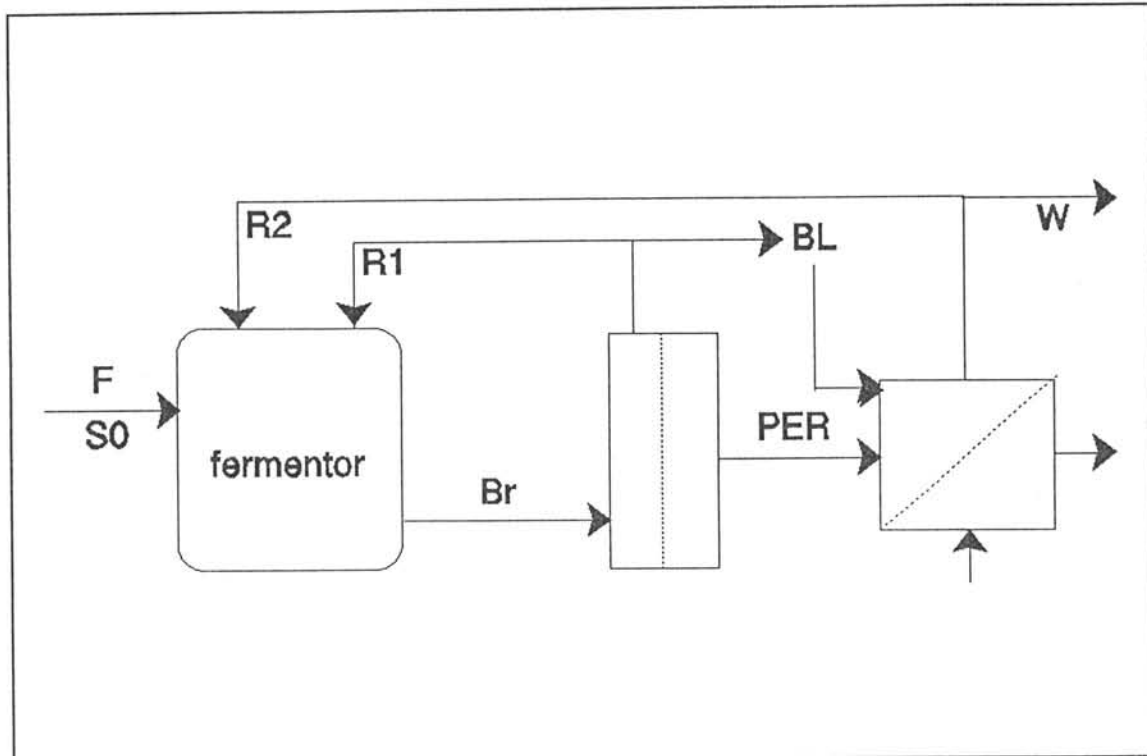


Fig 4.2. Codering van de stromen

$$\frac{dX_1}{dt} = \frac{X_2 * R_1}{V_1} + (X_1 * (\mu - K_D - \frac{B_r}{V_1}))$$

$$\frac{dS_1}{dt} = \frac{S_0 * F}{V_1} - \frac{(S_1 * B_r)}{V_1} + \left(S_2 * \frac{(R_1 + P_E + B_L - W)}{V_1} \right) - X_1 * \left(\frac{(\mu - K_D)}{Y_{sx}} - M_s \right)$$

$$\frac{dP_I}{dt} = -\frac{P_I * B_r}{V_1} + \left(P_2 * \frac{(R_1 + 0.15 * (P_E - W + B_L))}{V_1} \right) + X_1 * Y_{sp} * \left(\frac{(\mu - K_D)}{Y_{sx}} + M_s \right)$$

$$\frac{dX_2}{dt} = \frac{X_1 * B_r}{V_2} - \left(X_2 * \left(K_D + \frac{B_L}{V_2} + \frac{R_1}{V_2} \right) \right) \quad (4.13)$$

$$\frac{dS_2}{dt} = \frac{S_1 * B_r}{V_2} - \left(S_2 * \frac{(P_E + R_1 + B_L)}{V_2} \right) - X_2 * \left(M_s - \frac{K_D}{Y_{sx}} \right) \quad (4.14)$$

$$\frac{dP2}{dt} = \frac{P1 * Br}{V2} - (P2 * \frac{(PER + RI + BL)}{V2}) + Y_{sp} * X2 * \left(M_s - \frac{KD}{Y_{sx}} \right) \quad (4.15)$$

Hierbij zijn X1 en X2 respectievelijk de concentraties biomassa in de fermentor en in de uitgaande recycleflow van de microfiltratie, Y_{xs} en Y_{ps} respectievelijk de yield van biomassa en melkzuur op glucose, F is de voedingsvolumestroom, S_0 is de glucoseconcentratie in de voedingsstroom. De voedingsstroom wordt zo geregeld dat de glucoseconcentratie nul wordt in de microfiltratie-unit (zie fig 4.1). Hierdoor vindt er geen glucose-vervuiling van het produkt plaats en is de groei van de microorganismen in de microfiltratieunit verwaarloosbaar.

R1 is de recyclestroom van de microfiltratie naar de fermentor. BL is de bleedstroom die gefiltreerd wordt met een rotaryfilter en vervolgens naar de elektrodialyse gaat. PER is de permeaatstroom van de microfiltratie-unit naar de elektrodialyse. W is de afvalstroom en R2 de recyclestroom van de elektrodialyseunit naar de fermentor. S1, S2 en P1 en P2 zijn achtereenvolgens de substraat- en produktconcentraties in de fermentor en de microfiltratie. V1 en V2 zijn de volumes van de fermentor en de microfiltratie-eenheid.

$$Q_p = Y_{sp} * \left(\frac{(\mu - KD)}{Y_{sx}} + M_s \right) \quad (4.16)$$

Q_p is de specifieke produktiesnelheid (g melkzuur/(g biomassa*h))

In bijlage I is het PsiE-simulatieprogramma weergegeven.

In steady state is de biomassaconcentratie in de fermentor

11 g/l en de melkzuurconcentratie 40 g/l.

AFKORTINGEN

BL	= bleedflow na microfiltratie	0.5 m ³ /h
Br	= outflow fermentor	57 m ³ /h
F	= feed	5.7 m ³ /h
KD	= specifieke afsterfsnelheid	0.04 h ⁻¹
Ms	= maintenancecoefficient	0.1 h ⁻¹
P0	= conc. melkzuur in fermentor op t=0	kg/m ³
P1	= conc. melkzuur in fermentor	kg/m ³
P2	= conc. melkzuur in microfiltratie	kg/m ³
PER	= permeaatflow microfiltratie	41 m ³ /h
R1	= recycleflow van microfiltratie	15.5 m ³ /h
R2	= recycleflow van elektrodialyse	35.8 m ³ /h
Pm	= conc. melkzuur waarbij $\mu = 0$	81 kg/m ³
S0	= conc. glucose in de feedstroom	kg/m ³
S1	= conc. glucose in fermentor	kg/m ³
S2	= conc. glucose in microfiltratie	kg/m ³
Sm	= conc. glucose waarbij $\mu = 0$	401.8 kg/m ³
V1	= volume fermentor	40 m ³
V2	= volume microfiltratie	10 m ³
W	= afvalstroom elektrodialyse	4 m ³
X0	= conc. biomassa in fermentor op t=0	kg/m ³
X1	= conc. biomassa in fermentor	kg/m ³
X2	= conc. biomassa in microfiltratie	kg/m ³
Y _{sx}	= yield van biomassa op glucose	0.03 g/g
Y _{sp}	= yield van melkzuur op glucose	0.94 g/g
μ	= specifieke groeisnelheid	h ⁻¹
μ_{\max}	= maximale specifieke groeisnelheid	0.406 h ⁻¹

5. MICROFILTRATIE (M2)

Voordat het lactaat selectief van de fermentatievloeistof wordt verwijderd d.m.v. elektrodialyse, moeten de cellen eerst afgescheiden worden. De aanwezigheid van cellen in het elektrodialyse apparaat veroorzaakt sterke vervuiling van de membranen. Met microfiltratie worden de cellen geheel verhinderd om met lactaat mee te gaan naar het elektrodialyse apparaat.

Microfiltratie behoort tot de categorie van crossflow filtratie. Dit houdt in dat de flowrichting van de feed loodrecht op het drukverschil staat en dat dus een deel van de feed door het membraan wordt gedreven, terwijl de rest tangentieel langs het membraan stroomt (Davis, 1992).

Een deel van de filterkoek wordt door deze flow van het filtermedium weggesleept. Bij microfiltratie kunnen deeltjes in de range van .1 tot 10 μm worden afgescheiden.

Voor de macroscopische massabalansen (5.1) die het filterproces beschrijven is kennis nodig van de oppervlakte gemiddelde permeaatflux $\langle J \rangle$.

$$Q_i - Q_u = \langle J \rangle A \quad [\text{m}^3 \text{ s}^{-1}] \quad (5.1)$$

Waarin:

Q_i = feed $[\text{m}^3 \text{ s}^{-1}]$

Q_u = retentaat $[\text{m}^3 \text{ s}^{-1}]$

$\langle J \rangle$ = gemiddelde permeaatflux $[\text{m s}^{-1}]$

A = totaal membraanoppervlak $[\text{m}^2]$

Deze flux kan voorspeld worden door het concentratie-polarisatie model, die als volgt wordt beschreven.

Wanneer de deeltjes worden gestopt door het membraan zal zich daar een koek vormen. De koekdikte neemt toe en reduceert de permeaatflux totdat er een steady-state situatie ontstaan is. Bij steady-state is de convectie van deeltjes naar de koek door de permeaatflux, gelijk aan de diffusie en opdwarreling van deeltjes weg van de koek en aan de convectie van deeltjes naar de uitgang.

Bij het concentratie-polarisatiemodel is het proces van convectie in balans met diffusie geconcentreerd in een grenslaag naast de koek waarin een snelle daling is van de deeltjesconcentratie.

Mathematisch wordt dit weergegeven in de volgende balans:

$$-D \frac{\partial \phi}{\partial y} = J \phi \quad [\text{m s}^{-1}] \quad (5.2)$$

Waarin:

D = diffusiecoëfficiënt van de deeltjes [$\text{m}^2 \text{s}^{-1}$]

ϕ = volumefractiedeeltjes op plaats y [-]

J = permeatflux [m s^{-1}]

y = de coördinaat loodrecht op stroomrichting [m]

Wanneer de diffusiecoëfficiënt niet varieert in de y -richting dan volgt na integratie over de grenslaag:

Waarin:

k_d = stofoverdrachtscoëfficiënt gegeven door:

$$J = k_d \ln \frac{\phi_w}{\phi_s} \quad [\text{m s}^{-1}] \quad (5.3)$$

δ = dikte van de grenslaag [m]

$$k_d = \frac{D}{\delta} \quad [\text{m s}^{-1}] \quad (5.4)$$

ϕ_w = volumefractiedeeltjes aan de membraanwand [-]

ϕ_s = volumefractiedeeltjes in de bulk [-]

Vergelijking 5.4 komt overeen met de uitdrukking voor de permeatflux bij ultrafiltratie, echter wordt de diffusiecoëfficiënt hier niet beschreven met Brownse diffusie omdat deze de flux onderschat. Dit komt door de invloed van de laterale stroming die een deel van de deeltjes verhindert te sedimenteren, zodat de filterkoek minder dik kan worden.

De uitdrukking voor de diffusiecoëfficiënt wordt gegeven door de empirische relatie

van Zydney en Colton:

$$D = 0.03 r^2 \dot{\gamma} \quad [\text{m}^2 \text{ s}^{-1}] \quad (5.5)$$

Waarin:

r = deeltjesstraal [m]

$\dot{\gamma}$ = shearrate, voor turbulente stroming gegeven door:

$$\dot{\gamma} = fu \frac{Re}{2d_h} \quad [\text{s}^{-1}] \quad (5.6)$$

f = Fanning frictie factor [-]

u = gemiddelde snelheid [m s^{-1}]

Re = getal van Reynolds [-]

$$Re = \frac{d_h u \rho}{\mu} \quad [-] \quad (5.7)$$

ρ = dichtheid medium [kg m^{-3}]

μ = viscositeit medium [Pa s]

d_h = hydraulische diameter [m]

Het verband tussen de diffusiecoëfficiënt en de stofoverdrachtscoëfficiënt wordt gegeven door:

$$Sh = A (Re)^a (Sc)^b \left(\frac{d_h}{l} \right)^c \quad [-] \quad (5.8)$$

Hierin is:

Sh = getal van Sherwood [-]

$$Sh = \frac{kd_h}{D} \quad [-] \quad (5.9)$$

Sc = getal van Schmidt [-]

$$Sc = \frac{\mu}{\rho D} \quad [-] \quad (5.10)$$

l = lengte van de buis [m]

A,a,b en c zijn coëfficiënten die bepaald worden door het stromingsgebied waarin men zich bevindt en door de geometrie van de buis (Wielen v.d., 1993).

Tabel 5.1. De waarde van de verschillende coëfficiënten voor de verschillende geometriën en stromingsregime.

geometrie	stromings-regime	A	a	b	c
rond	laminair	1.62	0.33	0.33	0.33
recht-hoekig	laminair	1.87	0.33	0.33	0.33
rond en rechth.	turbulent	0.023	0.8	0.33	0.0

De membranen die toegepast worden bevinden zich in een module, deze bestaat uit een buis waarin een twintigtal membranen evenwijdig aan elkaar liggen.

Bij zeer grote voedingsstromen en een hoge benodigde permeatstroom zijn grote membraanoppervlakken nodig. Dit houdt in dat behalve dat er modules parallel worden geschakeld er ook modules in serie moeten worden geschakeld. Aangezien de flow afneemt zijn er na elke stap minder modules parallel nodig.

De modules worden dan ook bij dit soort processen in een soort pyramide geplaatst. In de onderstaande tabel staan de specificaties van de gebruikte module (Mir et all, 1992).

Tabel 5.2. Specificaties van de gebruikte microfiltratiemodule.

Module type	Millipore-33
Diameter membraan (m)	0.058
Aantal membranen/module	20
Module lengte (m)	0.84
Oppervlakte/module (m^2)	3.08

De processspecificaties staan in tabel 5.3.

Tabel 5.3. Processspecificaties.

Aantal modules in serie	21
Aantal modules parallel	21,20,19,...,1
Totaal aantal modules	232
Totaal membraanoppervlak (m^2)	714.56
Voedingsstroom ($m^3 \text{ hr}^{-1}$)	57
Permeaatstroom ($m^3 \text{ hr}^{-1}$)	41
Retentaat ($m^3 \text{ hr}^{-1}$)	16
Gemiddelde flux ($l \text{ m}^{-2} \text{ hr}^{-1}$)	57.38
Drukval/module ($N \text{ m}^{-2}$) $\cancel{< 10^5 N/m^2 = 1 bar}$	0.772

In Bijlage II staan diverse gevoeligheidsanalyses. Hieruit blijkt dat de permeaatflow erg gevoelig is voor de deeltjesdiameter. Variaties in de deeltjesconcentratie en feedflow hebben ook een aanzienlijke invloed.

6. ELEKTRODIALYSE (M5)

Het doel van het gebruik van elektrodialyse tijdens de fermentatie, is de selectieve verwijdering van lactaat uit de fermentatievloeistof. De productinhibitie wordt dan sterk verminderd zodat de bacterie blijft produceren en groeien.

Elektrodialyse is een membraanscheidingsmethode waarbij de drijvende kracht veroorzaakt wordt door een concentratiegradiënt versterkt met een elektrisch veld. Op deze manier kunnen ionen uit een oplossing afgescheiden worden. De toegepaste membranen kunnen verdeeld worden in cationwisselende en anionwisselende membranen (Strathmann, 1992). De cationwisselende membranen bestaan uit gefixeerde negatief geladen groepen en mobiele positief geladen ionen. Wanneer er een elektrisch veld wordt aangelegd zullen de mobiele positieve ionen wegmigreren in de richting van de negatieve elektrode, waardoor het membraan geladen wordt en dus toegankelijk voor de positieve ionen aan de andere kant van het membraan. Het membraan is dus cationselectief.

Hetzelfde geldt voor anionwisselende membranen, maar nu is de positieve lading gefixeerd en de negatieve lading mobiel.

Het elektrodialyse apparaat is verdeeld in cellen. Een cel is een zichzelf repeterende eenheid. Een voorbeeld hiervan is weergegeven in figuur 6.1. Hierin wordt de feed oplossing gescheiden in 2 stromen; een geconcentreerde stroom en een verdunde stroom. Een cel bestaat in dit geval uit 2 compartimenten en 2 membranen.

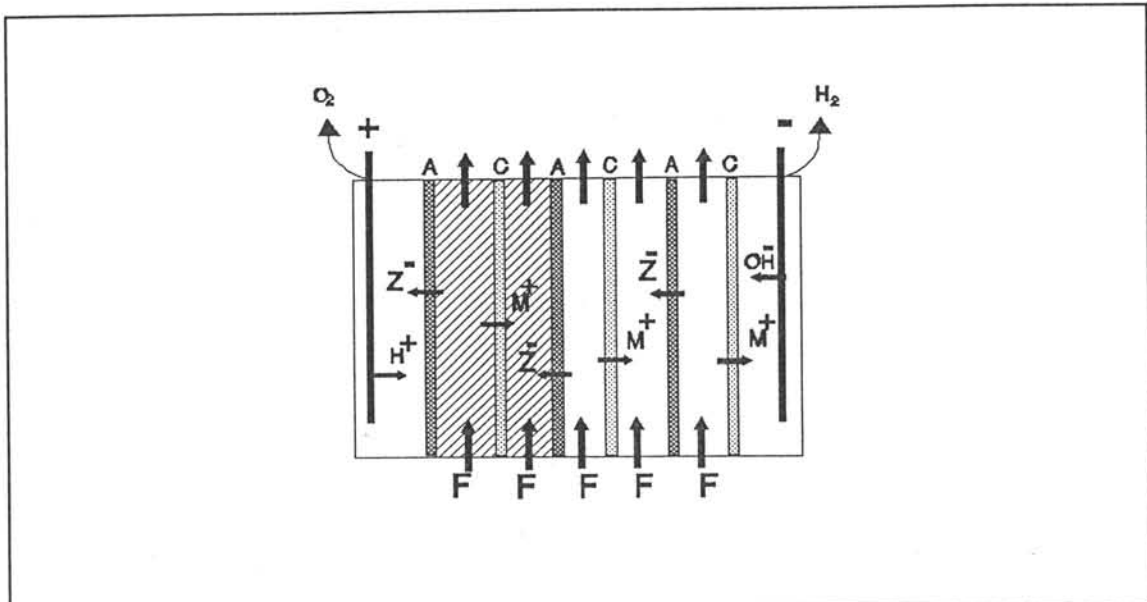


Fig 6.1. Schema van een elektrodialyseapparaat, het gearceerde deel geeft een cel aan.

In dit voorbeeld wordt elektrodialyse gebruikt om een oplossing te concentreren. Het is echter ook mogelijk om een zoutoplossing te splitsen in zijn zuur en base. Dit houdt in dat de negatieve ionen terecht moeten komen in een compartiment waar alleen H^+ aanwezig is en dat de positieve ionen terecht moeten komen in een compartiment met als tegenion OH^- . Deze ionen worden verkregen door watersplitsing in een compartiment tussen de zuur- en basevorming in. Aangezien water een zeer hoge weerstand heeft (de concentraties OH^- en H^+ zijn immers maar $10^{-7} M$), wordt het compartiment zo klein mogelijk gemaakt ($< 5 nm$), zodat de twee membranen één membraan vormen, een bipolair membraan (fig. 6.2).

Het water kan vrij door de twee membranen diffunderen, de H^+ -ionen gaan alleen door het negatieve deel en de OH^- -ionen alleen door het positief geladen deel.

De manier waarop de watersplitsing precies plaats vindt is nog niet bekend. De hypothese is dat er een reversibele protonuitwisseling optreedt tussen de geladen groepen van de membranen en de watermoleculen aan het oppervlak. Voor het starten van de watersplitsing is een extra stroom van $10 A m^{-2}$ nodig.

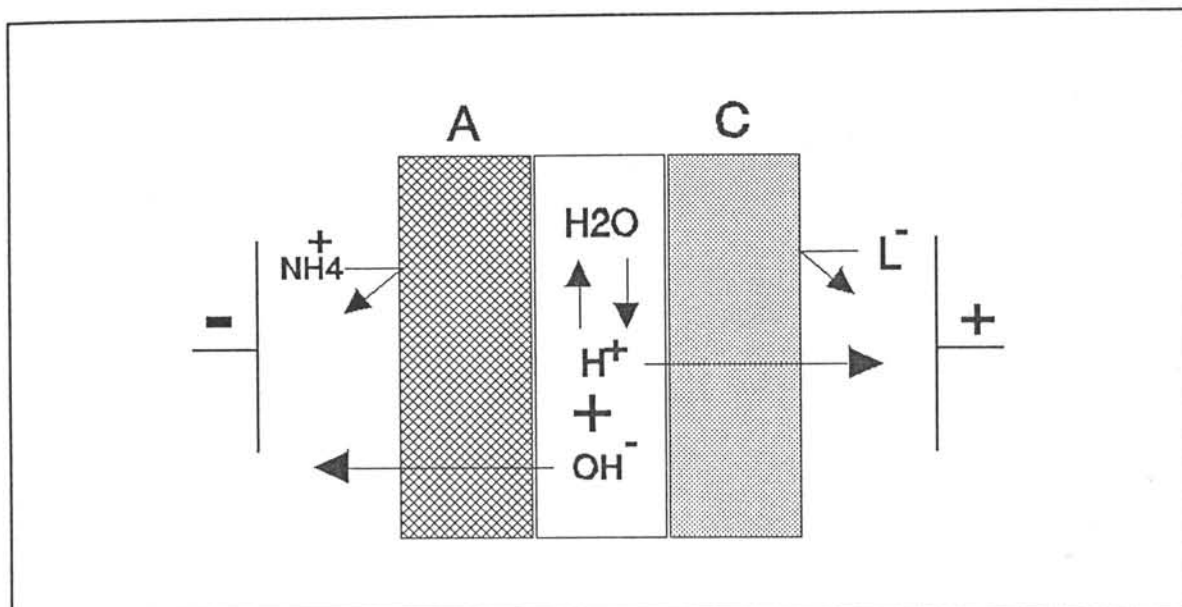


Fig 6.2 Splitsing van een zout in zijn zuur en base met behulp van een bipolair membraan

Het transport van ionen vindt in drie stadia plaats:

1. transport vanuit de feed naar het membraanoppervlak
2. transport in het membraan
3. transport vanuit het membraan naar de permeaatoplossing

Doordat in het membraan het ion alleen verantwoordelijk is voor de stroom zal dit transport vele malen sneller plaatsvinden dan 1 en 2. In figuur 6.3 zijn de bovenstaande transportvormen weergegeven.

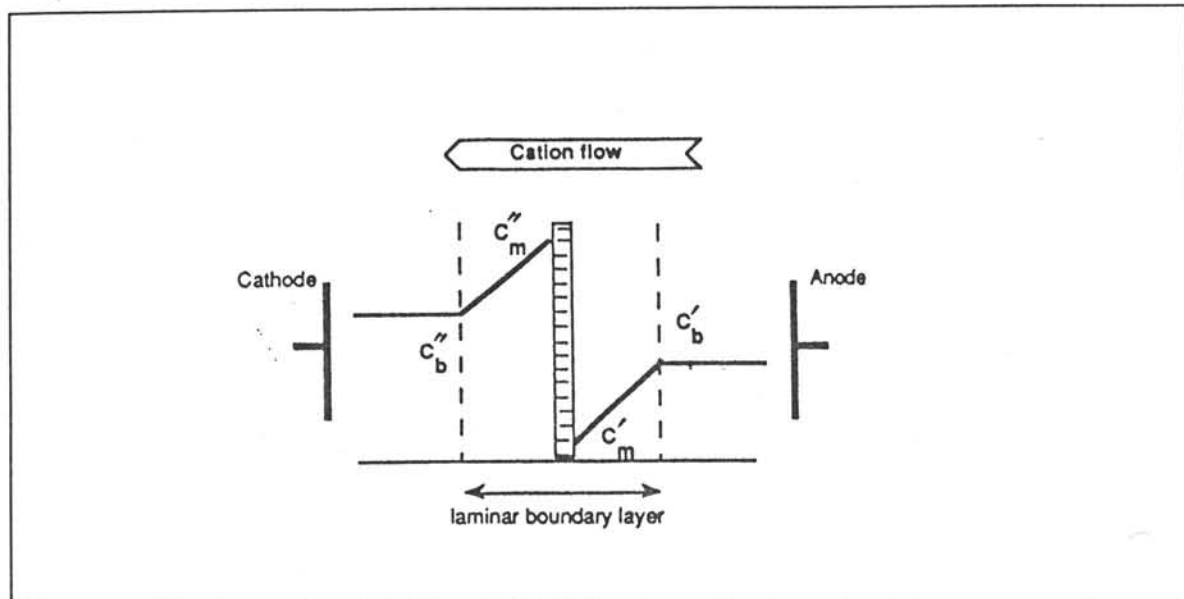


Fig 6.3 Schematische weergave van de heersende concentratiegradiënten over het membraan.

Met:

C_b' = Concentratie ion in de bulk [mol m⁻³]

C_m' = Concentratie ion aan het membraanoppervlak aan de zijde van de feedoplossing [kg m⁻³]

C_m'' = concentratie ion in het membraan aan de geconcentreerde kant [mol m⁻³]

C_b'' = concentratie ion in de te concentreren oplossing [mol m⁻³].

Op het moment dat het elektisch veld wordt aangelegd zal het transport volledig bepaald worden door transport van het ion uit de bulk van de feedstroom naar het membraan oppervlak. De drijvende kracht aan de andere kant van het membraan is immers veel groter.

Zoals al vermeld is wordt de flux door en naar het membraan toe volledig bepaald door de som van twee drijvende krachten:

1. de concentratiegradiënt:

$$k(C_b' - C_m') \quad [\text{mol m}^{-2} \text{ s}^{-1}] \quad (6.1)$$

Waarin:

k = stofoverdrachtscoëfficiënt van het ion [m s^{-1}]

C_b' = Concentratie ion in de bulk [kg m^{-3}]

C_m' = Concentratie ion aan het membraanoppervlak aan de zijde van de feedoplossing [kg m^{-3}]

2. het elektrisch veld:

$$\frac{iz}{tF} \quad [\text{mol m}^{-2} \text{ s}^{-1}] \quad (6.2)$$

Waarin:

i = stroomdichtheid [A m^{-2}]

z = valentie van het ion [-]

t^i = transportgetal van het ion in de feedoplossing [-]

F = getal van Faraday [$9.64 \cdot 10^3 \text{ C mol}^{-1}$]

De flux wordt nu:

$$J = \frac{iz}{tF} - k(C_m' - C_b') \quad [\text{mol m}^{-2} \text{ s}^{-2}] \quad (6.3)$$

Het transportgetal t_i ($0 < t_i < 1$) staat voor de bijdrage van het ion aan de stroom (Atkins, 1990). Dit getal zal in het membraan zeer hoog liggen omdat de tegenionen geïmmobiliseerd zijn en dus geen bijdrage kunnen leveren aan de stroom. In de oplossing wordt het transportgetal wel degelijk beïnvloed door het tegenion.

Het transportgetal is afhankelijk van de mobiliteit, valentie en concentratie van het ion en alle andere ionen aanwezig in de oplossing volgens de relatie:

$$t_i = \frac{m_i z_i^2 C_i}{\sum_i m_i z_i^2 c_i} \quad [-] \quad (6.4)$$

Waarbij:

z_i = valentie van ion i [-]

C_i = concentratie ion i [mol m⁻³]

m_i = mobiliteit van ion i gegeven door:

$$\frac{FD_i}{RT} \quad [\text{C s kg}^{-1}] \quad (6.5)$$

D_i = diffusiecoëfficiënt van component i
[m²s⁻¹]

R = gasconstante [8.314 J mol⁻¹ K⁻¹]

T = temperatuur [K]

De aangelegde stroomdichtheid wordt voornamelijk bepaald door de limiterende stroomdichtheid (Strathmann, 1992). Dit is de maximale stroomdichtheid dat door een membraan mag passeren zonder dat de weerstand sterk toeneemt. Het transport van ionen uit de feed oplossing heeft een verlaging van de concentratie van die ionen tot gevolg. Vooral in de grenslaag aan de rand van het membraan grensend aan de feedoplossing. Dit betekent dat er een sterke verhoging van de weerstand van die oplossing zal optreden grenzend aan het membraanoppervlak, en dus een sterke verhoging van het energieverbruik (zie later).

Om dit te voorkomen mag de stroomdichtheid niet hoger worden dan een bepaalde waarde de limiterende stroomdichtheid. De limiterende stroomdichtheid is die stroomdichtheid bij welke de ionenconcentratie aan het membraanoppervlak in de cellen met de te verdunnen oplossing, gelijk aan nul wordt. Deze stroomdichtheid wordt beschreven door:

$$i_{\text{lim}} = \frac{C_b' k z F}{t - t'} \quad [\text{A m}^{-2}] \quad (6.6)$$

De aangelegde stroomdichtheid mag niet meer dan 80% van de limiterende stroomdichtheid bedragen.

De energie die nodig is in het elektrodialyseproces is de som van de volgende twee termen:

1. De elektrische energie nodig om de ionen van een oplossing door het membraan naar het andere compartiment te transporteren.
2. De energie die nodig is om de oplossingen door het elektrodialyse apparaat te pompen

Afhankelijk van voornamelijk de concentratie in de feedoplossing zal een van deze twee termen domineren en dus de overall energiekosten bepalen.

De eerste energiterm is nodig om de ohmse weerstand van de cel te overwinnen. Deze ohmse weerstand wordt veroorzaakt door de frictie van verschillende ionen met het membraan en met het water tijdens het transport van de ene oplossing naar de andere. Dit resulteert in een irreversibele energiedissipatie in de vorm van warmte. De echte energiebehoefte zal dan ook veel groter zijn dan de energie die nodig is voor de concentratie van een oplossing.

Deze energie behoeft wordt gegeven door:

$$E_{\text{prac}} = I^2 n R_c t \quad [\text{W}] \quad (6.7)$$

Hierin is:

E_{prac} = energieconsumptie [W]

I = totale elektrische stroom [A]

n = aantal cellen [-]

R_c = totale weerstand van een cel [Ω]

t = tijd [s]

De weerstand van de cel R_c bestaat uit de som van de weerstanden van de membranen en die van de oplossingen. De eerste wordt bepaald door het soort membraan en deze waarde wordt geleverd door de fabricant en heeft een grootte van enkele $\Omega \text{ cm}^{-2}$. De weerstand van een elektrolytoplossing wordt gegeven door de volgende formule:

$$R = \frac{1}{\kappa} \cdot \frac{d}{A} \quad [\Omega] \quad (6.8)$$

Waarin:

A = membraanoppervlak [m^2]

d = de afstand tussen twee membranen [m]

κ = geleidbaarheid van de elektrolytoplossing gegeven voor een symmetrisch sterk elektrolyt door:

$$\kappa = C(z_+ m_+ + z_- m_-)F \quad [\Omega^{-1} \text{ m}^{-1}] \quad (6.9)$$

De weerstand van de oplossing is omgekeerd evenredig met de concentratie ionen. Tijdens het elektrodialyse proces zal de concentratie in de feed afnemen en de weerstand toenemen.

Het is dus energetisch zeer onvoordelig om een compartiment alleen met zuiver water te vullen.

De weerstand van een cel R_c wordt nu gegeven door;

$$R_c = 2R + 2R_m \quad [\Omega] \quad (6.10)$$

Met:

R_m = weerstand van het membraan [Ω]

De totaal gebruikte stroom kan direct afgeleid worden uit de hoeveelheid die verwijderd moet worden uit de voeding:

$$I = \frac{iA}{\xi} \quad [A] \quad (6.11)$$

i = stroomdichtheid [$A\ m^{-2}$]

ξ = stroom gebruik [-]

ξ bepaalt het gedeelte van de totale stroom dat werkelijk gebruikt wordt voor het transport van ionen. Deze factor wordt onder andere beïnvloed door de membraan-selectiviteit en het osmotisch en iongebonden watertransport.

Bij de scheiding van lactaat met elektrodialyse worden drie stappen tegelijk uitgevoerd:

1. Verwijdering van lactaat uit de fermentatievloeistof
2. Zuivering van lactaat van alle positief geladen ionen behalve H^+ , zodat melkzuur gevormd wordt
3. Concentratie van de verkregen melkzuur oplossing

Het inbouwen van deze drie processen in het elektrodialyse apparaat heeft tot gevolg dat elke cel uit drie compartimenten bestaat (fig. 6.4):

1. In dit compartiment komt de voeding binnen, door het aangelegde potentiaalverschil wordt hieruit het ammoniumlactaat verwijderd.
2. In dit compartiment wordt melkzuur gevormd en geconcentreerd door een recirculatieloop. De positieve ionen worden geleverd door een bopolair membraan d.m.v. waterelektrolyse. Behalve lactaat zijn ook de andere negatief geladen ionen uit de fermentatievloeistof aanwezig (mierenzuur, azijnzuur, fosfaat, sulfaat, barnsteenzuur).
3. In het derde compartiment wordt de ammoniak teruggevormd en gerecirkuleerd naar het opslagvat van ammoniak.

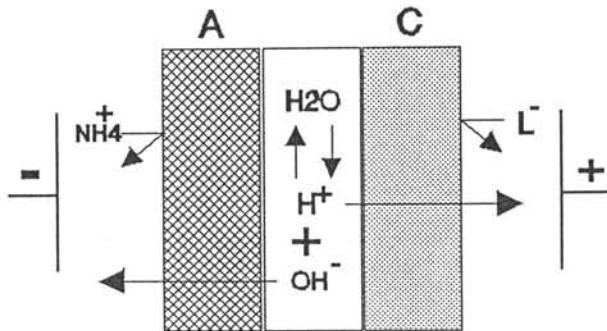


Fig 6.4 Schematische weergave van een elektrodialysecel

Over de verschillende compartimenten kunnen de volgende massabalansen worden afgeleid, uitgaande van propstroom.

Voor de te verdunnen oplossing geldt;

$$\frac{dC'_b}{dx} = -\frac{J}{Q} b \quad RVW: \quad x=0 \quad C'_b = C'_{bo} \quad (6.12)$$

met:

b = breedte van het membraan [m]

$$J = \frac{iz}{tF} - k(C'_m - C'_b) \quad [\text{mol m}^{-2} \text{ s}^{-1}] \quad (6.13)$$

Voor de te concentreren oplossing geldt:

$$\frac{dC''_b}{dx} = \frac{J}{Q} b \quad x=0 \quad C''_b = 0 \quad (6.14)$$

De stofoverdrachtscoëfficiënt wordt bepaald met de empirische relatie voor laminaire stroming:

Hierbij volgt de stofoverdrachtscoëfficiënt uit het getal van Sherwood.

[-] (6.15)

$$Sh = 0.332 Re^{0.5} Sc^{0.33}$$

De uiteindelijke concentratie volgt door integreren van de bovenstaande vergelijkingen over de membraan lengte.

Het bijbehorende simulatiemodel staat in bijlage III

De gegevens van het elektrodialyse apparaat staan in de onderstaande tabel:

Tabel 6.1 Gegevens over het elektrodialyse apparaat.

	Cationselec-tief membraan	Anionselec-tief membraan	Bipolar mem- braan ¹
Materiaal	styreen	butadiëen	
Ionen uitwisselingscapaciteit (eq/kg)	2.4	1.9	
Dikte 10^{-3} m	0.15	0.14	
Gelwater (%) gewicht)	25	19	
Oppervlakte weerstand 10^4 $(\Omega \text{ m}^{-2})$	2.9	2-4.5	
Permselectiviteit (%)	95	92	

¹ Hiervan zijn geen gegevens bekend.

Tabel 6.2 Gegevens over ammoniumlactaat

	Lactaat	Ammonia
$D_i \text{ [m}^2 \text{ s}^{-1}\text{]}$	$1.08 \cdot 10^{-9}$	$4.94 \cdot 10^{-9}$
$m_i \text{ [C s kg}^{-1}\text{]}$	$4.00 \cdot 10^{-8}$	$4.94 \cdot 10^{-8}$
$t_{mi} \text{ [-]}$	0.90	0.90
$t_i \text{ [-]}$	0.33	0.67

In de onderstaande tabel staan de verschillende procesgegevens:

Tabel 6.3 Procesgegevens

Feed	flow ($\text{m}^3 \text{ hr}^{-1}$)	41
	lactaatconcentratie (kg m^{-3})	40
Productstroom	flow ($\text{m}^3 \text{ hr}^{-1}$)	11.2
	lactaatconcentratie (kg m^{-3})	127.5
Ammoniakstroom	flow ($\text{m}^3 \text{ hr}^{-1}$)	10
	ammoniakconcen- tratie (kg m^{-3})	28.9
Aantal cellen/module	200	
Aantal modules	10	
Stroom ¹ I [A]	98	
Energieverbruik/ module E _{prac} [kWh]	1.54 10^4	
Geleidbaarheid ² κ [$\Omega^{-1} \text{ m}^{-1}$]	0.724	
Celweerstand ³ R _c [Ω]	1.2 10^5	
Aantal pompen/module	3	
Membraanoppervlak A [m^2]	1	

Afstand tussen 2 membranen d [m]	$1 \cdot 10^{-3}$	
Geproduceerde warmte/module = $0.24 * E_{\text{prac}}$ [kWh]	$6.42 \cdot 10^3$	
Lengte membraan l [m]	1	

De stroom is berekend met een $\xi = 0.9$

² κ is berekend met de gemiddelde concentratie ammoniumlactaat in de feedoplossing tijdens de verdunning, $\langle C \rangle = 186.57 \text{ mol m}^{-3}$

³ $R_c = 4R_m + 3R$
 $R_m = 3 \cdot 10^4 \Omega$ (1 bipolair membraan, $2R_m$, 1 anionselectief en 1 cationselectief membraan)
 $R = 1.38 \cdot 10^3 \Omega$

De weerstand van de oplossing is verwaarloosbaar t.o.v. die van het membraan.

Zoals uit de warmteontwikkeling blijkt moet het dialyseapparaat gekoeld worden.

7. ROTARY FILTER (M3)

Om te zorgen dat er geen lactaat verloren gaat wordt de bleed gefiltreerd over een rotaryfilter. Een tekening van een rotaryfilter staat weergegeven in figuur 7.1.

Doordat binninnen een onderdruk heerst wordt aan de buitenkant van de trommel een cake gevormd. De trommel draait rond, zodat de cake achtereenvolgens gevormd, gewassen en gedroogd wordt.

Het filtraat, met het daarin aanwezige melkzuur wordt samen met het permeaat van de microfiltratie naar de elektrodialyse gevoerd.

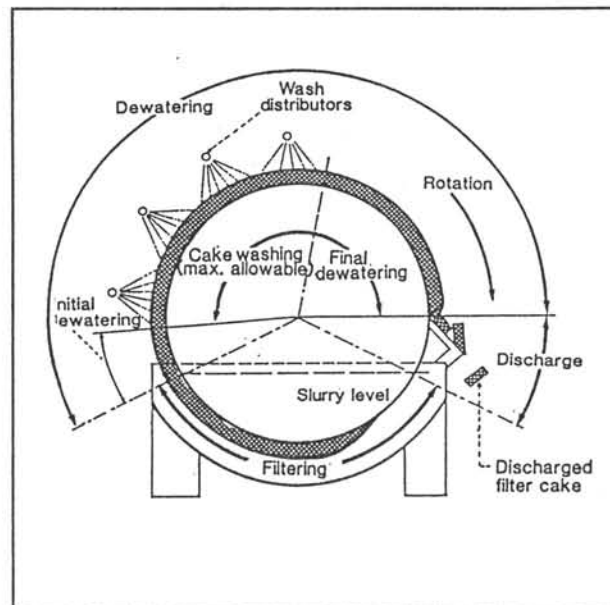


Fig 7.1 Tekening van een rotaryfilter

Voor de berekeningen zijn we er vanuit gegaan dat de cake niet compresseerbaar is. Voor het berekenen van de specifieke cakeweerstand zijn we er vanuit gegaan dat porositeit (ϵ) gelijk is aan die van Escherichia coli ($\epsilon = 0.45$).

De specifieke cakeweerstand is te berekenen met:

$$r = K * \frac{(1-\epsilon)^2}{\epsilon^2} * \left(\frac{4}{d_p} \right)^2 \quad (7.1)$$

Voor staafvormige deeltjes varieert K tussen 3.5 en 5.5 (syllabus bioscheidingen). Als waarde voor K hebben we 4.5 aangenomen. De fractie van de omwentelingscyclus die beschikbaar is voor cakeformatie (f) is 0.3. Het ontwerp-drukverschil hebben we gesteld op 0.9 bar. De benodigde capaciteit is $0.5 \text{ m}^3/\text{h}$.

Het rotaryfilter is met behulp van ASPEN doorgerekend met de volgende resultaten. Zie voor volledige programmatuur bijlage IV.

Convergence Status: Block Completed Normally
 Property Status: OK

Pressure Drop	.9000000	ATM
Filter Diameter	.2909049	METER
Filter Width	.5818098	METER
Average Particle Diameter		
Average Solid Density	1.000000	GM/CC
Total Solids Mass Flow Rate	17.56500	KG/HR
Surface Tension	93.63789	DYNE/CM
Volume Flow of Filtrate	465.4788	L/HR
Mass Fraction of Solids in Cake	.6000000	
Cake Thickness	2.09658E-3	METER
Filtration Resistance	3.9063E+11	METER/KG
Average Porosity	.4500000	
Cake Compressibility	0.0	

Display ALLSTREAMS	BLEED	CAKE	FILTRAAT
Units: From	B1	B1	B1
TFF: *SYSTEM* To	B1		
	Phas LIQUID	LIQUID	LIQUID
Substream: \$TOTAL			
Slurry Flow L/HR	495.0721	29.59333	465.4788
Gas Flow L/HR	0.0	0.0	0.0
Gas Flow KMOL/HR			
WATER	0.0	0.0	0.0
Slurry Conc GM/L			
WATER	938.9945	395.6973	973.5353
CELLS	35.47968	593.5460	0.0
Mass Flow KG/HR			
WATER	464.8700	11.71000	453.1600
CELLS	17.56500	17.56500	0.0
INTR-WAT	13.17375	13.17375	0.0
Total Flow KG/HR	482.4350	29.27500	453.1600
↓Total Enth KCAL/HR	-1.8037E+6	-95108.94	-1.7086E+6
Temperature C	45.00000	45.00000	45.00000
Pressure ATM	1.000000	.1000000	.1000000
Slurry Den GM/CC	.9744742	.9892433	.9735352

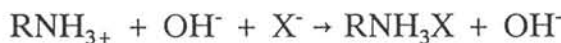
Of een dergelijk klein rotaryfilter te koop is, is ons niet bekend. Zoniet zal een opslagtank tussengevoegd moeten worden, waarna met een grotere flow gefiltreerd kan worden.

8. IONENWISSELAAR (T1 t/m T3)

Een ionenwisselaar is een gepakt bed met als pakking een polymerenmatrix. De pakking bestaat uit geladen gebonden groepen en verwijderbare ionen met een tegengestelde lading. De ionenwisselaars zijn alleen toegankelijk voor geladen groepen van moleculaire groepen.

De reiniging van melkzuur van de negatief geladen ionen wordt uitgevoerd met een zwak basische anionenwisselaar (aminopolystyreen). Er is voor een zwak basische gekozen om de interactie pakking lactaat te minimaliseren.

De reactie die optreedt kan beschreven worden met de onderstaande reactievergelijking:



Bij de ionenwisseling van melkzuur zullen de volgende processen achtereenvolgens optreden:

1. Door de hoge zuurtegraad van de melkzuroplossing ($\text{pH} = 1.41$) zullen de OH^- -ionen vrijwel meteen na passeren van het vloeistoffront uit de matrix oplossen en geneutraliseerd worden. Tegelijkertijd adsorberen de gedissocieerde lactaationen. Deze ionen zijn grote moleculen wat tot gevolg heeft dat de matrix sterk zal opzwollen.
2. De ionenwisselaar is nu verzadigd met lactaat. Vervolgens begint de uitwisseling van lactaat tegen de andere negatief geladen ionen. Bij $\text{pH} = 1.41$ gelden de volgende verhoudingen:

Tabel 8.1 De verhouding gedissocieerd, ongedissocieerd voor de bijproducten en mediumcompononten.

	k_{dis}	gedis/onge dis.	Conc(tot) [mol l ⁻¹]
mierenzuur	$1.77 \cdot 10^{-4}$	$4.5 \cdot 10^{-3}$	$6.4 \cdot 10^{-2}$
azijnzuur	$1.76 \cdot 10^{-5}$	$4.5 \cdot 10^{-4}$	$4.8 \cdot 10^{-2}$
barnsteenzuur	$6.89 \cdot 10^{-5}$	$1.77 \cdot 10^{-3}$	$8.0 \cdot 10^{-3}$
zwavelzuur	$1.54 \cdot 10^{-2}$	0.40	$4 \cdot 10^{-2}$
fosforzuur	$7.52 \cdot 10^{-3}$	0.19	$4 \cdot 10^{-2}$

Zoals uit de bovenstaande tabel blijkt zal de adsorptie van de organische zuren minimaal zijn. Door de grote overmaat melkzuur blijft de pH vrijwel constant. Alleen de eenwaardig geladen sulfaat en fosfaat- ionen zullen verwijderd worden.

- Wanneer de kolom verzadigd is met anorganische ionen wordt de kolom geregenereerd. Dit gebeurt door als eerste de kolom te wassen en vervolgens te regenereren met loog, waarna de kolom nogmaals gewassen wordt.

In de onderstaande tabel staan de specificaties van de ionen wisselaar (Perry, 1984):

Tabel 8.2 De specificaties van de ionenwisselaar.

Soort	Amberlite (aminopolystyreen)
Vorm van de deeltjes	spherisch
Bulk dichtheid (nat) [kg m ⁻³]	0.67
Vochtgehalte [% gewicht]	45
Opzwollen door uitwisseling [%]	8-12
Maximale bedrijfstemperatuur [°C]	100
Toepasbaar pH-regio	1-7
Uitwisselingsvermogen	
Droog [eq kg ⁻¹]	5.5
Nat [eq l ⁻¹]	1.8

In tabel 8.3 worden de diverse procesgegevens weergegeven;

Tabel 8.3 De verschillende procesgegevens.

Flow [m ³ hr ⁻¹]	11.2
Lengte kolom L [m]	5
Dwarsoppervlak kolom [m ²]	1.6
Superficiële snelheid U [m hr ⁻¹]	5.6
Drukval ΔP/L* [Pa m ⁻¹]	7.0 10 ³
Bedrijfsduur [hr]	3.85
Regeneratieduur [hr]	4
Aantal kolommen	3

* De drukval wordt berekend met de formule:

$$\frac{\Delta P}{L} = \frac{S^2(1-\epsilon)^2\mu}{\epsilon^2} U K_1 = K_2 U \quad [\text{Pa/m}] \quad (8.1)$$

Met:

S = shape factor [-]

ε = porositeit van het bed [-]

K₁ = constante = 5

U = superficiële gassnelheid [m s⁻¹]

K₂ = 1.23 10³ Pa h/m²

9. DESTILLATIE (T4)

De laatste stap is de concentratie en verdere zuivering van melkzuur. Deze stap wordt uitgevoerd met een destillatiekolom. Hierbij gaat water met 60% van het mierenzuur en 50% van het azijnzuur over de top. De gegevens en resultaten staan in tabel 9.1 en in bijlage V.

Tabel 9.1 Gegevens destillatiekolom.

Aantal schotels	10
Voedingsschotel	5
Voeding [$m^3 h^{-1}$]	11.2
Bodemproduct [$m^3 h^{-1}$] (80% melkzuur)	1.78
Topproduct [$m^3 h^{-1}$] (0% melkzuur)	9.41
$T_{voeding}$ [K]	318.15
T_{bodem} [K]	392.76
T^{top} [K]	372.85
Reflux ratio	1
Energieverbruik reboiler [W]	$2.046 \cdot 10^7$
Energieverbruik condensor [W]	$9.64 \cdot 10^6$
P_{kolom} [bar]	1

10. STERILIZERS EN POMPEN (H1 t/m H3, P1 t/m P17)

Sterilizers

Terwijl de media worden getransporteerd naar de voorraadvaten V1, V2 en V3 worden ze continu gesteriliseerd (H1, H2, H3).

In een feedstroom zitten gemiddeld zo'n 10^9 bacterien per liter. Steriliseren voor opslag is dus erg belangrijk. De stromen worden verhit tot 125°C en gedurende 2.4 minuten op deze temperatuur gehouden.

De afsterfkinetiek kan als volgt beschreven worden:

$$N = N_0 \cdot \exp^{-k_a \cdot t} \quad (10.1)$$

k_a is de specifieke afsterfsnelheid (h^{-1}). N is het aantal cellen in de toevoer, N_0 is het aantal cellen in de toevoer op $t=0$.

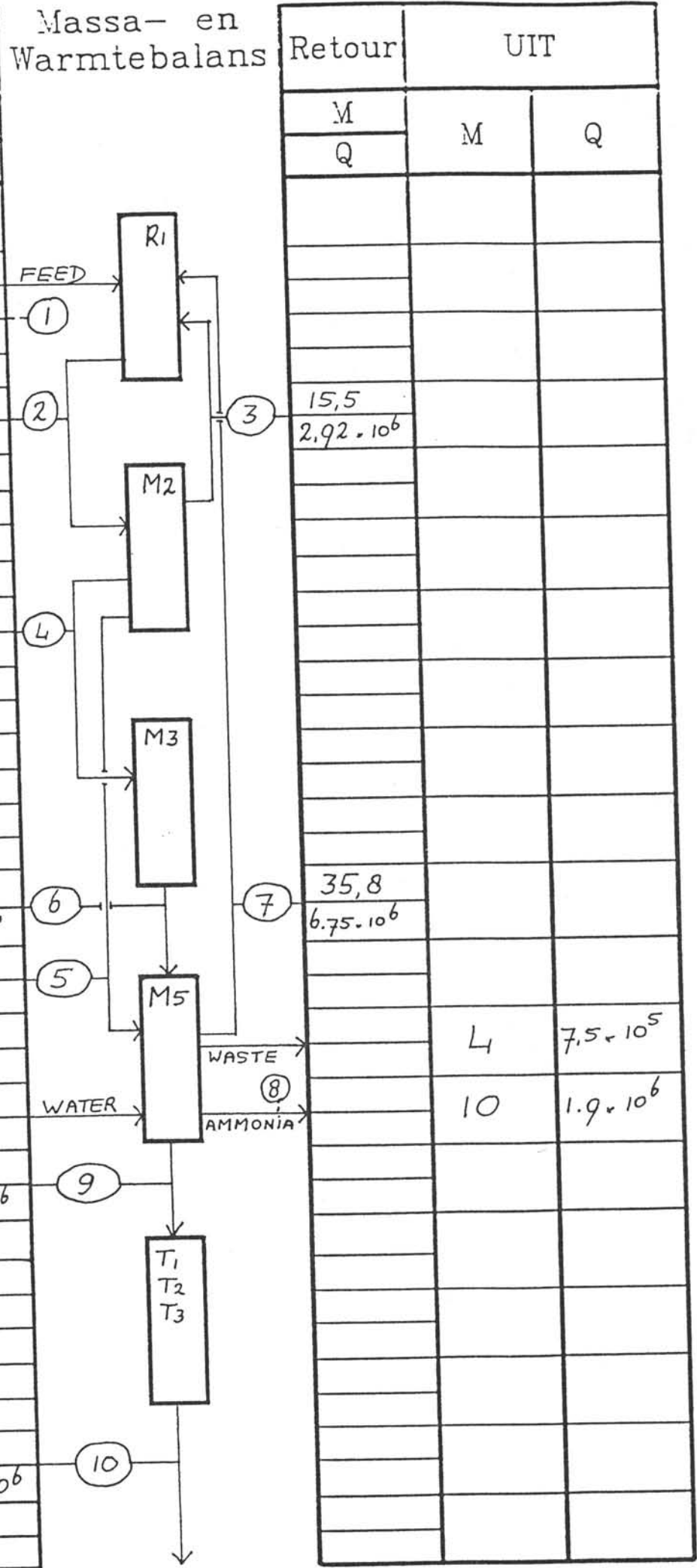
We zijn er vanuit gegaan dat er maximaal 1 bacterie per 10 uur levend door de sterilizer mag komen. Na sterilisatie wordt de stroom afgekoeld tot 30°C. De sterilizer is gemodelleerd in Aspen, zie bijlage VI. Hierin is ook een tabel opgenomen waarin voor verschillende lengtes van de sterilizer de mate van steriliteit staat weergegeven.

Pompen

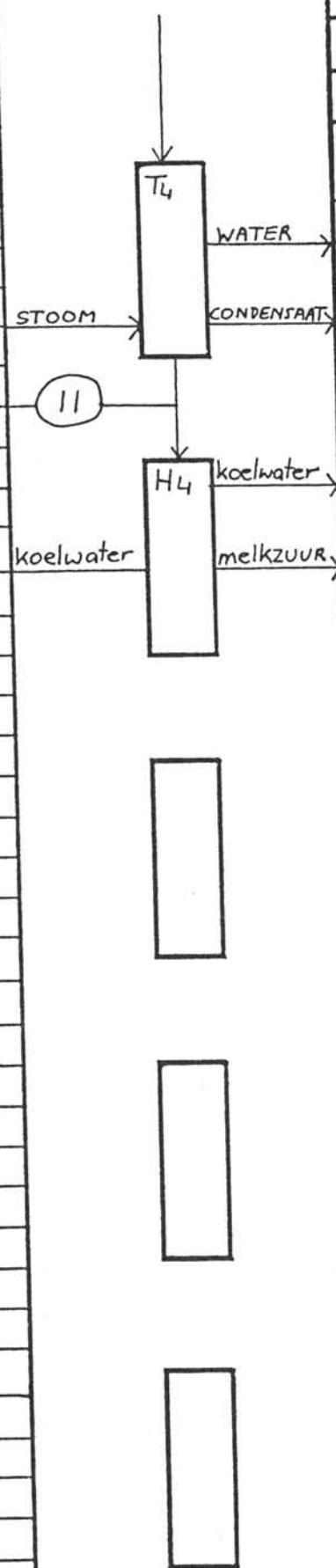
Omdat het niet zo zinvol is om elke pomp precies door te rekenen (de lengte van pijpen is een pure schatting), hebben we één pomp (P8) doorgerekend met behulp van Aspen. De gegevens staan in bijlage VI.

11. MASSA- EN ENERGIEBALANSEN

11.1 Overall massa- en energiebalans



VERVOLG Massa- en Warmtebalans



TOTAAL

11.2 Componentenbalans

Fermentor				
	In			Uit
	Microfil ¹ .	Elektrod. ²	Medium*	
Water [m ³ h ⁻¹]	14.5	35.5	4	54
Biomassa [kg h ⁻¹]	613	-	-	651
Lactaat [kg h ⁻¹]	598	242	-	2294
Ammonium [kg h ⁻¹]	120	48.5	294.5	463
Bijprod. [kg h ⁻¹]	12.8	-	-	48.9
Fosf, sulf [kg h ⁻¹]	1.45	-	4.25	5.7
Glucose [kg h ⁻¹]	-	-	15.5 10 ²	-
Totaal [m ³ h ⁻¹]	15.5	35.8	5.7	57
Enthalpy [kJ h ⁻¹]	2.92 10 ⁶	6.75 10 ⁶	1.07 10 ⁶	10.7 10 ⁶

¹ Retentaat min de bleed van 0.5 m³ h⁻¹.

² De flow uit de elektrodialyse min 4 m³ h⁻¹ bleed.

Microfiltratie			
	In	Retentaat	Permeaat
Water [m ³ h ⁻¹]	54	15	39.0
Biomassa [kg h ⁻¹]	651	651	-
Lactaat [kg h ⁻¹]	2294	617	1677
Ammonium [kg h ⁻¹]	463	124	339
Bijprod. [kg h ⁻¹]	48.9	13.2	35.7
Fosf, sulf [kg h ⁻¹]	5.7	1.5	4.2
Totaal [m ³ h ⁻¹]	57	16	41
Enthalpy [kJ h ⁻¹]	10.7 10 ⁶	3.0 10 ⁶	7.7 10 ⁶

Elektrodialyse						
	In			Uit		
	Microf	Water	Bleed	1	2	3
Water [m ³ h ⁻¹]	39	19.5	0.47	39.47	9.75	9.75
L ⁻ /HL [kg h ⁻¹]	1677	-	20	269	³ 1428	
NH ₄ ⁺ [kg h ⁻¹]	339	-	4	54	-	⁴ 289
Bijpr. [kg h ⁻¹]	35.7	-	0.4	-	35.7	-
P, S [kg h ⁻¹]	4.2	-	0.05	-	4.2	-
Tot. [m ³ h ⁻¹]	41	-	0.5	39.8	11.2	10
Enth. [kJ h ⁻¹]	7.7 10 ⁶	3.7 10 ⁶	9.4 10 ⁴	7.5 10 ⁶	2.1 10 ⁶	1.9 10 ⁶

¹ Deze stroom wordt teruggevoerd naar de fermentor.

² Deze stroom gaat naar de ionenwisselaar.

³ Deze stroom wordt teruggevoerd naar de ammoniak opslagtank.

⁴ Aanwezig in de vorm van melkzuur.

⁵ Aanwezig in de vorm van NH₃ en NH₄OH.

Rotary filter		
	In	Uit
Water [m ³ h ⁻¹]	0.47	0.47
Biomassa [kg h ⁻¹]	548	-
Lactaat [kg h ⁻¹]	20	20
Ammonium [kg h ⁻¹]	4	4
Bijproducten [kg h ⁻¹]	0.4	0.4
Fosf, sulf [kg h ⁻¹]	0.05	0.05
Totaal [m ³ h ⁻¹]	0.5	0.5
Enthalpy [kJ h ⁻¹]	9.4 10 ⁴	9.4 10 ⁴

Ionenwisselaar		
	In	Uit
Water [m ³ h ⁻¹]	9.75	9.75
Melkzuur [kg h ⁻¹]	1428	1420
Bijproducten [kg h ⁻¹]	35.7	35
P,S [kg h ⁻¹]	4.2	-
Totaal [m ³ h ⁻¹]	11.2	11.2
Enthalpy [kJ h ⁻¹]	2.1 10 ⁶	2.1 10 ⁶

Destillatie			
	Voeding	Bodemproduct	Topproduct
Water [m ³ h ⁻¹]	9.75	0.34	9.41
Melkzuur [kg h ⁻¹]	1420	1420	-
Bijproducten [kg h ⁻¹]	35	23.3	11.7
Totaal [m ³]	11.2	1.78	9.42
Enthalpy [kJ h ⁻¹]	2.1 10 ⁶	8.9 10 ⁵	3.9 10 ⁶

Condensor		
	In	Uit
Water [m ³ h ⁻¹]	0.34	0.34
Melkzuur [kg h ⁻³]	1420	1420
Bijproducten [kg h ⁻¹]	23.3	23.3
Totaal [m ³ h ⁻¹]	1.78	1.78
Enthalpy [kJ h ⁻¹]	8.9 10 ⁵	2 10 ⁵

12. SPECIFICATIEFORMULIER DESTILLATIE

Apparaatnummer : T4.	Fabrieksnummer :				
ALGEMENE EIGENSCHAPPEN :					
Functie.....	destillatie / extractie / absorptie /				
Type toren.....	gepakt / schotel / sproeier /				
Type schotel.....	klokje / zeefplaat / waive /				
Aantal schoteis...IO..	theoretisch : 10				
Aantal schotels....	praktisch : 10				
Schotelaafstand / HETS :	.0,5 m	Materiaal schotel : 316 L			
Diameter toren.....	1 m	Hoogte toren : 5 m			
Materiaal toren	316 L				
Verwarming.....	geen / open stoom / reboiler /				
BEDRIJFSKONDITIES :					
	Voeding	Top	Bodem	Reflux/absorptie middel	Extractie middel/...
Temperatuur.... °C	46.15	gg.85	119.8	-	-
Druk..... bar	1	1	1		
Dichtheid..... kg/m ³	1000	1000	1000		
Massastroom..... kg/s	3.11	2.6	0.5		
Samenseteling in mol % resp. gew.%					
water gew%	87.1	gg.89	19		
melkzuur gew%	12.7	0	80		
Byproducten gew%	$2 \cdot 10^{-3}$	$1 \cdot 10^{-3}$	1.3		
ONTWERP :					
Aantal klokjes / zeefgaten /	**:		Type pakking..... :		
Aktief schoteloppervlak..... :	m ²	Materiaal pakking :			
Lengte overlooprand..... :	mm	Afmetingen pakking :			
Diameter valpijp / gat /	mm				
Verdere gegevens op schets vermelden					

13. KOSTEN

Grondstoffen:

Glucose¹: $29.04 \cdot 10^6 \text{ kg j}^{-1} \times f1,- = f29.04 \cdot 10^6,-$

Gistextract : $9.12 \cdot 10^5 \text{ kg j}^{-1} \times f7.5,- = f6.84 \cdot 10^6,-$

¹ Verdere grondstofkosten zijn te verwaarlozen t.o.v. de prijs van glucose en gistextract.

Sterilizatoren (Dace Prijzenboekje, 1992):

$3 \times 145 \text{ m}^2$ warmtewisselaren:

$$3 \times f235000,- = f705000,-$$

Pompen (Dace Prijzenboekje, 1992):

aantal	capaciteit	stuk prijs	elektromoter, stuk prijs	totaal
44	50	f11000,-	f690,-	f514360,-
22	80	f11000,-	f1330,-	f271260,-
8	25	f9500,-	f590,-	f80720,-
4	6.3	f7800,-	f290,-	f32360,- +
				f898700,-

Opslagtanks (Dace Prijzenboekje, 1992):

Ammonia	1800 m ³	floating roof	316L roestvast	f766000,-
Glucose/ nutriënten	2 × 1800 m ³	cone roof	HII staal	f2600000,-
Melkzuur	1800 m ³	cone roof	316L roest- vast	f2600000,- +
			totaal	f5966000,-

Reaktor (Dace Prijzenboekje, 1992):

$$2 \times 40 \text{ m}^3 = 2 \times f370000,- = f740000,-$$

Warmtewisselaar:

$$2 \times 2 \text{ m}^2 = 2 \times f26000,- = f52000,-$$

Microfiltratie (Davis, 1992):

Capital investment:

Membranen:

$$f3780,- \text{ per m}^2 \times 1920 \text{ m}^2 = f7.25 \cdot 10^6,-$$

Hardware:

$$f1 \cdot 10^6,- \text{ per module} \times 624 = f6.24 \cdot 10^8,-$$

$$\text{totaal: } f3.2 \cdot 10^8,-$$

Operating costs:

Electriciteit:

$$f0.13,- \times 920000 \text{ kWh} = f119600,-$$

Membraan:

$$f1017,- \text{ per module} \times 624 = f635608,-$$

$$\text{totaal: } f755208,-$$

Rotaryfilter (Dace Prijzenboekje, 1992):

Filteroppervlak $2 \times 2\text{m}^2$: f380,-

Elektrodialyse:

Installatiekosten:  f1.22 10^7 ,

Operatiekosten:

Elektrische stroom²:

$$f0.13/\text{kWh} \times 3.08 \cdot 10^5 \times 8000 = f3.2 \cdot 10^8,-$$

²Verdere energiekosten zijn te verwaarlozen t.o.v. de elektriciteitskosten.

Ionenwisselaar:

6 kolommen van 10 m^3 316L (Dace Prijzenboekje, 1992):

$$6 \times f160000,- = f960000,-$$

Packing :

$$\text{Aminopolystyreen: } 30 \text{ m}^3 \times f300,- = f9000,-$$

Destillatiekolom (Dace Prijzenboekje, 1992):

2 kolommen van lengte 5m en 1m diameter:

$$2 \times f130000,- = f260000,-$$

20 zeefplaten van 1m diameter 316L:

$$20 \times f1288,- = f25761,-$$

6 warmtewisselaren:

4 condensoren

2 heaters.

$$6 \times f47000,- = f2820000,-$$

Arbeidskosten (Collegedictaat De chemische fabriek dl. 2, 1991):

Wesselrelatie

$$\frac{\text{manuren}}{\text{ton product}} = K * \frac{\text{aantal stappen}}{(\text{capaciteit/dag})^{0.76}}$$

Met:

$$K = 1 \text{ in 1993}$$

$$\text{aantal stappen} = 5$$

$$\text{capaciteit/dag} = 60 \text{ ton/dag}$$

$$\rightarrow \text{manuren/ton produkt} = 0.22$$

Het aantal functieplaatsen voor een continu proces is:

$$\cancel{\text{functieplaatsen} = 5 * \frac{(\text{capaciteit/dag})}{24} * (\text{manuren/ton product})}$$

$$\text{functieplaatsen} = 2.74$$

Aantal werknemers:

$$\text{aantal werknemers} = \text{aantal functieplaatsen} * 5.4$$

Totale kosten:

$$\text{aantal functieplaatsen} * f350000,- = f973980,-$$

Investeringskosten:

Sterilizer: f 70500,-

Pompen: f 898700,-

Opslagtanks: f 5966000,-

Reactor: f 792000,-

Rotary filter: f 380,-

Microfiltratie: f 32000000,-

Elektrodialyse: f 12200000,-

Ionenwisselaar: f 969000,-

Destillatie: f 3105700,-

Totaal: f 344002000,-

Lopende kosten:

Grondstoffen: f 35880000,-

Microfiltratie: f 635608,-

Energiekosten: f 32000000,-

Arbeidskosten: f 973980,-

Totaal: f 356515608,-

Wanneer in 10 jaar alles wordt afbetaald zijn de kosten per jaar: f356515608,- +
f34400200,- = f 3.909 10⁸,

Opbrengst per jaar :f 80 10⁶,

Verlies per jaar: f 310 10⁶,

Aangezien er verlies wordt geleden is het niet relevant om de rentabiliteit en return of investment te berekenen.

14. SYMBOLENLIJST

$A_{m\text{tot}}$	= totaal membraanoppervlak [m^2]
A	= oppervlakte reactorwand [m^2]
A_m	= membraanoppervlak [m^2]
b	= breedte van het membraan [m]
BL	= bleedflow na microfiltratie [m^3/hr]
BR	= outflow fermentor [m^3/h]
c_{pb}	= specifieke warmtecapaciteit [$\text{kJ kg}^{-1} \text{K}^{-1}$]
C_i	= concentratie ion i [mol m^{-3}]
C_b'	= Concentratie ion in de bulk [mol m^{-3}]
C_b''	= concentratie ion in de te concentreren oplossing [mol m^{-3}]
C_m'	= Concentratie ion aan het membraanoppervlak aan de zijde van de feedoplossing [kg m^{-3}]
C_m''	= concentratie ion in het membraan aan de geconcentreerde kant [mol m^{-3}]
d	= de afstand tussen twee membranen [m]
d_s	= dikte buis [m]
d_h	= hydraulische diameter [m]
d_w	= dikte wand [m]
D	= diameter roerder [m]
D_d	= diffusiecoëfficiënt van de deeltjes [$\text{m}^2 \text{s}^{-1}$]
D_i	= diffusiecoëfficiënt van component i [$\text{m}^2 \text{s}^{-1}$]
E_{prac}	= energieconsumptie [W]
f	= Fanning frictie factor [-]
F	= feed [m^3/h]
F_a	= getal van Faraday [$9.64 \cdot 10^3 \text{ C mol}^{-1}$]
h_b	= warmteoverdrachtscoëfficiënt broth [$\text{W m}^{-2} \text{K}^{-1}$]
h_T	= totale warmteoverdrachtscoëfficiënt [$\text{W m}^{-2} \text{K}^{-1}$]
h_{lucht}	= warmteoverdrachtscoëfficiënt lucht [$\text{W m}^{-2} \text{K}^{-1}$]

h_{hw}	= warmteoverdrachtscoëfficiënt heet water [$\text{W m}^{-2} \text{K}^{-1}$]
h_{tw}	= totale warmteoverdrachtscoëfficiënt [$\text{W m}^{-2} \text{K}^{-1}$]
H_s	= hoogte van de roerder [m]
H	= hoogte vat [m]
H_w	= koelend vermogen van de wand [W]
i	= stroomdichtheid [A m^{-2}]
I	= totale elektrische stroom [A]
J	= permeaatflux [m s^{-1}]
$\langle J \rangle$	= gemiddelde permeaatflux [m s^{-1}]
k	= stofoverdrachtscoëfficiënt van het ion [m s^{-1}]
k_a	= specifieke afsterfsnelheid [h^{-1}]
k_d	= stofoverdrachtscoëfficiënt deeltjes [m s^{-1}]
KD	= specifieke afsterfsnelheid [h^{-1}]
l	= lengte van de buis [m]
N	= aantal cellen [-]
N_0	= aantal cellen op tijdstip 0 [-]
N_p	= powernumber [-]
m_i	= mobiliteit van ion i [$\text{m}^2 \text{V}^{-1} \text{s}^{-1}$]
M_s	= maintenancecoefficient
n	= aantal cellen [-]
N	= toerental [s^{-1}]
$\langle Nu \rangle$	= overall Nusseltgetal [-]
P_s	= vermogen roerder [W]
P_0	= conc. melkzuur in fermentor op $t=0$ [kg m^{-3}]
P_1	= conc. melkzuur in fermentor [kg/m^3]
P_2	= conc. melkzuur in microfiltratie [kg/m^3]
PER	= permeaatflow microfiltratie [m^3/h]
P_m	= conc. melkzuur waarbij $\mu = 0$ [kg/m^3]
Pr	= Getal van Prandl [-]
Q_i	= feed [$\text{m}^3 \text{s}^{-1}$]
Q_u	= retentaat [$\text{m}^3 \text{s}^{-1}$]
r	= deeltjesstraal [m]

R	= gasconstante [8.314 J mol ⁻¹ K ⁻¹]
R ₁	= recycleflow van microfiltratie [m ³ /h]
R ₂	= recycleflow van elektrodialyse [m ³ /h]
R _c	= totale weerstand van een cel [Ω]
Re	= getal van Reynolds [-]
R _m	= weerstand van het membraan [Ω]
S ₀	= conc. glucose in de feedstroom [kg/m ³]
S ₁	= conc. glucose in fermentor [kg/m ³]
S ₂	= conc. glucose in microfiltratie [kg/m ³]
S _m	= conc. glucose waarbij $\mu = 0$ [kg/m ³]
Sh	= getal van Sherwood [-]
Sc	= getal van Schmidt [-]
t	= tijd [s]
t _i	= transportgetal van het ion i in de feedoplossing [-]
t _{mi}	= transportgetal van ion i in het membraan [-]
t _m	= mengtijd [s]
T	= temperatuur [K]
T _v	= diameter vat [m]
T _{broth}	= temperatuur broth [K]
T _{uit}	= temperatuur buiten [K]
T _{vi}	= temperatuur ingaande warmtestroom [K]
T _{vo}	= temperatuur uitgaande warmtestroom [K]
u	= gemiddelde snelheid [m s ⁻¹]
V ₁	= volume vat [m ³]
V	= vermogen van de verwarming [W]
V ₂	= volume microfiltratie [m ³]
W	= afvalstroom elektrodialyse [m ³]
X ₀	= conc. biomassa in fermentor op t=0 [kg/m ³]
X ₁	= conc. biomassa in fermentor [kg/m ³]
X ₂	= conc. biomassa in microfiltratie [kg/m ³]
y	= de coördinaat loodrecht op stroomrichting [m]

Y_{sx}	= yield van biomassa op glucose [g/g]
Y_{sp}	= yield van melkzuur op glucose [g/g]
z	= valentie van het ion [-]
z_i	= valentie van ion i [-]
α	= oppervlakte opwarmspiraal [m^2]
δ	= dikte van de grenslaag [m]
ϵ	= cake-porositeit [-]
η_b	= dynamische viscositeit broth [Pa s]
γ	= shearrate [s^{-1}]
ϕ	= volumefractiedeeltjes op plaats y [-]
ϕ_w	= volumefractiedeeltjes aan de membraanwand [-]
ϕ_s	= volumefractiedeeltjes in de bulk [-]
κ	= geleidbaarheid van de elektrolytoplossing [C/Vsm]
λ_b	= warmtegeleidingscoëfficiënt broth [$W m^{-1} K^{-1}$]
λ_{316L}	= warmtegeleidingscoëfficiënt staal 316L [$W m^{-1} K^{-1}$]
λ_{hw}	= warmtegeleidingscoëfficiënt heet water [$W m^{-1} K^{-1}$]
μ	= specifieke groeisnelheid [h^{-1}]
μ_{max}	= maximale specifieke groeisnelheid [h^{-1}]
μ_d	= dynamische viscositeit [Pa s]
ν_b	= kinematische viscositeit broth [$m^2 s^{-1}$]
ρ	= dichtheid medium [$kg m^{-3}$]
Θ	= verblijftijd in het vat [s]
ξ	= stroom gebruik [-]

15. CONCLUSIES EN AANBEVELINGEN

De ontworpen lactaatfabriek is verliesgevend door de hoge energiekosten. Het is daarom aan te raden om een eigen elektriciteitsvoorziening te bouwen.

Zeer recente correspondentie met de Amerikaanse firma AQUATECH, supplier van elektrodialyse apparaten, heeft uitgewezen dat het niet praktisch is om een drie-compartimenten systeem te bouwen. Dit wordt veroorzaakt door de lage geleidbaarheid van lactaat en die van ammoniumhydroxide (Deze ontstaat in het compartiment met ammonium). Aangeraden wordt om een twee-compartimenten systeem te ontwikkelen, met alleen een bipolaire membraan en een anionselectief membraan. Er ontstaat dan melkzuur met ongeveer 10% ammoniumhydroxide. Ammonium is een klein molecuul en diffundeert daarom gemakkelijk door het bipolaire membraan heen (Dit zal zich ook voordoen bij het drie-compartimenten model). Het compartiment met de zouten ammoniumlactaat en ammoniumhydroxide wordt gerecirkuleerd naar de fermentor. De zuivering zal in dit geval uitgebreid moeten worden. Het is nog de vraag of het geheel dan goedkoper wordt .

Een ander belangrijk punt is de zuiverheid van de feed. Kleine hoeveelheden organisch materiaal (micro-organismen, peptiden, nutriënten) kunnen de anionselectieve membranen sterk vervuilen. Dit geldt ook voor lage concentraties multivalente metaalionen.

16. LITERATUUR

Atkins, P.W. (1990) Physical chemistry, Hfst 25;

Oxford University Press

Benninga, H. (1990) A history of lactic acid making.

Kluwer Academic Publishers Dordrecht/Boston/London

Chang R. (1977), Physical Chemistry with applications to biological systems. Macmillan Publishing Co., Inc.

Coulman, G.A., Stieber, R.W. & Gerhardt, P. (1977); Applied and Environmental Microbiology 34, 725-732.

Dace Prijzenboekje (nov 1992) 16e ed. Webci/Wubo

Davis, R.H., Membrane Handbook, Hfst 33, Edited bij Ho, W.S.W. & Sirkar, K.K.;
Van Nostrand Reinhold New York 1992.

Glassner D.A., Michigan Biotechnology Institute (1990), European Patent
Office, PE 0 393 818 A1

Goncalves, L.M.D., Xavier, A.M.R.B., Almeida, J.S. & Carrondo, M.J.T. (1991);
Enzyme and Microb. Techn. 13, 314-319.

Heriban, V., Skara, J., Sturdik, E. & Ilavsky J. (1993); Biotechnology Techniques 7,
63-68.

Hongo, M., Nomura, Y. & Iwahara, M. (1986); Applied and Environmental Microbiology 52, 314-319.

Krijgsman, J. & Wielen van der, L.A.M. (1993) Syllabus bioscheidingen, TU Delft-STM-vakgroep bioprocestechnologie.

Lamprecht, I. & Zotin, A.J. (1978), Thermodynamics of biological processes, Walter de Gruyter-Berlijn-New York.

Luedeking, R. & Piret, E.L. (1959); J. of Biochemical and Microbiological Technology and Engineering 4, 393-412.

Nomura Y., Yamamoto K. & Ishizaki A. (1991); J. of Fermentation and Bioengineering 71, 450-452.

Perry, R.H. & Green, D. (1984), Perry's chemical engineer's handbook, Hfst 16, McGraw-Hill 50th ed.

Raucourt de, A., Girard, D., Prigent, Y. & Boyaval, P. (1989); Appl. Microbiol. Biotechnol. 30, 521-527.

Raucourt de, A., Girard, D., Prigent, Y. & Boyaval, P. (1989); Appl. Microbiol. Biotechnol. 30, 528-534.

Rehmann, D., Heyde, M., Holley, W. & Bauer, W. (1992); Chem. Ing. Tech 64, 286-288.

Riet Van 't, K. & Tramper, J. (1991), Basic Bioreaktor Design, Marcel Dekker Inc. New York.

Shah, P.R., Kovvali, A.S., Khan, G.Y. & Khan, A.A. (1993); The Chemical Engineering Journal 51, 1-6.

Smith, J.M.M. & Stammers, E. (1973) Syllabus Fysische Transportverschijnselen I, VSSD, Delftse Uitgevers Maatschappij B.V.

Stephen, L.M., Michaels, L. & Goel, V., Membrane Handbook, Hfst 35, Edited bij Ho, W.S.W. & Sirkar, K.K.; Van Nostrand Reinhold New York 1992.

Stieber, R.W. & Gerhardt, P. (1981); Biotechnology and Bioengineering 23, 523-534.

Strathmann, H. Membrane Handbook, Hfst 17, Edited bij Ho, W.S.W. & Sirkar, K.K.; Van Nostrand Reinhold New York 1992.

Strathmann, H. Membrane Handbook, Hfst 19, Edited bij Ho, W.S.W. & Sirkar, K.K.; Van Nostrand Reinhold New York 1992.

Tholen, J.P.P., TIM Tholen Ingenieursbureau voor Membraantchnologie: Toepassingen voor membraanelektrolyse.

Timmer, J.M.K. & Kromkamp, J. (1991); Proc. EFB Symp. Physiology of Microorganisms, 1-9.

Wielen van der, L.A.M. & Luyben, K.Ch.A.M. (1992); Proces Technologie, 21-29.

Yao, P. & Toda, K. (1990); J. Gen. Appl. Microbiol. 36, 111-125.

Yeh, P.L., Bajpai, R.K. & Iannotti, E.L. (1991); J. of Fermentation and Bioengineering 71, 75-77.

BIJLAGE I (behorende bij hfst. 4)

28-Apr-1993 19:19 File: A:KINET

* sm

Structure and parameters of present model **

ck	Type	Inputs/Comment	Par1	Par2	Par3
AX	CON		.5000		
	CON		57.00		
	CON		4.0000E-02		
	CON		,1000		
	CON		,4060		
	CON		41.00		
	CON		61.00		
	CON		15.50		
	CON		500.0		
	CON		401.8		
	CON		5.700		
	CON		40.00		
	CON		10.00		
	CON		4.000		
	CON		,9400		
CON		3.0000E-02			
INT	DP1DT		75.00		
INT	DP2DT		,0000		
INT	DS1DT		,0000		
INT	DS2DT		,0000		
INT	DX1DT		20.00		
INT	DX2DT		,0000		
REL	S2,5,7,0				
1DT	VAR	$-(P1 \cdot BR/V1) + P2 \cdot (R1 + 0.15 \cdot (PER - H + BL)/V1) + YSP \cdot X1 \cdot ((MU - KD)/YSX + MS)$			
2DT	VAR	$((P1 \cdot BR)/V2) - P2 \cdot ((PER + R1 + BL)/V2) + YSP \cdot X2 \cdot (MS - (KD/YSX))$			
1DT	VAR	$(S0^F/V1) - (S1 \cdot BR/V1) + (S2 \cdot ((R1 + PER + BL - N)/V1)) - X1 \cdot (MS + (MU - KD)/YSX)$			
2DT	VAR	$(S1 \cdot BR/V2) - (S2 \cdot ((PER + R1 + BL)/V2)) - (X2 \cdot (MS - KD/YSX))$			
1DT	VAR	$(X2 \cdot R1/V1) + X1 \cdot (MU - (BR/V1) - KD)$			
2DT	VAR	$(X1 \cdot BR/V2) + X2 \cdot (-KD - (BL/V2) - (R1/V2))$			
VAR	MUMAX	$((1 - (P1/PR))^2, 1)^((1 - (S1/SM))^{-0.71})$			
VAR	TOT-F				
VAR	YSP	$\cdot (MS + ((MU - KD)/YSX))$			
VAR	TIME				

I* cos -

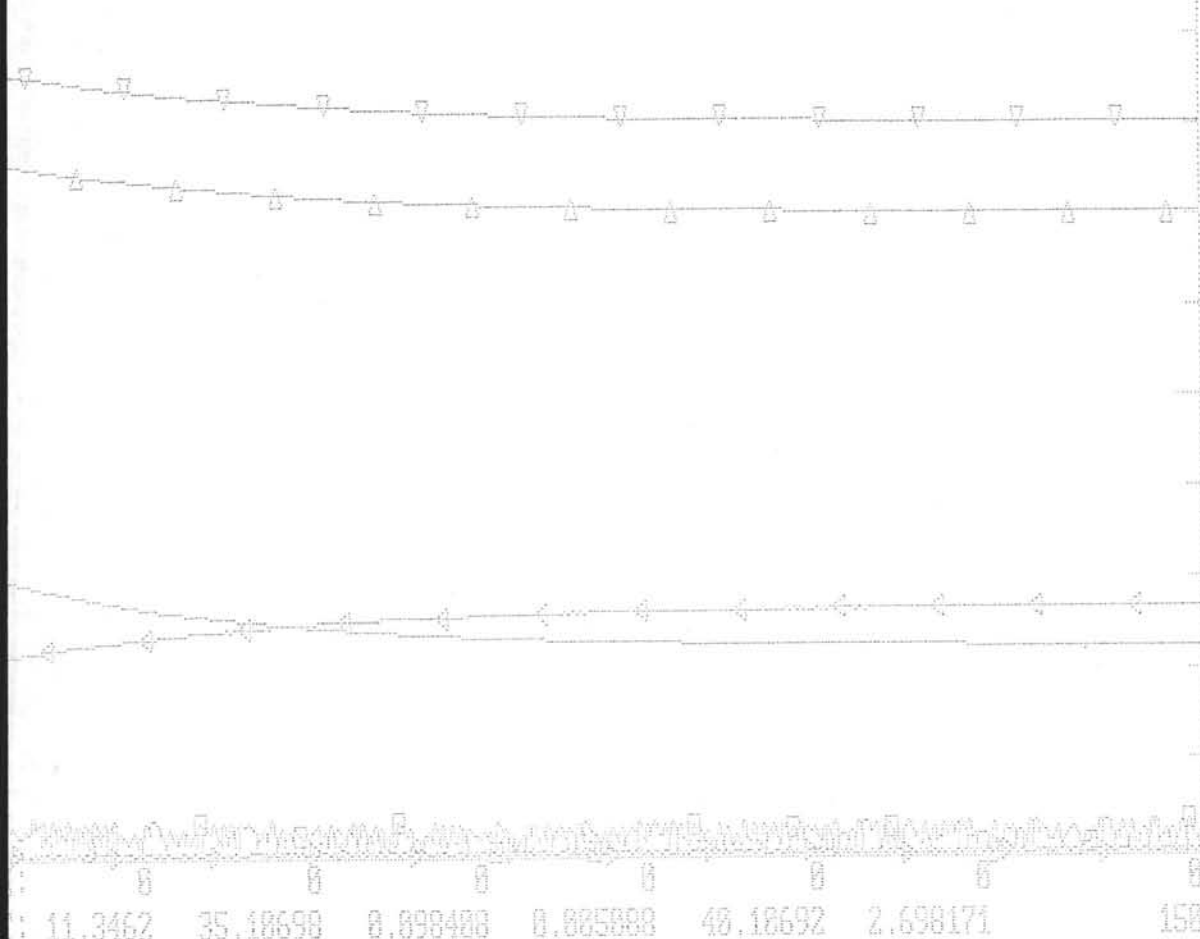
28-Apr-1993

20:28

File: A:KINET2

App#093 20:28 File: A:KINET2

X1 58	P1 58 A	S1 58 □	S2 58 ▶	P2 58 ▽	QP 18 ▲	TIME 158
----------	------------	------------	------------	------------	------------	-------------



: 11.3462 35.48698 8.899488 8.825888 48.16692 2.698171 158

BIJLAGE II (behorende bij hfst.5)

1 ;
2 ;Input file created by ModelManager Rel. 3.2-1 on Mon
Apr 26 11:02 :22 1993
3 ;Directory E:\ Runid MODDEF

7 SUMMARY MM
8
9 IN-UNITS MET VOLUME-FLOW='L/HR' ENTHALPY-FLO='KCAL/HR'
& 10 HEAT-TRANS-C='KCAL/HR-SQM-K' TEMPERATURE=C
DELTAT=C &
11 HEAD=METER FILTER-RESIS='1/CM' HEAT=KCAL
FLUX='L/SQM-HR' &
12 MOLE-CONC='MOL/L'

13
14 DEF-STREAMS CONV-NC ALL
15
16 DATABANKS ASPENPCD / BPS
17
18 PROP-SOURCES ASPENPCD / BPS
19
20 COMPONENTS
21 WATER H2O WATER /
22 CELLS * CELLS
23
24 FLOWSHEET
25 BLOCK B8 IN=RET1 OUT=PER7 RET7
26 BLOCK B9 IN=RET7 OUT=PER8 RET8
27 BLOCK B10 IN=RET8 OUT=PER9 RET9
28 BLOCK B11 IN=RET9 OUT=PER10 RET10
29 BLOCK B12 IN=RET10 OUT=PER11 RET11

30 BLOCK B13 IN=RET11 OUT=PER12 RET12
31 BLOCK B14 IN=RET12 OUT=PER13 RET13
32 BLOCK B15 IN=RET13 OUT=PER14 RET14
33 BLOCK B16 IN=RET14 OUT=PER15 RET15
34 BLOCK B7 IN=PER7 PER8 PER9 PER10 PER11 PER12 PER13
& 35 PER14 PER15 PER1 PER2 PER3 PER4 PER5 PER6
PER17 & 36 PER18 PER19 PER20 PER21 PER22 OUT=PERMEAAT
37 BLOCK B1 IN=RET2 OUT=PER1 RET1
38 BLOCK B2 IN=RET3 OUT=PER2 RET2
39 BLOCK B3 IN=RET4 OUT=PER3 RET3
40 BLOCK B4 IN=RET5 OUT=PER4 RET4
41 BLOCK B5 IN=RET6 OUT=PER5 RET5
42 BLOCK B6 IN=RET17 OUT=PER6 RET6
43 BLOCK B17 IN=RET18 OUT=PER17 RET17
44 BLOCK B18 IN=RET19 OUT=PER18 RET18
45 BLOCK B19 IN=RET20 OUT=PER19 RET19
46 BLOCK B20 IN=RET21 OUT=PER20 RET20
47 BLOCK B21 IN=RET22 OUT=PER21 RET21
48 BLOCK B22 IN=BROTH OUT=PER22 RET22
49
50 PROPERTIES BPSOP0
51
52 NC-COMPS CELLS BIOCOMP
53
54 NC-PROPS CELLS ENTHALPY BIOENTH / DENSITY BIODEN
55
56 STREAM BROTH
57 SUBSTREAM CONV TEMP=45 PRES=1 MASS-FLOW=49432
58 MASS-FLOW WATER 49432

59 SUBSTREAM NONCONV TEMP=45 PRES=1 MASS-FLOW=568
60 MASS-FLOW CELLS 568
61 COMP-ATTR CELLS BIOCOMP (54 5 22 11 8.0 75)
62
63 BLOCK B1 MEMBRANE
64 PARAM PRES=3 P-PERM=1 RECYCLE=0 VISC=1.3
65 GEOMETRY TYPE=CIRCULAR AREA=616 LENGTH=.84 NPARAL-
LEL=200 &
66 NMEM=1
67 PDROP DELP=.8
68 FLUX MODEL=MF-ZYDNEY
69 KEY-COMP CID=CELLS GELC=400 PDIAM=1E-6
70 SOLVENT CID=WATER
71
72 BLOCK B10 MEMBRANE
73 PARAM PRES=3 P-PERM=1 RECYCLE=0 VISC=1.3
74 GEOMETRY TYPE=CIRCULAR AREA=21.56 LENGTH=.84 NPA-
RALLEL=140 &
75 NMEM=1
76 PDROP DELP=.772
77 FLUX MODEL=MF-ZYDNEY
78 KEY-COMP CID=CELLS GELC=400 PDIAM=1E-6
79 SOLVENT CID=WATER
80
81 BLOCK B11 MEMBRANE
82 PARAM PRES=3 P-PERM=1 RECYCLE=0 VISC=1.3
83 GEOMETRY TYPE=CIRCULAR AREA=18.48 LENGTH=.84 NPA-
RALLEL=120 &
84 NMEM=1
85 PDROP DELP=.772
86 FLUX MODEL=MF-ZYDNEY
87 KEY-COMP CID=CELLS GELC=400 PDIAM=1E-6

88 SOLVENT CID=WATER

89

90 BLOCK B12 MEMBRANE

91 PARAM PRES=3 P-PERM=1 RECYCLE=0 VISC=1.3

92 GEOMETRY TYPE=CIRCULAR AREA=15.4 LENGTH=.84 NPA-

RALLEL=100 &

93 NMEM=1

94 PDROP DELP=.772

95 FLUX MODEL=MF-ZYDNEY

96 KEY-COMP CID=CELLS GELC=400 PDIAM=1E-6

97 SOLVENT CID=WATER

98

99 BLOCK B13 MEMBRANE

100 PARAM PRES=3 P-PERM=1 RECYCLE=0 VISC=1.3

101 GEOMETRY TYPE=CIRCULAR AREA=12.32 LENGTH=.84 NPA-

RALLEL=80 &

102 NMEM=1

103 PDROP DELP=.772

104 FLUX MODEL=MF-ZYDNEY

105 KEY-COMP CID=CELLS GELC=400 PDIAM=1E-6

106 SOLVENT CID=WATER

107

108 BLOCK B14 MEMBRANE

109 PARAM PRES=3 P-PERM=1 RECYCLE=0 VISC=1.3

110 GEOMETRY TYPE=CIRCULAR AREA=9.24 LENGTH=.84 NPA-

RALLEL=60 &

111 NMEM=1

112 PDROP DELP=.772

113 FLUX MODEL=MF-ZYDNEY

114 KEY-COMP CID=CELLS GELC=400 PDIAM=1E-6

115 SOLVENT CID=WATER

116

117 BLOCK B15 MEMBRANE

118 PARAM PRES=3 P-PERM=1 RECYCLE=0 VISC=1.3

119 GEOMETRY TYPE=CIRCULAR AREA=6.16 LENGTH=.84 NPA-

RALLEL=40 &

120 NMEM=1

121 PDROP DELP=.772

122 FLUX MODEL=MF-ZYDNEY

123 KEY-COMP CID=CELLS GELC=400 PDIAM=1E-6

124 SOLVENT CID=WATER

125

126 BLOCK B16 MEMBRANE

127 PARAM PRES=3 P-PERM=1 RECYCLE=0 VISC=1.3

128 GEOMETRY TYPE=CIRCULAR AREA=3.08 LENGTH=.84 NPA-

RALLEL=20 &

129 NMEM=1

130 PDROP DELP=.772

131 FLUX MODEL=MF-ZYDNEY

132 KEY-COMP CID=CELLS GELC=400 PDIAM=1E-6

133 SOLVENT CID=WATER

134

135 BLOCK B17 MEMBRANE

136 PARAM PRES=3 P-PERM=1 RECYCLE=0 VISC=1.3

137 GEOMETRY TYPE=CIRCULAR AREA=49.28 LENGTH=.84 NPA-

RALLEL=320 &

138 NMEM=1

139 PDROP DELP=.8

140 FLUX MODEL=MF-ZYDNEY

141 KEY-COMP CID=CELLS GELC=400 PDIAM=1E-6

142 SOLVENT CID=WATER

143

144 BLOCK B18 MEMBRANE

145 PARAM PRES=3 P-PERM=1 RECYCLE=0 VISC=1.3

146 GEOMETRY TYPE=CIRCULAR AREA=52.36 LENGTH=.84 NPA-
RALLEL=340 &
147 NMEM=1

148 PDROP DELP=.8

149 FLUX MODEL=MF-ZYDNEY

150 KEY-COMP CID=CELLS GELC=400 PDIAM=1E-6

151 SOLVENT CID=WATER

152

153 BLOCK B19 MEMBRANE

154 PARAM PRES=3 P-PERM=1 RECYCLE=0 VISC=1.3

155 GEOMETRY TYPE=CIRCULAR AREA=55.44 LENGTH=.84 NPA-
RALLEL=360 &
156 NMEM=1

157 PDROP DELP=.8

158 FLUX MODEL=MF-ZYDNEY

159 KEY-COMP CID=CELLS GELC=400 PDIAM=1E-6

160 SOLVENT CID=WATER

161

162 BLOCK B2 MEMBRANE

163 PARAM PRES=3 P-PERM=1 RECYCLE=0 VISC=1.3

164 GEOMETRY TYPE=CIRCULAR AREA=33.88 LENGTH=.84 NPA-
RALLEL=220 &
165 NMEM=1

166 PDROP DELP=.8

167 FLUX MODEL=MF-ZYDNEY

168 KEY-COMP CID=CELLS GELC=400 PDIAM=1E-6

169 SOLVENT CID=WATER

170

171 BLOCK B20 MEMBRANE

172 PARAM PRES=3 P-PERM=1 RECYCLE=0 VISC=1.3

173 GEOMETRY TYPE=CIRCULAR AREA=58.52 LENGTH=.84 NPA-
RALLEL=380 &
174 NMEM=1

175 PDROP DELP=.8
176 FLUX MODEL=MF-ZYDNEY
177 KEY-COMP CID=CELLS GELC=400 PDIAM=1E-6
178 SOLVENT CID=WATER
179
180 BLOCK B21 MEMBRANE
181 PARAM PRES=3 P-PERM=1 RECYCLE=0 VISC=1.3
182 GEOMETRY TYPE=CIRCULAR AREA=61.6 LENGTH=.84 NPA-
RALLEL=400 &
183 NMEM=1
184 PDROP DELP=.8
185 FLUX MODEL=MF-ZYDNEY
186 KEY-COMP CID=CELLS GELC=400 PDIAM=1E-6
187 SOLVENT CID=WATER
188
189 BLOCK B22 MEMBRANE
190 PARAM PRES=3 P-PERM=1 RECYCLE=0 VISC=1.3
191 GEOMETRY TYPE=CIRCULAR AREA=64.68 LENGTH=.84 NPA-
RALLEL=420 &
192 NMEM=1
193 PDROP DELP=.8
194 FLUX MODEL=MF-ZYDNEY
195 KEY-COMP CID=CELLS GELC=400 PDIAM=1E-6
196 SOLVENT CID=WATER
197
198 BLOCK B3 MEMBRANE
199 PARAM PRES=3 P-PERM=1 RECYCLE=0 VISC=1.3
200 GEOMETRY TYPE=CIRCULAR AREA=36.96 LENGTH=.84 NPA-
RALLEL=240 &
201 NMEM=1
202 PDROP DELP=.8
203 FLUX MODEL=MF-ZYDNEY

204 KEY-COMP CID=CELLS GELC=400 PDIAM=1E-6
205 SOLVENT CID=WATER
206
207 BLOCK B4 MEMBRANE
208 PARAM PRES=3 P-PERM=1 RECYCLE=0 VISC=1.3
209 GEOMETRY TYPE=CIRCULAR AREA=40.04 LENGTH=.84 NPA-
RALLEL=260 &
210 NMEM=1
211 PDROP DELP=.8
212 FLUX MODEL=MF-ZYDNEY
213 KEY-COMP CID=CELLS GELC=400 PDIAM=1E-6
214 SOLVENT CID=WATER
215
216 BLOCK B5 MEMBRANE
217 PARAM PRES=3 P-PERM=1 RECYCLE=0 VISC=1.3
218 GEOMETRY TYPE=CIRCULAR AREA=43.12 LENGTH=.84 NPA-
RALLEL=280 &
219 NMEM=1
220 PDROP DELP=.8
221 FLUX MODEL=MF-ZYDNEY
222 KEY-COMP CID=CELLS GELC=400 PDIAM=1E-6
223 SOLVENT CID=WATER
224
225 BLOCK B6 MEMBRANE
226 PARAM PRES=3 P-PERM=1 RECYCLE=0 VISC=1.3
227 GEOMETRY TYPE=CIRCULAR AREA=46.2 LENGTH=.84 NPA-
RALLEL=300 &
228 NMEM=1
229 PDROP DELP=.8
230 FLUX MODEL=MF-ZYDNEY
231 KEY-COMP CID=CELLS GELC=400 PDIAM=1E-6
232 SOLVENT CID=WATER

233

234 BLOCK B8 MEMBRANE

235 PARAM PRES=3 P-PERM=1 RECYCLE=0 VISC=1.3

236 GEOMETRY TYPE=CIRCULAR AREA=27.72 LENGTH=.84 NPA-

RALLEL=180 &

237 NMEM=1

238 PDROP DELP=.772

239 FLUX MODEL=MF-ZYDNEY

240 KEY-COMP CID=CELLS GELC=400 PDIAM=1E-6

241 SOLVENT CID=WATER

242

243 BLOCK B9 MEMBRANE

244 PARAM PRES=3 P-PERM=1 RECYCLE=0 VISC=1.3

245 GEOMETRY TYPE=CIRCULAR AREA=24.64 LENGTH=.84 NPA-

RALLEL=160 &

246 NMEM=1

247 PDROP DELP=.772

248 FLUX MODEL=MF-ZYDNEY

249 KEY-COMP CID=CELLS GELC=400 PDIAM=1E-6

250 SOLVENT CID=WATER

251

252 BLOCK B7 MIXER

253 PARAM PRES=1 NPHASE=1 PHASE=L

254

255 SENSITIVITY SENSDPAR

256 DEFINE V1 BLOCK-VAR BLOCK=B22 VARIABLE=PDIAM &

257 SENTENCE=KEY-COMP

258 DEFINE V2 MASS-FLOW STREAM=PER22 SUBSTREAM=CONV &

259 COMPONENT=WATER

260 DEFINE V3 MASS-FLOW STREAM=PERMEAAT SUBSTREAM=CONV

&

261 COMPONENT=WATER

262 TABULATE 1 "V2" COL-LABEL="PER22"
263 TABULATE 2 "V3" COL-LABEL="PERMEAAT"
264 VARY BLOCK-VAR BLOCK=B22 VARIABLE=PDIAM SENTEN-
CE=KEY-COMP
265 RANGE LOWER="5E-7" UPPER="1E-5" NPOINT="25"
266
267 SENSITIVITY SENSF
268 DEFINE V1 MASS-FLOW STREAM=BROTH SUBSTREAM=CONV &
269 COMPONENT=WATER
270 & DEFINE V2 MASS-FLOW STREAM=PERMEAAT SUBSTREAM=CONV
271 COMPONENT=WATER
272 TABULATE 1 "V2" COL-LABEL="PERMEAAT"
273 VARY MASS-FLOW STREAM=BROTH SUBSTREAM=CONV COMPO-
NENT=WATER
274 RANGE LOWER="20000" UPPER="100000" NPOINT="25"
275
276 SENSITIVITY SENSX
277 & DEFINE V1 MASS-FLOW STREAM=BROTH SUBSTREAM=NONCONV
278 COMPONENT=CELLS
279 & DEFINE V2 BLOCK-VAR BLOCK=B22 VARIABLE=PERM-FLUX
280 SENTENCE=RESULTS
281 & DEFINE V3 MASS-FLOW STREAM=PERMEAAT SUBSTREAM=CONV
282 COMPONENT=WATER
283 TABULATE 1 "V2" COL-LABEL="FLUX"
284 TABULATE 2 "V3" COL-LABEL="PERMEAAT"
285 VARY MASS-FLOW STREAM=BROTH SUBSTREAM=NONCONV &
286 COMPONENT=CELLS
287 RANGE LOWER="250" UPPER="1250" NPOINT="25"
288 ;
289 ;
290 ;

291 ;

292 ;

*** INPUT TRANSLATOR MESSAGES ***

THIS VERSION OF ASPEN PLUS LICENSED TO TU DELFT

SENSITIVITY BLOCK: SENSDPAR WILL BE INTERPRETED
SENSITIVITY BLOCK: SENSF WILL BE INTERPRETED
SENSITIVITY BLOCK: SENSX WILL BE INTERPRETED

*** FLOWSHEET ANALYSIS MESSAGES ***

FLOWSHEET CONNECTIVITY BY STREAMS

STREAM DEST	SOURCE	DEST	STREAM	SOURCE
BROTH	----	B22	PER7	B8
RET7	B8	B9	PER8	B9
RET8	B9	B10	PER9	B10
RET9	B10	B11	PER10	B11
RET10	B11	B12	PER11	B12
RET11	B12	B13	PER12	B13
RET12	B13	B14	PER13	B14
RET13	B14	B15	PER14	B15
RET14	B15	B16	PER15	B16
RET15	B16	----	PERMEAAT	B7
PER1	B1	B7	RET1	B1
PER2	B2	B7	RET2	B2
PER3	B3	B7	RET3	B3
PER4	B4	B7	RET4	B4
PER5	B5	B7	RET5	B5
PER6	B6	B7	RET6	B6
PER17	B17	B7	RET17	B17
PER18	B18	B7	RET18	B18
B17				
PER19	B19	B7	RET19	B19
B18				

PER20	B20	B7	RET20	B20
B19				
PER21	B21	B7	RET21	B21
B20				
PER22	B22	B7	RET22	B22
B21				

FLOWSHEET CONNECTIVITY BY BLOCKS

BLOCK	INLETS	OUTLETS
B8	RET1	PER7 RET7
B9	RET7	PER8 RET8
B10	RET8	PER9 RET9
B11	RET9	PER10 RET10
B12	RET10	PER11 RET11
B13	RET11	PER12 RET12
B14	RET12	PER13 RET13
B15	RET13	PER14 RET14
B16	RET14	PER15 RET15
B7	PER7 PER8 PER9 PER10 PER11 PER12 PER13 PER14 PER15 PER1 PER2 PER3 PER4 PER5 PER6 PER17 PER18 PER19 PER20 PER21 PER22	PERMEAAT
B1	RET2	PER1 RET1
B2	RET3	PER2 RET2
B3	RET4	PER3 RET3
B4	RET5	PER4 RET4
B5	RET6	PER5 RET5
B6	RET17	PER6 RET6
B17	RET18	PER17 RET17
B18	RET19	PER18 RET18
B19	RET20	PER19 RET19
B20	RET21	PER20 RET20

B21	RET22	PER21 RET21
B22	BROTH	PER22 RET22

TABLE OF CONTENTS

	RUN CONTROL SECTION.....	
1	RUN CONTROL INFORMATION.....	
1	BLOCK STATUS.....	
1		
	FLOWSHEET SECTION.....	
2	FLOWSHEET CONNECTIVITY BY STREAMS.....	
2	FLOWSHEET CONNECTIVITY BY BLOCKS.....	
2		
3	COMPUTATIONAL SEQUENCE.....	
3	OVERALL FLOWSHEET BALANCE.....	
3		
	SENSITIVITY BLOCK SECTION.....	
4	SENSITIVITY BLOCK: SENSDPAR.....	
4	SENSITIVITY BLOCK: SENSF.....	
5	SENSITIVITY BLOCK: SENSX.....	
6		
	PHYSICAL PROPERTIES SECTION.....	
9	COMPONENTS.....	
9		
	U-O-S BLOCK SECTION.....	
10	BLOCK: B1 MODEL: MEMBRANE.....	
10	BLOCK: B10 MODEL: MEMBRANE.....	
11	BLOCK: B11 MODEL: MEMBRANE.....	
13	BLOCK: B12 MODEL: MEMBRANE.....	
14	BLOCK: B13 MODEL: MEMBRANE.....	
16	BLOCK: B14 MODEL: MEMBRANE.....	
17	BLOCK: B15 MODEL: MEMBRANE.....	

19 BLOCK: B16 MODEL: MEMBRANE.....
20 BLOCK: B17 MODEL: MEMBRANE.....
22 BLOCK: B18 MODEL: MEMBRANE.....
23 BLOCK: B19 MODEL: MEMBRANE.....
25 BLOCK: B2 MODEL: MEMBRANE.....
26 BLOCK: B20 MODEL: MEMBRANE.....
28 BLOCK: B21 MODEL: MEMBRANE.....
29 BLOCK: B22 MODEL: MEMBRANE.....
31 BLOCK: B3 MODEL: MEMBRANE.....
32 BLOCK: B4 MODEL: MEMBRANE.....
34 BLOCK: B5 MODEL: MEMBRANE.....
35 BLOCK: B6 MODEL: MEMBRANE.....
37 BLOCK: B7 MODEL: MIXER.....
38 BLOCK: B8 MODEL: MEMBRANE.....
39 BLOCK: B9 MODEL: MEMBRANE.....
40

43 STREAM SECTION.....
43 BROTH PER1 PER10 PER11 PER12.....
43 PER13 PER14 PER15 PER17 PER18.....
45 PER19 PER2 PER20 PER21 PER22.....
46 PER3 PER4 PER5 PER6 PER7.....
47 PER8 PER9 PERMEAAT RET1 RET10.....
48 RET11 RET12 RET13 RET14 RET15.....
50 RET17 RET18 RET19 RET2 RET20.....
52 RET21 RET22 RET3 RET4 RET5.....
54 RET6 RET7 RET8 RET9.....
56

COMPUTATIONAL SEQUENCE

SEQUENCE USED WAS:

SENSX SENSF SENSDPAR B22 B21 B20 B19 B18 B17 B6 B5 B4 B3 B2
B1 B8 B9
B10 B11 B12 B13 B14 B15 B16 B7 SENSDPAR<--- SENSF<---
SENSX<---

OVERALL FLOWSHEET BALANCE

*** MASS AND ENERGY BALANCE ***
IN OUT

RELATIVE DIFF.

CONVENTIONAL COMPONENTS (KMOL/HR)		
WATER	2743.94	2743.94
0.165728E-15		
SUBTOTAL(KMOL/HR)	2743.94	2743.94
0.165728E-15		
(KG/HR)	49432.0	49432.0
0.147191E-15		
NON-CONVENTIONAL COMPONENTS (KG/HR)		
CELLS	568.000	568.000
0.000000E+00		
SUBTOTAL(KG/HR)	568.000	568.000
0.000000E+00		
TOTAL BALANCE		
MASS(KG/HR)	50000.0	50000.0
0.145519E-15		
ENTHALPY(KCAL/HR)	-0.188031E+09	-0.188032E+09
0.673634E-05		

SENSITIVITY BLOCK SECTION

SENSITIVITY BLOCK: SENSDPAR

SAMPLED VARIABLES:

V1 : SENTENCE=KEY-COMP VARIABLE=PDIAM IN UOS BLOCK
B22
V2 : WATER MASSFLOW IN STREAM PER22 SUBSTREAM CONV
V3 : WATER MASSFLOW IN STREAM PERMEAAT SUBSTREAM
CONV

VARIED VARIABLES:

VARY 1: SENTENCE=KEY-COMP VARIABLE=PDIAM IN UOS BLOCK
B22
LOWER LIMIT = 5.0000-07 METER
UPPER LIMIT = 1.0000-05 METER
POINTS = 25

TABULATED VARIABLES:

COLUMN 2: V2
 COLUMN 3: V3

VARY 1	PER22	PERMEAAT
METER	KG/HR	KG/HR
5.0000-07	1183.8531	3.5024+04
8.9583-07	2553.7603	3.5619+04
1.2917-06	4117.1985	3.6289+04
1.6875-06	5812.3446	3.7004+04
2.0833-06	7600.1862	3.7766+04
2.4792-06	9452.2639	3.8539+04
2.8750-06	1.1346+04	3.9293+04
3.2708-06	1.3263+04	4.0037+04
3.6667-06	1.5187+04	4.0762+04
4.0625-06	1.7103+04	4.1466+04
4.4583-06	1.9000+04	4.2159+04
4.8542-06	2.0865+04	4.2799+04
5.2500-06	2.2690+04	4.3401+04
5.6458-06	2.4465+04	4.3963+04
6.0417-06	2.6181+04	4.4483+04

SENSITIVITY BLOCK SECTION

SENSITIVITY BLOCK: SENSDPAR (CONTINUED)

VARY 1	PER22	PERMEAAT
METER	KG/HR	KG/HR
6.4375-06	2.7834+04	4.4960+04
6.8333-06	2.9415+04	4.5395+04
7.2292-06	3.0922+04	4.5794+04
7.6250-06	3.2351+04	4.6150+04
8.0208-06	3.3698+04	4.6466+04
8.4167-06	3.4963+04	4.6745+04
8.8125-06	3.6146+04	4.6991+04
9.2083-06	3.7247+04	4.7207+04
9.6042-06	3.8267+04	4.7395+04
1.0000-05	3.9209+04	4.7558+04

! 1.0000-06 ! 2949.5743 ! 3.5790+04 !

SENSITIVITY BLOCK: SENSF

SAMPLED VARIABLES:

V1 : WATER MASSFLOW IN STREAM BROTH SUBSTREAM CONV
CONV
V2 : WATER MASSFLOW IN STREAM PERMEAAT SUBSTREAM CONV

VARIED VARIABLES:

VARY 1: WATER MASSFLOW IN STREAM BROTH SUBSTREAM CONV

LOWER LIMIT = 2.0000+04 KG/HR
UPPER LIMIT = 1.0000+05 KG/HR
POINTS = 25

TABULATED VARIABLES:

COLUMN 2: V2

SENSITIVITY BLOCK: SENSF (CONTINUED)

! VARY 1 ! PERMEAAT !
! BROTH ! !
! CONV ! !
! WATER MA ! !
! SSFLOW ! !
! KG/HR ! KG/HR !
!
!=====!
! 2.0000+04 ! 1.6400+04 !
! 2.3333+04 ! 1.8884+04 !
! 2.6667+04 ! 2.1287+04 !
! 3.0000+04 ! 2.3606+04 !
! 3.3333+04 ! 2.5850+04 !
!-----+-----!
! 3.6667+04 ! 2.8006+04 !
! 4.0000+04 ! 3.0124+04 !
! 4.3333+04 ! 3.2183+04 !
! 4.6667+04 ! 3.4155+04 !
! 5.0000+04 ! 3.6122+04 !
!-----+-----!
! 5.3333+04 ! 3.8019+04 !
! 5.6667+04 ! 3.9879+04 !
! 6.0000+04 ! 4.1735+04 !
! 6.3333+04 ! 4.3490+04 !
! 6.6667+04 ! 4.5294+04 !
!-----+-----!
! 7.0000+04 ! 4.6984+04 !
! 7.3333+04 ! 4.8717+04 !
! 7.6667+04 ! 5.0301+04 !
! 8.0000+04 ! 5.1761+04 !
! 8.3333+04 ! 5.3204+04 !
!-----+-----!
! 8.6667+04 ! 5.4620+04 !
! 9.0000+04 ! 5.5759+04 !

!	9.3333+04	!	5.7003+04	!
!	9.6667+04	!	5.8925+04	!
!	1.0000+05	!	6.0864+04	!
!	-----			
!	4.9432+04	!	3.5790+04	!

SENSITIVITY BLOCK: SENSX

SAMPLED VARIABLES:

V1	CELLS MASSFLOW IN STREAM BROTH SUBSTREAM NON-CONV
V2	SENTENCE=RESULTS VARIABLE=PERM-FLUX IN UOS
BLOCK B22	
V3	WATER MASSFLOW IN STREAM PERMEAAT SUBSTREAM CONV

VARIED VARIABLES:

VARY 1	CELLS MASSFLOW IN STREAM BROTH SUBSTREAM NON-CONV
--------	---

SENSITIVITY BLOCK: SENSX (CONTINUED)

LOWER LIMIT	=	250.0000	KG/HR
UPPER LIMIT	=	1250.0000	KG/HR
POINTS	=	25	

TABULATED VARIABLES:

COLUMN 2:	V2
COLUMN 3:	V3

VARY 1	FLUX	PERMEAAT
BROTH	!	!
NONCONV	!	!
CELLS MA	!	!
SSFLOW	!	!
KG/HR	L/SQM-HR	KG/HR
250.0000	57.2176	4.0938+04
291.6666	55.2656	4.0058+04
333.3333	53.5756	3.9263+04
375.0000	52.0859	3.8539+04
416.6666	50.7543	3.7864+04
458.3333	49.5507	3.7215+04
500.0000	48.4527	3.6645+04
541.6666	47.4434	3.6111+04
583.3333	46.5098	3.5608+04
625.0000	45.6413	3.5133+04
666.6666	44.8296	3.4682+04
708.3333	44.0678	3.4235+04
750.0000	43.3501	3.3799+04
791.6666	42.6719	3.3406+04
833.3333	42.0290	3.3035+04
875.0000	41.4180	3.2679+04

! 916.6666 !	40.8359 !	3.2336+04 !
! 958.3333 !	40.2803 !	3.2006+04 !
! 1000.0000 !	39.7487 !	3.1688+04 !
! 1041.6666 !	39.2393 !	3.1380+04 !
!-----+-----+-----!		
! 1083.3333 !	38.7502 !	3.1076+04 !
! 1125.0000 !	38.2801 !	3.0769+04 !
! 1166.6666 !	37.8274 !	3.0473+04 !
! 1208.3333 !	37.3910 !	3.0189+04 !
! 1250.0000 !	36.9698 !	2.9928+04 !

SENSITIVITY BLOCK: SENSX (CONTINUED)

! VARY 1	! FLUX	! PERMEAAT
! BROTH	!	!
! NONCONV	!	!
! CELLS MA	!	!
! SSFLOW	!	!
! KG/HR	L/SQM-HR	KG/HR
!-----+-----+-----!		
! 568.0000 !	46.8452 !	3.5790+04 !

U-O-S BLOCK SECTION

BLOCK: B1 MODEL: MEMBRANE (CONTINUED)

*** RESULTS ***

PERFORMANCE RESULTS :

COMPONENT FRACTION RETAINED	CONCENTRATIONS		CONCENTRATION FACTOR
	RETENTATE	PERMEATE	
	GM/L		
CELLS 1.0000	29.155	0.00000E+00	1.4260

CALCULATED FLOW PARAMETERS:

FIBER DIAMETER 1.1671	METER
FEED/REten VOL RATIO 1.4260	
RETENTATE FLOW RATE 19482.	L/HR
PERMEATE FLOW RATE 8300.3	L/HR
PERMEATE FLUX 13.474	L/SQM-HR
AVERAGE VELOCITY 0.30188E-04	M/SEC
REYNOLDS NUMBER 26.404	
DIFFUSIVITY 0.13537E-02	SQCM/SEC
MASS TRANSFER COEFF. 4.8192	L/SQM-HR
AVERAGE WALL SHEAR 0.77974E+11	1/HR
FRICITION FACTOR 0.63430E+11	

CALCULATED PUMP AND COOLER DUTIES:

PUMP BRAKE HP 0.81263	KW
PUMP ELECTRIC HP 0.81263	KW
COOLER DUTY 490.16	KCAL/HR

BLOCK: B10 MODEL: MEMBRANE

*** RESULTS ***

PERFORMANCE RESULTS :

COMPONENT FRACTION RETAINED	CONCENTRATIONS RETENTATE	CONCENTRATIONS PERMEATE	CONCENTRATION FACTOR
	GM/L		
CELLS 1.0000	33.240	0.00000E+00	1.0414

CALCULATED FLOW PARAMETERS:

FIBER DIAMETER 0.58357E-01	METER	
FEED/RETEN VOL RATIO 1.0414		
RETENTATE FLOW RATE 17088.	L/HR	
PERMEATE FLOW RATE 706.78	L/HR	
PERMEATE FLUX 32.782	L/SQM-HR	
AVERAGE VELOCITY 0.12936E-01	M/SEC	
REYNOLDS NUMBER 565.84		
DIFFUSIVITY MASS TRANSFER COEFF. 13.071	SQCM/SEC	0.65316E-04
MASS TRANSFER COEFF. 0.37622E+10	L/SQM-HR	
AVERAGE WALL SHEAR 0.37622E+10	1/HR	
FRICITION FACTOR 16664.		

CALCULATED PUMP AND COOLER DUTIES:

PUMP BRAKE HP 0.58302	KW	
PUMP ELECTRIC HP 0.58302	KW	
COOLER DUTY 481.43	KCAL/HR	

BLOCK: B11 MODEL: MEMBRANE

*** RESULTS ***

PERFORMANCE RESULTS :

COMPONENT FRACTION RETAINED	CONCENTRATIONS RETENTATE	CONCENTRATIONS PERMEATE	CONCENTRATION FACTOR
	GM/L		

CELLS	34.491	0.00000E+00	1.0376
	1.0000		

CALCULATED FLOW PARAMETERS:

FIBER DIAMETER	METER
0.58357E-01	
FEED/RETEN VOL RATIO	
1.0376	
RETENTATE FLOW RATE	L/HR
16468.	
PERMEATE FLOW RATE	L/HR
619.84	
PERMEATE FLUX	L/SQM-HR
33.541	
AVERAGE VELOCITY	M/SEC
0.14518E-01	
REYNOLDS NUMBER	
635.09	
DIFFUSIVITY	SQCM/SEC
0.65316E-04	
MASS TRANSFER COEFF.	L/SQM-HR
13.583	
AVERAGE WALL SHEAR	1/HR
0.37622E+10	
FRICTION FACTOR	
13229.	

CALCULATED PUMP AND COOLER DUTIES:

PUMP BRAKE HP	KW
0.56085	
PUMP ELECTRIC HP	KW
0.56085	
COOLER DUTY	KCAL/HR
464.78	

BLOCK: B12 MODEL: MEMBRANE

*** RESULTS ***

PERFORMANCE RESULTS :

COMPONENT FRACTION	CONCENTRATIONS		CONCENTRATION
	RETENTATE	PERMEATE	FACTOR
RETAINED	GM/L		
CELLS 1.0000	35.649	0.00000E+00	1.0336

CALCULATED FLOW PARAMETERS:

FIBER DIAMETER 0.58357E-01	METER
FEED/REten VOL RATIO 1.0336	
RETENTATE FLOW RATE 15933.	L/HR
PERMEATE FLOW RATE 534.85	L/HR
PERMEATE FLUX 34.730	L/SQM-HR
AVERAGE VELOCITY 0.16823E-01	M/SEC
REYNOLDS NUMBER 735.93	
DIFFUSIVITY 0.65316E-04	SQCM/SEC
MASS TRANSFER COEFF. 14.267	L/SQM-HR
AVERAGE WALL SHEAR 0.37622E+10	1/HR
FRICITION FACTOR 9852.0	

CALCULATED PUMP AND COOLER DUTIES:

PUMP BRAKE HP 0.54156	KW
PUMP ELECTRIC HP 0.54156	KW
COOLER DUTY 450.56	KCAL/HR

BLOCK: B13 MODEL: MEMBRANE

*** RESULTS ***

PERFORMANCE RESULTS :

COMPONENT FRACTION	CONCENTRATIONS		CONCENTRATION
	RETENTATE	PERMEATE	FACTOR
RETAINED	GM/L		
CELLS 1.0000	36.686	0.00000E+00	1.0291

CALCULATED FLOW PARAMETERS:

FIBER DIAMETER	METER
0.58357E-01	
FEED/REten VOL RATIO	
1.0291	
RETENTATE FLOW RATE	L/HR
15483.	
PERMEATE FLOW RATE	L/HR
450.42	
PERMEATE FLUX	L/SQM-HR
36.560	
AVERAGE VELOCITY	M/SEC
0.20390E-01	
REYNOLDS NUMBER	
892.00	
DIFFUSIVITY	SQCM/SEC
0.65316E-04	
MASS TRANSFER COEFF.	L/SQM-HR
15.212	
AVERAGE WALL SHEAR	1/HR
0.37622E+10	
FRICITION FACTOR	
6706.3	

CALCULATED PUMP AND COOLER DUTIES:

PUMP BRAKE HP	KW
0.52509	
PUMP ELECTRIC HP	KW
0.52509	
COOLER DUTY	KCAL/HR
438.76	

BLOCK: B14 MODEL: MEMBRANE

*** RESULTS ***

PERFORMANCE RESULTS :

COMPONENT FRACTION RETAINED	CONCENTRATIONS RETENTATE GM/L	CONCENTRATION PERMEATE	CONCENTRATION FACTOR
CELLS 1.0000	37.508	0.00000E+00	1.0224

CALCULATED FLOW PARAMETERS:

FIBER DIAMETER	METER
0.58357E-01	
FEED/REten VOL RATIO	
1.0224	
RETENTATE FLOW RATE	L/HR
15143.	
PERMEATE FLOW RATE	L/HR

339.08
 PERMEATE FLUX L/SQM-HR
 36.697
 AVERAGE VELOCITY M/SEC
 0.26505E-01
 REYNOLDS NUMBER
 1159.5
 DIFFUSIVITY SQCM/SEC
 0.65316E-04
 MASS TRANSFER COEFF. L/SQM-HR
 15.432
 AVERAGE WALL SHEAR 1/HR
 0.37622E+10
 FRICTION FACTOR
 3968.8

CALCULATED PUMP AND COOLER DUTIES:

PUMP BRAKE HP	KW
0.51520	
PUMP ELECTRIC HP	KW
0.51520	
COOLER DUTY	KCAL/HR
433.31	

BLOCK: B15 MODEL: MEMBRANE

*** RESULTS ***

PERFORMANCE RESULTS :

COMPONENT FRACTION RETAINED	CONCENTRATIONS RETENTATE	CONCENTRATION PERMEATE	CONCENTRATION FACTOR
	GM/L		
CELLS 1.0000	38.278	0.00000E+00	1.0205

CALCULATED FLOW PARAMETERS:

FIBER DIAMETER	METER
0.58357E-01	
FEED/RETEN VOL RATIO	
1.0205	
RETENTATE FLOW RATE	L/HR
14839.	
PERMEATE FLOW RATE	L/HR
304.66	
PERMEATE FLUX	L/SQM-HR
49.458	
AVERAGE VELOCITY	M/SEC
REYNOLDS NUMBER	
1702.8	
DIFFUSIVITY	SQCM/SEC
0.65316E-04	
MASS TRANSFER COEFF.	L/SQM-HR

20.985
AVERAGE WALL SHEAR 1/HR
0.37622E+10
FRICTION FACTOR
1840.4

CALCULATED PUMP AND COOLER DUTIES:

PUMP BRAKE HP	KW
0.50113	
PUMP ELECTRIC HP	KW
0.50113	
COOLER DUTY	KCAL/HR
422.24	

BLOCK: B16 MODEL: MEMBRANE

*** RESULTS ***

PERFORMANCE RESULTS :

COMPONENT FRACTION	CONCENTRATIONS	CONCENTRATION	
RETAINED	RETENTATE	PERMEATE	FACTOR
		GM/L	
CELLS 1.0000	38.959	0.00000E+00	1.0178

CALCULATED FLOW PARAMETERS:

FIBER DIAMETER	METER
0.58357E-01	
FEED/REten VOL RATIO	
1.0178	
RETENTATE FLOW RATE	L/HR
14580.	
PERMEATE FLOW RATE	L/HR
259.13	
PERMEATE FLUX	L/SQM-HR
84.132	
AVERAGE VELOCITY	M/SEC
0.76379E-01	
REYNOLDS NUMBER	
3341.6	
DIFFUSIVITY	SQCM/SEC
0.65316E-04	
MASS TRANSFER COEFF.	L/SQM-HR
35.988	
AVERAGE WALL SHEAR	1/HR
0.37622E+10	
FRICTION FACTOR	
477.89	

ASPEN PLUS VER: DOS-386 REL: 8.4-1 INST: TUDELFT
04/26/93 PAGE 22

U-O-S BLOCK SECTION

BLOCK: B16 MODEL: MEMBRANE (CONTINUED)

CALCULATED PUMP AND COOLER DUTIES:

PUMP BRAKE HP	KW
0.49172	
PUMP ELECTRIC HP	KW
0.49172	
COOLER DUTY	KCAL/HR
415.43	

BLOCK: B17 MODEL: MEMBRANE

*** RESULTS ***

PERFORMANCE RESULTS :

COMPONENT FRACTION	CONCENTRATIONS	CONCENTRATION	
RETAINED	RETENTATE	PERMEATE	FACTOR
		GM/L	
CELLS 1.0000	15.759	0.00000E+00	1.0583

CALCULATED FLOW PARAMETERS:

FIBER DIAMETER	METER
0.58357E-01	
FEED/RETEN VOL RATIO	
1.0583	
RETENTATE FLOW RATE	L/HR
36043.	
PERMEATE FLOW RATE	L/HR
2100.7	
PERMEATE FLUX	L/SQM-HR
42.628	
AVERAGE VELOCITY	M/SEC
0.12034E-01	
REYNOLDS NUMBER	
526.12	
DIFFUSIVITY	SQCM/SEC
0.67685E-04	
MASS TRANSFER COEFF.	L/SQM-HR
13.066	
AVERAGE WALL SHEAR	1/HR
0.38987E+10	
FRICITION FACTOR	
19964.	

CALCULATED PUMP AND COOLER DUTIES:

PUMP BRAKE HP	KW
1.2848	
PUMP ELECTRIC HP	KW
1.2848	
COOLER DUTY	KCAL/HR
1043.9	

BLOCK: B18 MODEL: MEMBRANE

*** RESULTS ***

PERFORMANCE RESULTS :

COMPONENT FRACTION RETAINED	CONCENTRATIONS RETENTATE GM/L	CONCENTRATION PERMEATE	FACTOR
CELLS 1.0000	14.891	0.00000E+00	1.0595

CALCULATED FLOW PARAMETERS:

FIBER DIAMETER	METER
0.58357E-01	
FEED/REten VOL RATIO	
1.0595	
RETENTATE FLOW RATE	L/HR
38144.	
PERMEATE FLOW RATE	L/HR
2268.6	
PERMEATE FLUX	L/SQM-HR
43.326	
AVERAGE VELOCITY	M/SEC
0.11993E-01	
REYNOLDS NUMBER	
524.31	
DIFFUSIVITY	SQCM/SEC
0.67685E-04	
MASS TRANSFER COEFF.	L/SQM-HR
13.052	
AVERAGE WALL SHEAR	1/HR
0.38987E+10	
FRICTION FACTOR	
20101.	

CALCULATED PUMP AND COOLER DUTIES:

PUMP BRAKE HP	KW
1.3604	
PUMP ELECTRIC HP	KW
1.3604	
COOLER DUTY	KCAL/HR

1104.2

BLOCK: B19 MODEL: MEMBRANE

*** RESULTS ***

PERFORMANCE RESULTS :

COMPONENT FRACTION RETAINED	CONCENTRATIONS RETENTATE GM/L	CONCENTRATION PERMEATE	CONCENTRATION FACTOR
CELLS 1.0000	14.055	0.00000E+00	1.0605

CALCULATED FLOW PARAMETERS:

FIBER DIAMETER 0.58357E-01	METER
FEED/REten VOL RATIO 1.0605	
RETENTATE FLOW RATE 40412.	L/HR
PERMEATE FLOW RATE 2445.1	L/HR
PERMEATE FLUX 44.103	L/SQM-HR
AVERAGE VELOCITY 0.12006E-01	M/SEC
REYNOLDS NUMBER 524.88	
DIFFUSIVITY 0.67685E-04	SQCM/SEC
MASS TRANSFER COEFF. 13.056	L/SQM-HR
AVERAGE WALL SHEAR 0.38987E+10	1/HR
FRICTION FACTOR 20057.	

CALCULATED PUMP AND COOLER DUTIES:

PUMP BRAKE HP 1.4421	KW
PUMP ELECTRIC HP 1.4421	KW
COOLER DUTY 1169.3	KCAL/HR

BLOCK: B2 MODEL: MEMBRANE

*** RESULTS ***

PERFORMANCE RESULTS :

COMPONENT FRACTION RETAINED	CONCENTRATIONS RETENTATE GM/L	CONCENTRATION PERMEATE	CONCENTRATION FACTOR
CELLS 1.0000	20.445	0.00000E+00	1.0496

CALCULATED FLOW PARAMETERS:

FIBER DIAMETER 0.58357E-01	METER
FEED/REten VOL RATIO 1.0496	
RETENTATE FLOW RATE 27782.	L/HR
PERMEATE FLOW RATE 1376.8	L/HR
PERMEATE FLUX 40.639	L/SQM-HR
AVERAGE VELOCITY 0.13436E-01	M/SEC
REYNOLDS NUMBER 587.52	
DIFFUSIVITY 0.67685E-04	SQCM/SEC
MASS TRANSFER COEFF. 13.555	L/SQM-HR
AVERAGE WALL SHEAR 0.38987E+10	1/HR
FRICTION FACTOR 16011.	

CALCULATED PUMP AND COOLER DUTIES:

PUMP BRAKE HP 0.98618	KW
PUMP ELECTRIC HP 0.98618	KW
COOLER DUTY 807.97	KCAL/HR

BLOCK: B20 MODEL: MEMBRANE

*** RESULTS ***

PERFORMANCE RESULTS :

COMPONENT FRACTION RETAINED	CONCENTRATIONS RETENTATE	CONCENTRATION PERMEATE	CONCENTRATION FACTOR
--------------------------------	-----------------------------	---------------------------	-------------------------

GM/L

CELLS	13.253	0.00000E+00	1.0614
1.0000			

CALCULATED FLOW PARAMETERS:

FIBER DIAMETER	METER
0.58357E-01	
FEED/REten VOL RATIO	
1.0614	
RETENTATE FLOW RATE	L/HR
42858.	
PERMEATE FLOW RATE	L/HR
2630.6	
PERMEATE FLUX	L/SQM-HR
44.951	
AVERAGE VELOCITY	M/SEC
0.12067E-01	
REYNOLDS NUMBER	
527.54	
DIFFUSIVITY	SQCM/SEC
0.67685E-04	
MASS TRANSFER COEFF.	L/SQM-HR
13.079	
AVERAGE WALL SHEAR	1/HR
0.38987E+10	
FRICITION FACTOR	
19855.	

CALCULATED PUMP AND COOLER DUTIES:

PUMP BRAKE HP	KW
1.5300	
PUMP ELECTRIC HP	KW
1.5300	
COOLER DUTY	KCAL/HR
1239.5	

BLOCK: B21 MODEL: MEMBRANE

*** RESULTS ***

PERFORMANCE RESULTS :

COMPONENT FRACTION	CONCENTRATIONS	CONCENTRATION	
RETAINED	RETENTATE	PERMEATE	FACTOR
	GM/L		

CELLS	12.487	0.00000E+00	1.0621
1.0000			

CALCULATED FLOW PARAMETERS:

FIBER DIAMETER	METER
0.58357E-01	

FEED/REten VOL RATIO
1.0621
RETENTATE FLOW RATE L/HR
45488.
PERMEATE FLOW RATE L/HR
2825.4
PERMEATE FLUX L/SQM-HR
45.867
AVERAGE VELOCITY M/SEC
0.12172E-01
REYNOLDS NUMBER
532.10
DIFFUSIVITY SQCM/SEC
0.67685E-04
MASS TRANSFER COEFF. L/SQM-HR
13.116
AVERAGE WALL SHEAR 1/HR
0.38987E+10
FRICTION FACTOR
19516.

CALCULATED PUMP AND COOLER DUTIES:

PUMP BRAKE HP KW
1.6244
PUMP ELECTRIC HP KW
1.6244
COOLER DUTY KCAL/HR
1315.1

BLOCK: B22 MODEL: MEMBRANE

*** RESULTS ***

PERFORMANCE RESULTS :

COMPONENT FRACTION RETAINED	CONCENTRATIONS RETENTATE GM/L	CONCENTRATION PERMEATE	CONCENTRATION FACTOR
CELLS 1.0000	11.756	0.00000E+00	1.0627

CALCULATED FLOW PARAMETERS:

FIBER DIAMETER METER
0.58357E-01
FEED/REten VOL RATIO
1.0627
RETENTATE FLOW RATE L/HR
48314.
PERMEATE FLOW RATE L/HR
3030.0
PERMEATE FLUX L/SQM-HR
46.845
AVERAGE VELOCITY M/SEC 0.12316E-01

REYNOLDS NUMBER
538.38
DIFFUSIVITY SQCM/SEC
0.67685E-04
MASS TRANSFER COEFF. L/SQM-HR
13.168
AVERAGE WALL SHEAR 1/HR
0.38987E+10
FRICTION FACTOR
19062.

CALCULATED PUMP AND COOLER DUTIES:

PUMP BRAKE HP KW
4.3148
PUMP ELECTRIC HP KW
4.3148
COOLER DUTY KCAL/HR
3491.3

BLOCK: B3 MODEL: MEMBRANE

*** RESULTS ***

PERFORMANCE RESULTS :

COMPONENT FRACTION	CONCENTRATIONS	CONCENTRATION	
RETAINED	RETENTATE	PERMEATE	FACTOR
	GM/L		
CELLS 1.0000	19.479	0.00000E+00	1.0517

CALCULATED FLOW PARAMETERS:

FIBER DIAMETER METER
0.58357E-01
FEED/REten VOL RATIO
1.0517
RETENTATE FLOW RATE L/HR
29159.
PERMEATE FLOW RATE L/HR
1507.7
PERMEATE FLUX L/SQM-HR
40.793
AVERAGE VELOCITY M/SEC
0.12940E-01
REYNOLDS NUMBER
565.82
DIFFUSIVITY SQCM/SEC
0.67685E-04
MASS TRANSFER COEFF. L/SQM-HR
13.387
AVERAGE WALL SHEAR 1/HR
0.38987E+10
FRICTION FACTOR

17263.

CALCULATED PUMP AND COOLER DUTIES:

PUMP BRAKE HP	KW
1.0361	
PUMP ELECTRIC HP	KW
1.0361	
COOLER DUTY	KCAL/HR
847.16	

BLOCK: B4 MODEL: MEMBRANE

*** RESULTS ***

PERFORMANCE RESULTS :

COMPONENT FRACTION RETAINED	CONCENTRATIONS RETENTATE	CONCENTRATION PERMEATE	CONCENTRATION FACTOR
	GM/L		
CELLS 1.0000	18.522	0.00000E+00	1.0536

CALCULATED FLOW PARAMETERS:

FIBER DIAMETER	METER
0.58357E-01	
FEED/REten VOL RATIO	
1.0536	
RETENTATE FLOW RATE	L/HR
30667.	
PERMEATE FLOW RATE	L/HR
1645.1	
PERMEATE FLUX	L/SQM-HR
41.086	
AVERAGE VELOCITY	M/SEC
0.12574E-01	
REYNOLDS NUMBER	
549.79	
DIFFUSIVITY	SQCM/SEC
0.67685E-04	
MASS TRANSFER COEFF.	L/SQM-HR
13.259	
AVERAGE WALL SHEAR	1/HR
0.38987E+10	
FRICTION FACTOR	
18284.	

CALCULATED PUMP AND COOLER DUTIES:

PUMP BRAKE HP	KW
1.0907	
PUMP ELECTRIC HP	KW

1.0907
COOLER DUTY KCAL/HR
890.15

BLOCK: B5 MODEL: MEMBRANE

*** RESULTS ***

PERFORMANCE RESULTS :

COMPONENT FRACTION RETAINED	CONCENTRATIONS RETENTATE GM/L	CONCENTRATION PERMEATE	CONCENTRATION FACTOR
CELLS 1.0000	17.579	0.00000E+00	1.0554

CALCULATED FLOW PARAMETERS:

FIBER DIAMETER 0.58357E-01	METER
FEED/REten VOL RATIO 1.0554	
RETENTATE FLOW RATE 32312.	L/HR
PERMEATE FLOW RATE 1789.4	L/HR
PERMEATE FLUX 41.498	L/SQM-HR
AVERAGE VELOCITY 0.12313E-01	M/SEC
REYNOLDS NUMBER 538.33	
DIFFUSIVITY 0.67685E-04	SQCM/SEC
MASS TRANSFER COEFF. 13.166	L/SQM-HR
AVERAGE WALL SHEAR 0.38987E+10	1/HR
FRICTION FACTOR 19070.	

CALCULATED PUMP AND COOLER DUTIES:

PUMP BRAKE HP 1.1502	KW
PUMP ELECTRIC HP 1.1502	KW
COOLER DUTY 937.15	KCAL/HR

BLOCK: B6

MODEL: MEMBRANE

*** RESULTS ***

PERFORMANCE RESULTS :

COMPONENT FRACTION RETAINED	CONCENTRATIONS RETENTATE GM/L	CONCENTRATION PERMEATE	CONCENTRATION FACTOR
CELLS 1.0000	16.656	0.00000E+00	1.0569

CALCULATED FLOW PARAMETERS:

FIBER DIAMETER 0.58357E-01	METER
FEED/RETEN VOL RATIO 1.0569	
RETENTATE FLOW RATE 34102.	L/HR
PERMEATE FLOW RATE 1941.1	L/HR
PERMEATE FLUX 42.015	L/SQM-HR
AVERAGE VELOCITY 0.12137E-01	M/SEC
REYNOLDS NUMBER 530.64	
DIFFUSIVITY 0.67685E-04	SQCM/SEC
MASS TRANSFER COEFF. 13.104	L/SQM-HR
AVERAGE WALL SHEAR 0.38987E+10	1/HR
FRICTION FACTOR 19626.	

CALCULATED PUMP AND COOLER DUTIES:

PUMP BRAKE HP 1.2148	KW
PUMP ELECTRIC HP 1.2148	KW
COOLER DUTY 988.33	KCAL/HR

BLOCK: B8

MODEL: MEMBRANE

*** RESULTS ***

PERFORMANCE RESULTS :

COMPONENT FRACTION	CONCENTRATIONS	CONCENTRATION
--------------------	----------------	---------------

	RETENTATE	PERMEATE	FACTOR
RETAINED			
	GM/L		
CELLS	30.552	0.00000E+00	1.0479
1.0000			

CALCULATED FLOW PARAMETERS:

FIBER DIAMETER	METER
0.58357E-01	
FEED/REten VOL RATIO	
1.0479	
RETENTATE FLOW RATE	L/HR
18591.	
PERMEATE FLOW RATE	L/HR
890.42	
PERMEATE FLUX	L/SQM-HR
32.122	
AVERAGE VELOCITY	M/SEC
0.10981E-01	
REYNOLDS NUMBER	
480.28	
DIFFUSIVITY	SQCM/SEC
0.65316E-04	
MASS TRANSFER COEFF.	L/SQM-HR
12.376	
AVERAGE WALL SHEAR	1/HR
0.37622E+10	
FRICITION FACTOR	
23128.	

CALCULATED PUMP AND COOLER DUTIES:

PUMP BRAKE HP	KW
0.65942	
PUMP ELECTRIC HP	KW
0.65942	
COOLER DUTY	KCAL/HR
541.12	

BLOCK: B9 MODEL: MEMBRANE

*** RESULTS ***

PERFORMANCE RESULTS :

COMPONENT FRACTION	CONCENTRATIONS	CONCENTRATION	
RETAINED	RETENTATE	PERMEATE	FACTOR
	GM/L		
CELLS	31.920	0.00000E+00	1.0448
1.0000			

CALCULATED FLOW PARAMETERS:

FIBER DIAMETER	METER
0.58357E-01	
FEED/REten VOL RATIO	
1.0448	
RETENTATE FLOW RATE	L/HR
17795.	
PERMEATE FLOW RATE	L/HR
796.69	
PERMEATE FLUX	L/SQM-HR
32.333	
AVERAGE VELOCITY	M/SEC
0.11806E-01	
REYNOLDS NUMBER	
516.41	
DIFFUSIVITY	SQCM/SEC
0.65316E-04	
MASS TRANSFER COEFF.	L/SQM-HR
12.679	
AVERAGE WALL SHEAR	1/HR
0.37622E+10	
FRICtION FACTOR	
20006.	

CALCULATED PUMP AND COOLER DUTIES:

PUMP BRAKE HP	KW
0.60815	
PUMP ELECTRIC HP	KW
0.60815	
COOLER DUTY	KCAL/HR
500.54	

STREAM SECTION

BROTH PER1 PER10 PER11 PER12

STREAM ID PER12	BROTH	PER1	PER10	PER11
FROM : B13	----	B1	B11	B12
TO : B7	B22	B7	B7	B7
CLASS: CONV-NC	CONV-NC	CONV-NC	CONV-NC	CONV-NC
TOTAL STREAM: KG/HR 520.7223 438.5272	5.0000+04	8080.9075	603.4671	
KCAL/HR -1.9634+06 -1.6535+06	-1.8803+08	-3.0469+07	-2.2754+06	
SUBSTREAM: CONV				
PHASE: QUID LIQUID	LIQUID	LIQUID	LIQUID	LI-
COMPONENTS: KMOL/HR WATER 28.9049 24.3423	2743.9356	448.5655	33.4980	
TOTAL FLOW: KMOL/HR 28.9049 24.3423	2743.9356	448.5655	33.4980	
KG/HR 520.7223 438.5272	4.9432+04	8080.9075	603.4671	
L/HR 534.8520 450.4244	5.0776+04	8300.3440	619.8448	
STATE VARIABLES: TEMP C 44.9523 44.9478	44.9955	44.9718	44.9568	
PRES ATM 1.0000 1.0000	1.0000	1.0000	1.0000	
VFRAC 0.0	0.0	0.0	0.0	0.0
LFRAC 1.0000 1.0000	1.0000	1.0000	1.0000	
SFRAC 0.0	0.0	0.0	0.0	0.0
ENTHALPY: CAL/MOL -6.7925+04 -6.7925+04	-6.7924+04	-6.7925+04	-6.7925+04	
CAL/GM -3770.4823 -3770.4867	-3770.4396	-3770.4630	-3770.4778	
KCAL/HR -1.9634+06 -1.6535+06	-1.8638+08	-3.0469+07	-2.2754+06	
ENTROPY: CAL/MOL-K -42.4123 -42.4130	-42.4054	-42.4092	-42.4115	
CAL/GM-K -2.3542 -2.3543	-2.3539	-2.3541	-2.3542	
DENSITY: MOL/CC 5.4043-02 5.4043-02	5.4040-02	5.4042-02	5.4043-02	
GM/CC	0.9735	0.9735	0.9735	

0.9735	0.9735			
AVG MW		18.0150	18.0150	18.0150
18.0150	18.0150			

PER13 PER14 PER15 PER17 PER18

STREAM ID	PER13	PER14	PER15	PER17
PER18				
FROM :	B14	B15	B16	B17
B18				
TO :	B7	B7	B7	B7
B7				
CLASS:	CONV-NC	CONV-NC	CONV-NC	CONV-NC
CONV-NC	CONV-NC			
TOTAL STREAM:				
KG/HR	330.1286	296.6180	252.2874	
2045.1126	2208.5169			
KCAL/HR	-1.2448+06	-1.1184+06	-9.5126+05	
-7.7111+06	-8.3272+06			
SUBSTREAM: CONV				
PHASE:	LIQUID	LIQUID	LIQUID	LI-
LIQUID				
QUID				
COMPONENTS: KMOL/HR				
WATER	18.3252	16.4650	14.0043	
113.5227	122.5932			
TOTAL FLOW:				
KMOL/HR	18.3252	16.4650	14.0043	
113.5227	122.5932			
KG/HR	330.1286	296.6180	252.2874	
2045.1126	2208.5169			
L/HR	339.0836	304.6625	259.1285	
2100.7136	2268.5708			
STATE VARIABLES:				
TEMP C	44.9435	44.9388	44.9343	
45.0029	45.0074			
PRES ATM	1.0000	1.0000	1.0000	
1.0000	1.0000			
VFRAC	0.0	0.0	0.0	0.0
0.0				
LFRAC	1.0000	1.0000	1.0000	
1.0000	1.0000			
SFRAC	0.0	0.0	0.0	0.0
0.0				
ENTHALPY:				
CAL/MOL	-6.7925+04	-6.7925+04	-6.7926+04	
-6.7924+04	-6.7924+04			
CAL/GM	-3770.4909	-3770.4956	-3770.5000	
-3770.4324	-3770.4279			
KCAL/HR	-1.2448+06	-1.1184+06	-9.5126+05	
-7.7111+06	-8.3272+06			
ENTROPY:				
CAL/MOL-K	-42.4136	-42.4144	-42.4151	
-42.4043	-42.4036			
CAL/GM-K	-2.3543	-2.3543	-2.3544	
-2.3538	-2.3537			
DENSITY:				
MOL/CC	5.4043-02	5.4044-02	5.4044-02	

5.4040-02	5.4040-02			
GM/CC		0.9735	0.9736	0.9736
0.9735	0.9735			
AVG MW		18.0150	18.0150	18.0150
18.0150	18.0150			

ASPEN PLUS VER: DOS-386
04/26/93 PAGE 46

REL: 8.4-1

INST: TUDELFT

STREAM SECTION

PER19 PER2 PER20 PER21 PER22

STREAM ID PER22	PER19	PER2	PER20	PER21
FROM : B22	B19	B2	B20	B21
TO : B7	B7	B7	B7	B7
CLASS: CONV-NC CONV-NC	CONV-NC	CONV-NC	CONV-NC	CONV-NC
TOTAL STREAM: KG/HR 2750.5736 2949.5743	2380.3343	1340.4350	2560.9112	
KCAL/HR -1.0371+07 -1.1121+07	-8.9750+06	-5.0541+06	-9.6558+06	
SUBSTREAM: CONV				
PHASE: QUID LIQUID	LIQUID	LIQUID	LIQUID	LI-
COMPONENTS: KMOL/HR WATER 152.6824 163.7288	132.1306	74.4066	142.1543	
TOTAL FLOW: KMOL/HR 152.6824 163.7288	132.1306	74.4066	142.1543	
KG/HR 2750.5736 2949.5743	2380.3343	1340.4350	2560.9112	
L/HR 2825.4060 3029.9730	2445.0714	1376.8464	2630.5716	
STATE VARIABLES: TEMP C 45.0211 45.0707	45.0120	44.9804	45.0165	
PRES ATM 1.0000 1.0000	1.0000	1.0000	1.0000	
VFRAC 0.0	0.0	0.0	0.0	0.0
LFRAC 1.0000 1.0000	1.0000	1.0000	1.0000	
SFRAC 0.0	0.0	0.0	0.0	0.0
ENTHALPY: CAL/MOL -6.7924+04 -6.7923+04	-6.7924+04	-6.7925+04	-6.7924+04	
CAL/GM -3770.4145 -3770.3654	-3770.4234	-3770.4546	-3770.4189	
KCAL/HR -1.0371+07 -1.1121+07	-8.9750+06	-5.0541+06	-9.6558+06	
ENTROPY: CAL/MOL-K -42.4014 -42.3936	-42.4029	-42.4078	-42.4021	
CAL/GM-K -2.3537	-2.3537	-2.3540	-2.3537	

-2.3536	-2.3532			
DENSITY:				
MOL/CC		5.4040-02	5.4041-02	5.4039-02
5.4039-02	5.4036-02	0.9735	0.9735	0.9735
GM/CC				
0.9735	0.9734	18.0150	18.0150	18.0150
AVG MW				
18.0150	18.0150			

STREAM SECTION

PER3 PER4 PER5 PER6 PER7

STREAM ID PER7	PER3	PER4	PER5	PER6
FROM : B8	B3	B4	B5	B6
TO : B7	B7	B7	B7	B7
CLASS: CONV-NC CONV-NC		CONV-NC	CONV-NC	CONV-NC
TOTAL STREAM: KG/HR 1889.7527 866.8787		1467.8581	1601.5633	1742.0434
KCAL/HR -7.1253+06 -3.2686+06		-5.5346+06	-6.0387+06	-6.5684+06
SUBSTREAM: CONV				
PHASE: QUID LIQUID	LIQUID	LIQUID	LIQUID	LI-
COMPONENTS: KMOL/HR WATER		81.4797	88.9016	96.6996
104.8988 48.1198				
TOTAL FLOW: KMOL/HR 104.8988 48.1198	81.4797	88.9016	96.6996	
KG/HR 1889.7527 866.8787		1467.8581	1601.5633	1742.0434
L/HR 1941.1209 890.4185		1507.7376	1645.0828	1789.3884
STATE VARIABLES:				
TEMP C 44.9984 44.9715		44.9849	44.9894	44.9939
PRES ATM 1.0000 1.0000		1.0000	1.0000	1.0000
VFRAC 0.0 LFRAC	0.0	0.0	0.0	0.0
1.0000 1.0000		1.0000	1.0000	1.0000
SFRAC 0.0 ENTHALPY: CAL/MOL -6.7924+04 -6.7925+04				
CAL/GM -3770.4368 -3770.4634		-6.7925+04	-6.7925+04	-6.7925+04
KCAL/HR -7.1253+06 -3.2686+06		-3770.4501	-3770.4457	-3770.4413
ENTROPY: CAL/MOL-K -42.4050 -42.4092		-5.5346+06	-6.0387+06	-6.5684+06
CAL/GM-K -2.3538 -2.3541		-42.4071	-42.4064	-42.4057
DENSITY:		-2.3539	-2.3539	-2.3539

MOL/CC		5.4041-02	5.4041-02	5.4041-02
5.4040-02	5.4042-02	0.9735	0.9735	0.9735
GM/CC		18.0150	18.0150	18.0150
0.9735	0.9735			
AVG MW				
18.0150	18.0150			

STREAM SECTION

PER8 PER9 PERMEAAT RET1 RET10

STREAM ID RET10	PER8	PER9	PERMEAAT	RET1
FROM : B11	B9	B10	B7	B1
TO : B12	B7	B7	----	B8
CLASS: CONV-NC CONV-NC	CONV-NC	CONV-NC	CONV-NC	
TOTAL STREAM: KG/HR 1.8982+04 1.6048+04	775.6332	688.1008	3.5790+04	
KCAL/HR -7.1080+07 -6.0017+07	-2.9245+06	-2.5945+06	-1.3495+08	
SUBSTREAM: CONV				
PHASE: QUID LIQUID	LIQUID	LIQUID	LIQUID	LI-
COMPONENTS: KMOL/HR WATER	43.0548	38.1959	1986.6748	
1022.1713 859.3026				
TOTAL FLOW: KMOL/HR 1022.1713 859.3026	43.0548	38.1959	1986.6748	
KG/HR 1.8414+04 1.5480+04	775.6332	688.1008	3.5790+04	
L/HR 1.8914+04 1.5900+04	796.6906	706.7786	3.6763+04	
STATE VARIABLES: TEMP C 44.9412 44.9229	44.9659	44.9613	44.9958	
PRES ATM 2.2000 2.2280	1.0000	1.0000	1.0000	
VFRAC 0.0	0.0	0.0	0.0	0.0
LFRAC 1.0000 1.0000	1.0000	1.0000	1.0000	
SFRAC 0.0	0.0	0.0	0.0	0.0
ENTHALPY: CAL/MOL -6.7925+04 -6.7926+04	-6.7925+04	-6.7925+04	-6.7924+04	
CAL/GM -3770.4932 -3770.5113	-3770.4689	-3770.4734	-3770.4394	
KCAL/HR -6.9432+07 -5.8370+07	-2.9245+06	-2.5945+06	-1.3495+08	
ENTROPY: CAL/MOL-K -43.9797 -44.0078	-42.4101	-42.4108	-42.4054	
CAL/GM-K -2.4412 -2.4428	-2.3541	-2.3542	-2.3539	
DENSITY:				

MOL/CC		5.4042-02	5.4042-02	5.4040-02
5.4043-02	5.4044-02			
GM/CC		0.9735	0.9735	0.9735
0.9735	0.9736			
AVG MW		18.0150	18.0150	18.0150
18.0150	18.0150			

STREAM SECTION

RET11 RET12 RET13 RET14 RET15

STREAM ID	RET11	RET12	RET13	RET14
RET15				
FROM :	B12	B13	B14	B15
B16				
TO :	B13	B14	B15	B16

CLASS:	CONV-NC	CONV-NC	CONV-NC	CONV-NC
CONV-NC	CONV-NC			
TOTAL STREAM:				
KG/HR	1.5528+04	1.5089+04	1.4759+04	
1.4462+04	1.4210+04			
KCAL/HR	-5.8054+07	-5.6401+07	-5.5156+07	
-5.4038+07	-5.3086+07			
SUBSTREAM: CONV				
PHASE:	LIQUID	LIQUID	LIQUID	LI-
QUID	LIQUID			
COMPONENTS: KMOL/HR				
WATER	830.3976	806.0553	787.7301	
771.2650	757.2607			
TOTAL FLOW:				
KMOL/HR	830.3976	806.0553	787.7301	
771.2650	757.2607			
KG/HR	1.4960+04	1.4521+04	1.4191+04	
1.3894+04	1.3642+04			
L/HR	1.5365+04	1.4915+04	1.4575+04	
1.4271+04	1.4012+04			
STATE VARIABLES:				
TEMP C	44.9183	44.9138	44.9092	
44.9047	44.9047			
PRES ATM	2.2280	2.2280	2.2280	
2.2280	2.2280			
VFRAC	0.0	0.0	0.0	0.0
0.0				
LFRAC	1.0000	1.0000	1.0000	1.0000
1.0000	1.0000			
SFRAC	0.0	0.0	0.0	0.0
0.0				
ENTHALPY:				
CAL/MOL	-6.7926+04	-6.7926+04	-6.7926+04	
-6.7926+04	-6.7926+04			
CAL/GM	-3770.5158	-3770.5203	-3770.5248	
-3770.5292	-3770.5292			
KCAL/HR	-5.6406+07	-5.4753+07	-5.3508+07	
-5.2390+07	-5.1438+07			
ENTROPY:				
CAL/MOL-K	-44.0085	-44.0092	-44.0099	
-44.0106	-44.0106			
CAL/GM-K	-2.4428	-2.4429	-2.4429	
-2.4430	-2.4430			
DENSITY:				

MOL/CC		5.4045-02	5.4045-02	5.4045-02
5.4045-02	5.4045-02	0.9736	0.9736	0.9736
GM/CC				
0.9736	0.9736			
AVG MW		18.0150	18.0150	18.0150
18.0150	18.0150			
SUBSTREAM: NONCONV		STRUCTURE: NON CONVENTIONAL		
COMPONENTS: KG/HR		568.0000	568.0000	568.0000
CELLS				
568.0000	568.0000			
TOTAL FLOW:		568.0000	568.0000	568.0000
KG/HR				
568.0000	568.0000			
STATE VARIABLES:				
TEMP	C	44.9183	44.9138	44.9092
44.9047	44.9047			
PRES	ATM	2.2280	2.2280	2.2280
2.2280	2.2280			
VFRAC		0.0	0.0	0.0
0.0				
LFRAC		0.0	0.0	0.0
0.0				
SFRAC		1.0000	1.0000	1.0000
1.0000	1.0000			
ENTHALPY:				
CAL/GM		-2901.0649	-2901.0694	-2901.0740
-2901.0785	-2901.0785			
KCAL/HR		-1.6478+06	-1.6478+06	-1.6478+06
-1.6478+06	-1.6478+06			
DENSITY:				
GM/CC		1.0000	1.0000	1.0000
1.0000	1.0000			
AVG MW		1.0000	1.0000	1.0000
1.0000	1.0000			
COMPONENT ATTRIBUTES:				
CELLS	BIOCOMP			
	CARBON	54.0000	54.0000	54.0000
54.0000	54.0000			

STREAM SECTION

RET11 RET12 RET13 RET14 RET15 (CONTINUED)

STREAM ID RET15		RET11	RET12	RET13	RET14
	HYDROGEN	5.0000	5.0000	5.0000	5.0000
5.0000	5.0000				
	OXYGEN	22.0000	22.0000	22.0000	22.0000
22.0000	22.0000				
	NITROGEN	11.0000	11.0000	11.0000	11.0000
11.0000	11.0000				
	ASH	8.0000	8.0000	8.0000	8.0000
8.0000	8.0000				
	MOISTURE	75.0000	75.0000	75.0000	75.0000
75.0000	75.0000				

STREAM SECTION

RET17 RET18 RET19 RET2 RET20

STREAM ID	RET17	RET18	RET19	RET2
RET20				
FROM :	B17	B18	B19	B2
TO :	B6	B17	B18	B1
CLASS:	CONV-NC	CONV-NC	CONV-NC	CONV-NC
CONV-NC	CONV-NC			
TOTAL STREAM:				
KG/HR	3.5105+04	3.7150+04	3.9359+04	
2.7063+04 4.1739+04				
KCAL/HR	-1.3187+08	-1.3958+08	-1.4791+08	
-1.0155+08 -1.5688+08				
SUBSTREAM: CONV				
PHASE:	LIQUID	LIQUID	LIQUID	LI-
QUID LIQUID				
COMPONENTS: KMOL/HR				
WATER	1917.1233	2030.6461	2153.2393	
1470.7368 2285.3700				
TOTAL FLOW:				
KMOL/HR	1917.1233	2030.6461	2153.2393	
1470.7368 2285.3700				
KG/HR	3.4537+04	3.6582+04	3.8791+04	
2.6495+04 4.1171+04				
L/HR	3.5475+04	3.7576+04	3.9844+04	
2.7214+04 4.2289+04				
STATE VARIABLES:				
TEMP C	44.9682	44.9728	44.9773	
44.9457 44.9819				
PRES ATM	2.2000	2.2000	2.2000	
2.2000 2.2000				
VFRAC 0.0	0.0	0.0	0.0	0.0
LFRAC 0.0	1.0000	1.0000	1.0000	
1.0000 1.0000				
SFRAC 0.0	0.0	0.0	0.0	0.0
ENTHALPY:				
CAL/MOL	-6.7925+04	-6.7925+04	-6.7925+04	
-6.7925+04 -6.7925+04				
CAL/GM	-3770.4666	-3770.4621	-3770.4576	
-3770.4888 -3770.4531				
KCAL/HR	-1.3022+08	-1.3793+08	-1.4626+08	
-9.9902+07 -1.5524+08				
ENTROPY:				
CAL/MOL-K	-43.9755	-43.9748	-43.9741	
-43.9791 -43.9733				
CAL/GM-K	-2.4410	-2.4410	-2.4409	
-2.4412 -2.4409				
DENSITY:				

MOL/CC		5.4042-02	5.4042-02	5.4041-02
5.4043-02	5.4041-02			
GM/CC		0.9735	0.9735	0.9735
0.9735	0.9735			
AVG MW		18.0150	18.0150	18.0150
18.0150	18.0150			
SUBSTREAM: NONCONV		STRUCTURE: NON CONVENTIONAL		
COMPONENTS: KG/HR		568.0000	568.0000	568.0000
CELLS				
568.0000	568.0000			
TOTAL FLOW:		568.0000	568.0000	568.0000
KG/HR				
568.0000	568.0000			
STATE VARIABLES:				
TEMP	C	44.9682	44.9728	44.9773
44.9457	44.9819			
PRES	ATM	2.2000	2.2000	2.2000
2.2000	2.2000			
VFRAC		0.0	0.0	0.0
0.0				
LFRAC		0.0	0.0	0.0
0.0				
SFRAC		1.0000	1.0000	1.0000
1.0000	1.0000			
ENTHALPY:				
CAL/GM		-2901.0150	-2901.0104	-2901.0059
-2901.0376	-2901.0014			
KCAL/HR		-1.6478+06	-1.6478+06	-1.6478+06
-1.6478+06	-1.6478+06			
DENSITY:				
GM/CC		1.0000	1.0000	1.0000
1.0000	1.0000			
AVG MW		1.0000	1.0000	1.0000
1.0000	1.0000			

STREAM SECTION

RET21 RET22 RET3 RET4 RET5

STREAM ID	RET21	RET22	RET3	RET4
RET5				
FROM :	B21	B22	B3	B4
B5				
TO :	B20	B21	B2	B3
B4				
CLASS:	CONV-NC	CONV-NC	CONV-NC	CONV-NC
CONV-NC	CONV-NC			
TOTAL STREAM:				
KG/HR				
2.9872+04	3.1473+04	4.4300+04	4.7050+04	2.8404+04
KCAL/HR				
-1.1214+08	-1.1818+08	-1.6654+08	-1.7691+08	-1.0660+08

SUBSTREAM: CONV				
PHASE:	LIQUID	LIQUID	LIQUID	LI-
QUID	LIQUID			
COMPONENTS: KMOL/HR				
WATER	2427.5244	2580.2068	1545.1434	
1626.6232 1715.5248				
TOTAL FLOW:	2427.5244	2580.2068	1545.1434	
KMOL/HR				
1626.6232 1715.5248	4.3732+04	4.6482+04	2.7836+04	
KG/HR				
2.9304+04 3.0905+04	4.4920+04	4.7746+04	2.8591+04	
L/HR				
3.0099+04 3.1744+04				
STATE VARIABLES:				
TEMP C	44.9864	44.9910	44.9502	
44.9547 44.9592				
PRES ATM	2.2000	2.2000	2.2000	
2.2000 2.2000				
VFRAC	0.0	0.0	0.0	0.0
0.0				
LFRAC	1.0000	1.0000	1.0000	
1.0000 1.0000				
SFRAC	0.0	0.0	0.0	0.0
0.0				
ENTHALPY:				
CAL/MOL	-6.7925+04	-6.7925+04	-6.7925+04	
-6.7925+04 -6.7925+04				
CAL/GM	-3770.4486	-3770.4441	-3770.4844	
-3770.4800 -3770.4755				
KCAL/HR	-1.6489+08	-1.7526+08	-1.0496+08	
-1.1049+08 -1.1653+08				
ENTROPY:				
CAL/MOL-K	-43.9726	-43.9719	-43.9783	
-43.9776 -43.9769				
CAL/GM-K	-2.4408	-2.4408	-2.4412	
-2.4411 -2.4411				
DENSITY:				
MOL/CC	5.4041-02	5.4041-02	5.4043-02	
5.4043-02 5.4042-02				
GM/CC	0.9735	0.9735	0.9735	
0.9735 0.9735				
AVG MW	18.0150	18.0150	18.0150	
18.0150 18.0150				
SUBSTREAM: NONCONV	STRUCTURE: NON CONVENTIONAL			
COMPONENTS: KG/HR				
CELLS	568.0000	568.0000	568.0000	
568.0000 568.0000				
TOTAL FLOW:	568.0000	568.0000	568.0000	
KG/HR				
568.0000 568.0000				
STATE VARIABLES:				
TEMP C	44.9864	44.9910	44.9502	
44.9547 44.9592				
PRES ATM	2.2000	2.2000	2.2000	
2.2000 2.2000				
VFRAC	0.0	0.0	0.0	0.0
0.0				

LFRAC		0.0	0.0	0.0	0.0
SFRAC		1.0000	1.0000	1.0000	
1.0000	1.0000				
ENTHALPY:					
CAL/GM		-2900.9968	-2900.9922	-2901.0331	
-2901.0285	-2901.0240				
KCAL/HR		-1.6478+06	-1.6478+06	-1.6478+06	
-1.6478+06	-1.6478+06				
DENSITY:					
GM/CC		1.0000	1.0000	1.0000	
1.0000	1.0000				
AVG MW		1.0000	1.0000	1.0000	
1.0000	1.0000				

STREAM SECTION

RET6 RET7 RET8 RET9

STREAM ID	RET6	RET7	RET8	RET9
FROM :	B6	B8	B9	B10
TO :	B5	B9	B10	B11
CLASS:	CONV-NC	CONV-NC	CONV-NC	
CONV-NC				
TOTAL STREAM:				
KG/HR	3.3215+04	1.8116+04	1.7340+04	
1.6652+04				
KCAL/HR	-1.2474+08	-6.7812+07	-6.4887+07	
-6.2293+07				
SUBSTREAM: CONV				
PHASE:	LIQUID	LIQUID	LIQUID	LI-
QUID				
COMPONENTS: KMOL/HR				
WATER	1812.2244	974.0515	930.9966	
892.8006				
TOTAL FLOW:				
KMOL/HR	1812.2244	974.0515	930.9966	
892.8006				
KG/HR	3.2647+04	1.7548+04	1.6772+04	
1.6084+04				
L/HR	3.3533+04	1.8023+04	1.7227+04	
1.6520+04				
STATE VARIABLES:				
TEMP C	44.9637	44.9366	44.9320	
44.9275				
PRES ATM	2.2000	2.2280	2.2280	
2.2280				
VFRAC	0.0	0.0	0.0	0.0
LFRAC	1.0000	1.0000	1.0000	
1.0000				

SFRAC	0.0	0.0	0.0	0.0
ENTHALPY:				
CAL/MOL	-6.7925+04	-6.7926+04	-6.7926+04	
-6.7926+04				
CAL/GM	-3770.4710	-3770.4978	-3770.5023	
-3770.5068				
KCAL/HR	-1.2310+08	-6.6164+07	-6.3239+07	
-6.0645+07				
ENTROPY:				
CAL/MOL-K	-43.9762	-44.0056	-44.0063	
-44.0070				
CAL/GM-K	-2.4410	-2.4427	-2.4427	
-2.4428				
DENSITY:				
MOL/CC	5.4042-02	5.4044-02	5.4044-02	
5.4044-02				
GM/CC	0.9735	0.9736	0.9736	
0.9736				
AVG MW	18.0150	18.0150	18.0150	
18.0150				
SUBSTREAM: NONCONV	STRUCTURE: NON CONVENTIONAL			
COMPONENTS: KG/HR				
CELLS	568.0000	568.0000	568.0000	
568.0000				
TOTAL FLOW:				
KG/HR	568.0000	568.0000	568.0000	
568.0000				
STATE VARIABLES:				
TEMP C	44.9637	44.9366	44.9320	
44.9275				
PRES ATM	2.2000	2.2280	2.2280	
2.2280				
VFRAC	0.0	0.0	0.0	0.0
LFRAC	0.0	0.0	0.0	0.0
SFRAC	1.0000	1.0000	1.0000	
1.0000				
ENTHALPY:				
CAL/GM	-2901.0195	-2901.0466	-2901.0512	
-2901.0557				
KCAL/HR	-1.6478+06	-1.6478+06	-1.6478+06	
-1.6478+06				
DENSITY:				
GM/CC	1.0000	1.0000	1.0000	
1.0000				
AVG MW	1.0000	1.0000	1.0000	
1.0000				

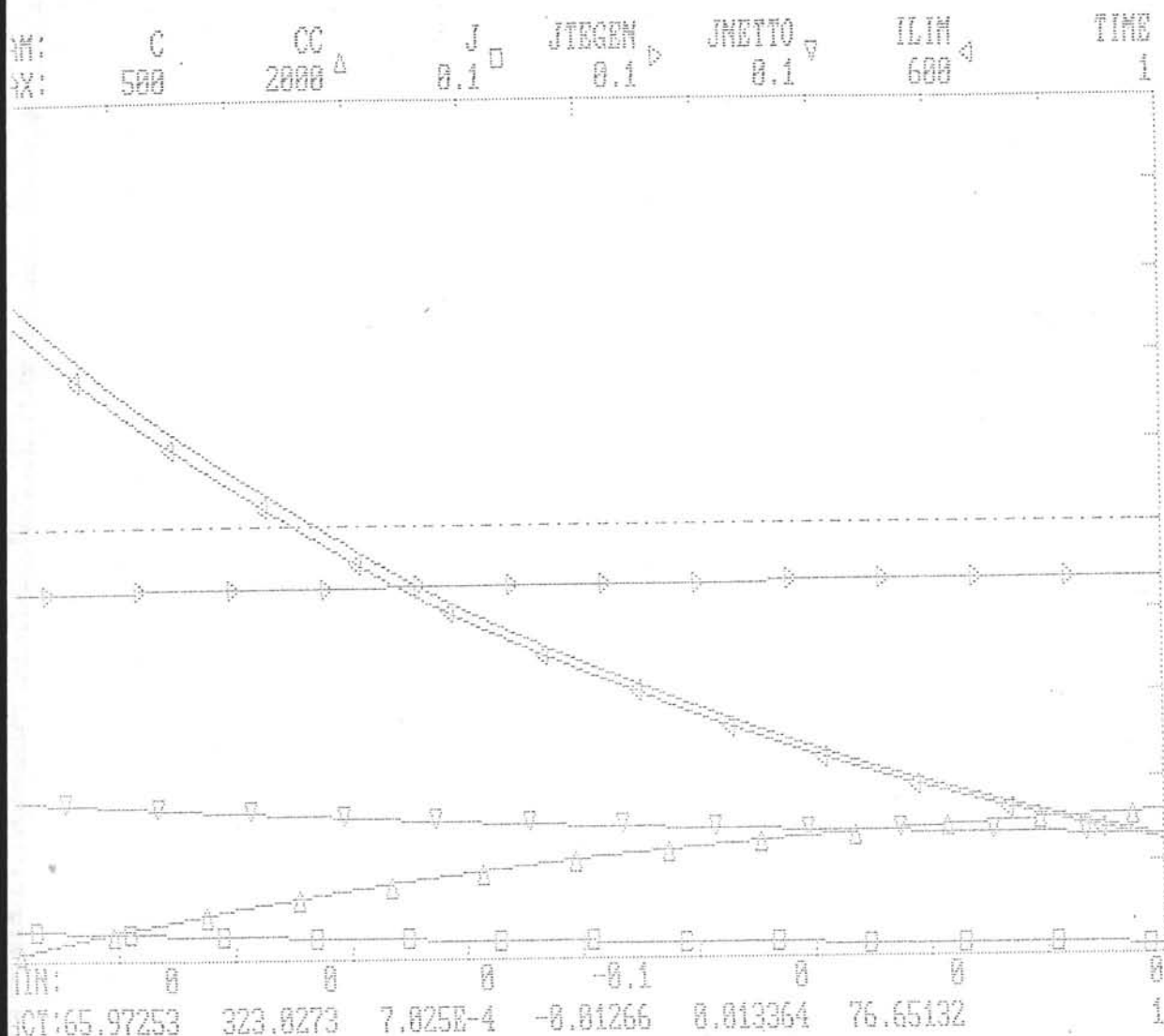
BIJLAGE III (behorende bij hfst. 6)

* Structure and parameters of present model **

lock	Type	Inputs/Comment	Par1	Par2	Par3
	INT	DCDX		CB0	
C	INT	DCCDX	.0000		
GEM'	INT	C	.0000		
N	INT	DCNDX		CB0	
B0	PAR	389			
	VAR	1			
L	VAR	1E-3			
CCKG	VAR	CC*90/1000			
CKG	VAR	C*90/1000			
CM	VAR	0			
CMC	VAR	2000			
D	VAR	1E-3			
DCCDX	VAR	(J/QCC)*A			
DCDX	VAR	-J*A/Q			
DCNDX	VAR	-JN*A/Q			
DI	VAR	1E-9			
CPRAC	VAR	I^2*N*R*(AL/QF)			
F	VAR	9.652E4			
I	VAR	.8*77			
ELIM	VAR	(C*Z*F*K)/(T'-T)			
ITOT	VAR	(Z*F*(2*QF+QCCE)*(450-76))/ZETA			
J	VAR	(I*T)/(Z*F)-K*(CM-C)			
JN	VAR	(I*TN)/(Z*F)-K*(CM-CN)			
JNETTO	VAR	J-JTEGEN			
JTEGEN	VAR	K*(CC-CMC)-I*T/(Z*F)			
K	VAR	SH*DI/D			
N	VAR	6250			
NU	VAR	1E-6			
Q	VAR	5E-6			
QCC	VAR	5E-6			
QCCE	VAR	.5*QF			
QF	VAR	.01042			
R	VAR	100			
RE	VAR	Q*D/(AL*NU)			
SC	VAR	NU/DI			
SH	VAR	.332*(RE)^.5*(SC)^.33333			
T	VAR	.3333			
T'	VAR	.95			
TN	VAR	.666667			
TS	VAR	.186			
X	VAR	TIME			
Z	VAR	1			
ZETA	VAR	.9			

28-Apr-1993 19:57 File: A:DIALYSE

S:\App1\#93 19:57 File: A:DIALYSE



BIJLAGE IV (behorende bij hfst. 7)
 IN-UNITS MET VOLUME-FLOW='L/HR' ENTHALPY-FLO='KCAL/HR' &
 HEAT-TRANS-C='KCAL/HR-SQM-K' TEMPERATURE=C DEL-
 TA-T=C & HEAD=METER FILTER-RESIS='1/CM' HEAT=KCAL
 FLUX='L/SQM-HR' & MOLE-CONC='MOL/L'
 DEF-STREAMS CONV-NC
 DATABANKS ASPENPCD / BPS
 PROP-SOURCES ASPENPCD / BPS
 COMPONENTS
 WATER H2O WATER /
 CELLS * CELLS
 FLOWSHEET
 BLOCK B1 IN=BLEED OUT=FILTRAAT CAKE
 PROPERTIES BPSOP0
 NC-COMPS CELLS BIOCOMP
 NC-PROPS CELLS ENTHALPY BIOENTH / DENSITY BIODEN
 STREAM BLEED
 SUBSTREAM CONV TEMP=45 PRES=1 MASS-FLOW=464.87 NPHA-
 SE=1 & PHASE=L
 MASS-FLOW WATER 464.87
 SUBSTREAM NONCONV TEMP=45 PRES=1 MASS-FLOW=17.565
 MASS-FLOW CELLS 17.565
 COMP-ATTR CELLS BIOCOMP (54 5 22 11 8.0 75)
 BLOCK B1 FILTER
 DESIGN MAX-PDROP=0.9
 OPERATION REVS=3
 CAKE-PROPS SOLID-FRAC=.6 CAKE-RES=3.9063E11 DI-
 AM-PART=1E-6
 FLOWSHEET CONNECTIVITY BY STREAMS

STREAM	SOURCE	DEST	STREAM	SOURCE
DEST BLEED	----	B1	FILTRAAT	B1

CAKE B1 ----

FLOWSCHEET CONNECTIVITY BY BLOCKS

BLOCK	INLETS	OUTLETS
B1	BLEED	FILTRAAT CAKE

COMPUTATION ORDER FOR THE FLOWSHEET IS:

B1

MODULE ROTARY WILL BE GENERATED 04/27/93 13:54:51:44
LOCATED IN:E:\ROTARY

IN-CORE-PLEX SIZE = 47 RECORDS, WORK SIZE = 380 IN-
TEGER WORDS

NO ERRORS OR WARNINGS GENERATED

SIMULATION PROGRAM MAY BE EXECUTED

* ASPEN PLUS INPUT TRANSLATOR ENDS EXECUTION *

*** CALCULATION TRACE ***

SIMULATION CALCULATIONS BEGIN

TIME = 0.06

ENTHALPY CALCULATION FOR INLET STREAM BLEED OF BLOCK B1

TIME = 0.11

SUBSTREAM CONV

KODE = 2 NO. TEMP ITER = 1 TEMP = 318.15

KPHASE = 2 KODE = 2 T = 318.15 P =
0.10133E+06 Q = 0.00000E+00

SUBSTREAM NONCONV

KODE = 2 T = 318.15 P = 0.10133E+06 Q =
0.00000E+00 HNCS = -0.12146E+08

UOS BLOCK B1 MODEL: FILTER

TIME = 0.11

* WARNING WHILE EXECUTING UNIT OPERATIONS BLOCK: "B1"
(MODEL: "FILTER")

(USS08.5)

CAKE THICKNESS (0.2097E-02) IS LESS THAN 0.00635 M.

SOLIDS MASS FLOW = 0.488E-02 PRESSURE DROP = 91192.5

FILTER DIAMETER = 0.2909 FILTER WIDTH = 0.582

KODE = 1 NO. TEMP ITER = 5 TEMP = 318.15

KPHASE = 2 KODE = 1 T = 318.15 P = 10133.

Q = 0.00000E+00

KODE = 1 NO. TEMP ITER = 5 TEMP = 318.15

KPHASE = 2 KODE = 1 T = 318.15 P = 10133.

Q = 0.00000E+00

*** SUMMARY OF ERRORS ***

PHYSICAL

PROPERTY SYSTEM SIMULATION

TERMINAL ERRORS	0	0	0
SEVERE ERRORS	0	0	0
ERRORS	0	0	0
WARNINGS	0	0	1

OVERALL FLOWSHEET BALANCE

		*** MASS AND ENERGY BALANCE	***
		IN	OUT
RELATIVE DIFF.			
CONVENTIONAL COMPONENTS (KMOL/HR)			
WATER		25.8046	25.8046
0.000000E+00			
SUBTOTAL(KMOL/HR)		25.8046	25.8046
0.000000E+00			
(KG/HR)		464.870	464.870
0.000000E+00			
NON-CONVENTIONAL COMPONENTS (KG/HR)			
CELLS		17.5650	17.5650
0.000000E+00			
SUBTOTAL(KG/HR)		17.5650	17.5650
0.000000E+00			
TOTAL BALANCE			
MASS(KG/HR)		482.435	482.435
0.000000E+00			
ENTHALPY(KCAL/HR)		-0.180374E+07	-0.180374E+07
0.240170E-11			

		*** MASS AND ENERGY BALANCE	***
		IN	OUT
RELATIVE DIFF.			
CONV. COMP.(KMOL/HR)		25.8046	25.8046
0.000000E+00			
(KG/HR)		464.870	464.870
0.000000E+00			
NONCONV. COMP(KG/HR)		17.5650	17.5650
0.000000E+00			
TOTAL BALANCE			
MASS(KG/HR)		482.435	482.435
0.000000E+00			
ENTHALPY(KCAL/HR)		-0.180374E+07	-0.180374E+07
0.240170E-11			

*** INPUT DATA ***

MAXIMUM PRESSURE DROP	ATM
0.90000	
FILTER WIDTH TO DIAMETER RATIO	
2.00000	
ANGULAR VELOCITY RPM	
3.00000	
CAKE FORMATION ANGLE DEG	
120.006	
MASS FRACTION OF SOLIDS IN CAKE	
0.60000	

AVERAGE POROSITY			
0.45000	FILTRATION RESISTANCE METER/KG		MIS-
SING	UNIT PRESSURE CAKE RESISTANCE METER/KG		
0.390630+12	CAKE COMPRESSIBILITY		0.0
AVERAGE PARTICLE DIAMETER METER			
0.100000-05	PARTICLE SPHERICITY		
0.75000			
*** RESULTS ***			
FILTER DIAMETER METER			
0.29090	FILTER WIDTH METER		
0.58181	AVERAGE PARTICLE DIAMETER METER		MIS-
SING	AVERAGE SOLID DENSITY GM/CC		
1.00000	TOTAL SOLIDS MASS FLOW RATE KG/HR		
17.5650	SURFACE TENSION DYNE/CM		
93.6379	VOLUME FLOW RATE OF FILTRATE L/HR		
465.479	MASS FRACTION OF SOLIDS IN CAKE		
0.60000	CAKE THICKNESS METER		
0.0020966	FILTRATION RESISTANCE METER/KG		
0.390630+12	AVERAGE POROSITY		
0.45000	CAKE COMPRESSIBILITY		0.0

STREAM SECTION

BLEED CAKE FILTRAAT

STREAM ID	BLEED	CAKE	FILTRAAT
FROM :	----	B1	B1
TO :	B1	----	----
CLASS:	CONV-NC	CONV-NC	CONV-NC
TOTAL STREAM:			
KG/HR	482.4350	29.2750	453.1600
KCAL/HR	-1.8037+06	-9.5109+04	-1.7086+06
SUBSTREAM: CONV			
PHASE:	LIQUID	LIQUID	LIQUID
COMPONENTS: KMOL/HR			
WATER	25.8046	0.6500	25.1545
TOTAL FLOW:			

KMOL/HR	25.8046	0.6500	25.1545
KG/HR	464.8700	11.7100	453.1600
L/HR	477.5071	12.0283	465.4787
STATE VARIABLES:			
TEMP C	45.0000	45.0000	45.0000
PRES ATM	1.0000	0.1000	0.1000
VFRAC	0.0	0.0	0.0
LFRAC	1.0000	1.0000	1.0000
SFRAC	0.0	0.0	0.0
ENTHALPY:			
CAL/MOL	-6.7924+04	-6.7924+04	-6.7924+04
CAL/GM	-3770.4353	-3770.4353	-3770.4353
KCAL/HR	-1.7528+06	-4.4152+04	-1.7086+06
ENTROPY:			
CAL/MOL-K	-42.4047	-37.8322	-37.8322
CAL/GM-K	-2.3538	-2.1000	-2.1000
DENSITY:			
MOL/CC	5.4040-02	5.4040-02	5.4040-02
GM/CC	0.9735	0.9735	0.9735
AVG MW	18.0150	18.0150	18.0150

SUBSTREAM: NONCONV	STRUCTURE: NON CONVENTIONAL		
COMPONENTS: KG/HR			
CELLS	17.5650	17.5650	0.0
TOTAL FLOW:			
KG/HR	17.5650	17.5650	0.0
STATE VARIABLES:			
TEMP C	45.0000	45.0000	MISSING
PRES ATM	1.0000	0.1000	0.1000
VFRAC	0.0	0.0	MISSING
LFRAC	0.0	0.0	MISSING
SFRAC	1.0000	1.0000	MISSING
ENTHALPY:			
CAL/GM	-2900.9833	-2900.9833	MISSING
KCAL/HR	-5.0957+04	-5.0957+04	MISSING
DENSITY:			
GM/CC	1.0000	1.0000	MISSING
AVG MW	1.0000	1.0000	1.0000
COMPONENT ATTRIBUTES:			
CELLS BIOCOMP			
CARBON	54.0000	54.0000	MISSING

STREAM SECTION

BLEED CAKE FILTRAAT (CONTINUED)			
STREAM ID	BLEED	CAKE	FILTRAAT
HYDROGEN	5.0000	5.0000	MISSING
OXYGEN	22.0000	22.0000	MISSING

NITROGEN	11.0000	11.0000	MISSING
ASH	8.0000	8.0000	MISSING
MOISTURE	75.0000	75.0000	MISSING

BIJLAGE V (behorende bij hfst. 9)

170

Convergence Status: Block Completed Normally
Property Status: OK

Report for Block: B2 Model:Heater
Description: Heater,Results Units:

Convergence Status: Block Completed Normally
Property Status: OK

Two phase calculation, T2 spec'd

Outlet Temperatures 300.0000 K
 Outlet Pressure 1.00000E-5 N/SQY
 Heat Duty -2.7050E-3 WATT
 Vapor Fraction 0.0
 1st Liquid/Total Liquid 1.000000

BIJLAGE VI (behorende bij hfst. 10)

TABLE OF CONTENTS

RUN CONTROL SECTION.....	1
RUN CONTROL INFORMATION.....	1
BLOCK STATUS.....	1
FLOWSCHEET SECTION.....	2
FLOWSCHEET CONNECTIVITY BY STREAMS.....	2
FLOWSCHEET CONNECTIVITY BY BLOCKS.....	2
COMPUTATIONAL SEQUENCE.....	2
OVERALL FLOWSCHEET BALANCE.....	2
PHYSICAL PROPERTIES SECTION.....	3
COMPONENTS.....	3
U-O-S BLOCK SECTION.....	4
BLOCK: P8 MODEL: PUMP.....	4
STREAM SECTION.....	5
IN UIT.....	5

RUN CONTROL SECTION

RUN CONTROL INFORMATION

FLOWSCHEET SECTION

FLOWSCHEET CONNECTIVITY BY STREAMS

STREAM	SOURCE	DEST	STREAM	SOURCE	DEST
IN	---	P8	UIT	P8	---

FLOWSCHEET CONNECTIVITY BY BLOCKS

BLOCK	INLETS	OUTLETS
P8	IN	UIT

COMPUTATIONAL SEQUENCE

SEQUENCE USED WAS:

P8

OVERALL FLOWSCHEET BALANCE

*** MASS AND ENERGY BALANCE ***

IN OUT RELATIVE DIFF.

CONVENTIONAL COMPONENTS (KMOL/HR)

WATER	3080.29	3080.29	0.000000E+00
SUBTOTAL(KMOL/HR)	3080.29	3080.29	0.000000E+00
(KG/HR)	55491.5	55491.5	0.000000E+00

NON-CONVENTIONAL COMPONENTS (KG/HR)

CELLS	0.000000E+00	0.000000E+00	0.000000E+00
SUBTOTAL(KG/HR)	0.000000E+00	0.000000E+00	0.000000E+00
TOTAL BALANCE			

MASS(KG/HR)	55491.5	55491.5	0.000000E+00
--------------	---------	---------	--------------

ENTHALPY(KCAL/HR)	-0.209230E+09	-0.209228E+09	-0.102274E-04
--------------------	---------------	---------------	---------------

PHYSICAL PROPERTIES SECTION

COMPONENTS

ID TYPE FORMULA NAME OR ALIAS REPORT NAME
 WATER C H₂O H₂O WATER
 CELLS NC MISSING CELLS
 ID ATTRIBUTE TYPES
 CELLS BIOCOPM

U-O-S BLOCK SECTION

BLOCK: P8 MODEL: PUMP

INLET STREAM: IN
 OUTLET STREAM: UIT
 PROPERTY OPTION SET: BPSOP0 IDEAL LIQUID / IDEAL GAS

*** MASS AND ENERGY BALANCE ***

	IN	OUT	RELATIVE DIFF.
CONV. COMP.(KMOL/HR)	3080.29	3080.29	0.000000E+00
(KG/HR)	55491.5	55491.5	0.000000E+00
NONCONV. COMP(KG/HR)	0.000000E+00	0.000000E+00	0.000000E+00
TOTAL BALANCE			
MASS(KG/HR)	55491.5	55491.5	0.000000E+00
ENTHALPY(KCAL/HR)	-0.209230E+09	-0.209228E+09	-0.102274E-04

*** INPUT DATA ***

PRESSURE CHANGE (ATM)	1.00000
DRIVER EFFICIENCY	1.00000

FLASH SPECIFICATIONS:

LIQUID PHASE CALCULATION

NO FLASH PERFORMED

MAXIMUM NUMBER OF ITERATIONS	30
TOLERANCE	0.000100000

*** RESULTS ***

VOLUMETRIC FLOW RATE (L/HR)	57,000.0
PRESSURE CHANGE (ATM)	1.00000
FLUID POWER (KW)	1.60431
BRAKE POWER (KW)	2.48865
ELECTRICITY (KW)	2.48865
PUMP EFFICIENCY USED	0.64465
NET WORK (KW)	-2.48865

STREAM SECTION

IN UIT

STREAM ID IN UIT
 FROM : ---- P8
 TO : P8 ----
 CLASS: CONV-NC CONV-NC
 TOTAL STREAM:
 KG/HR 5.5492+04 5.5492+04

KCAL/HR -2.0923+08 -2.0923+08

SUBSTREAM: CONV

PHASE: LIQUID LIQUID

COMPONENTS: KMOL/HR

WATER 3080.2949 3080.2949

TOTAL FLOW:

KMOL/HR 3080.2949 3080.2949

KG/HR 5.5492+04 5.5492+04

L/HR 5.7000+04 5.7002+04

STATE VARIABLES:

TEMP C 45.0000 45.0390

PRES ATM 1.0000 2.0000

VFRAC 0.0 0.0

LFRAC 1.0000 1.0000

SFRAC 0.0 0.0

ENTHALPY:

CAL/MOL -6.7924+04 -6.7924+04

CAL/GM -3770.4353 -3770.3967

KCAL/HR -2.0923+08 -2.0923+08

ENTROPY:

CAL/MOL-K -42.4047 -43.7751

CAL/GM-K -2.3538 -2.4299

DENSITY:

MOL/CC 5.4040-02 5.4038-02

GM/CC 0.9735 0.9735

AVG MW 18.0150 18.0150

TABLE OF CONTENTS

RUN CONTROL SECTION.....	1
RUN CONTROL INFORMATION.....	1
BLOCK STATUS.....	1
 FLOWSHEET SECTION.....	 2
FLOWSHEET CONNECTIVITY BY STREAMS.....	2
FLOWSHEET CONNECTIVITY BY BLOCKS.....	2
COMPUTATIONAL SEQUENCE.....	2
OVERALL FLOWSHEET BALANCE.....	2
 PHYSICAL PROPERTIES SECTION.....	 3
COMPONENTS.....	3
 U-O-S BLOCK SECTION.....	 4
BLOCK: B1 MODEL: CSTERILE.....	4
 STREAM SECTION.....	 6
FEED PRODUKT.....	6

OVERALL FLOWSHEET BALANCE

*** MASS AND ENERGY BALANCE ***			
	IN	OUT	RELATIVE DIFF.
CONVENTIONAL COMPONENTS (KMOL/HR)			
WATER	1108.03	1108.03	0.000000E+00
SUBTOTAL(KMOL/HR)	1108.03	1108.03	0.000000E+00
(KG/HR)	19961.2	19961.2	0.000000E+00
TOTAL BALANCE			
MASS(KG/HR)	19961.2	19961.2	0.000000E+00
ENTHALPY(KCAL/HR)	-0.757488E+08	-0.755564E+08	-0.253961E-02

PHYSICAL PROPERTIES SECTION

BLOCK: B1 MODEL: CSTERILE

INLET STREAM: FEED
 OUTLET STREAM: PRODUKT
 PROPERTY OPTION SET: BPSOP0

*** MASS AND ENERGY BALANCE ***			
REAL COMPONENTS (KG/HR)	IN	OUT	PRODUCED
TOTAL	19961.2	19961.2	0.279464E-12
ENTHALPY (KCAL/HR)	-0.757488E+08	-0.755564E+08	192372.
DUTY (KCAL/HR)		-192372.	

*** INPUT DATA ***

HOLDING TEMPERATURE	C	125.00
OUTLET TEMPERATURE	C	30.000
PRESSURE	ATM	1.0000
TYPE		PLUG
DIAMETER	METER	0.25000E-01

INLET MICROORG. CONC. NO/L		0.10000E + 10
INTERVAL	HR	10.000
NUMBER OF POINTS		10

DEATH KINETICS :

DEATH MODEL: LOG

	K 1/HR	LN(A) LN(1/HR)	E CAL/MOL
DEATH REACTION RATE	---	96.500	71000.

*** RESULTS ***

CALCULATED PRESSURE	ATM	2.2832
LENGTH	METER	1853.6
EXIT STERILITY LEVEL		0.44612E-14
FLUID VELOCITY	M/SEC	12.685
RESIDENCE TIME	HR	0.40592E-01
REYNOLDS NUMBER		0.13251E + 07
HEAT DUTY	KCAL/HR	0.21502E + 07
COOLING DUTY	KCAL/HR	0.19578E + 07

***** RESULTS PROFILES *****

** STERILITY PROFILE **

LENGTH	STERILITY LEVEL
METER	N/NFEED

0.00000E+00	1.0000
185.36	0.36724E-01
370.72	0.13486E-02
556.08	0.49526E-04
741.44	0.18188E-05
926.79	0.66792E-07
1112.2	0.24529E-08
1297.5	0.90078E-10
1482.9	0.33080E-11
1668.2	0.12148E-12
1853.6	0.44612E-14

STREAM SECTION

FEED PRODUKT

STREAM ID	FEED	PRODUKT
FROM :	----	B1
TO :	B1	----
CLASS:	CONV-NC	CONV-NC
TOTAL STREAM:		
KG/HR	1.9961+04	1.9961+04
KCAL/HR	-7.5749+07	-7.5556+07

SUBSTREAM: CONV

PHASE: LIQUID LIQUID

COMPONENTS: KMOL/HR

WATER 1108.0340 1108.0340

TOTAL FLOW:

KMOL/HR 1108.0340 1108.0340

KG/HR 1.9961+04 1.9961+04

L/HR 2.0005+04 2.0200+04

STATE VARIABLES:

TEMP C 20.0000 30.0000

PRES ATM 1.0000 1.0000

VFRAC 0.0 0.0

LFRAC 1.0000 1.0000

SFRAC 0.0 0.0

ENTHALPY:

CAL/MOL -6.8362+04 -6.8189+04

CAL/GM -3794.7397 -3785.1025

KCAL/HR -7.5749+07 -7.5556+07

ENTROPY:

CAL/MOL-K -46.6276 -44.8665

CAL/GM-K -2.5882 -2.4905

DENSITY:

MOL/CC 5.5388-02 5.4853-02

GM/CC 0.9978 0.9881

AVG MW 18.0150 18.0150

SUBSTREAM: CONV

PHASE: LIQUID LIQUID
COMPONENTS: KMOL/HR
WATER 1108.0340 1108.0340

TOTAL FLOW:

KMOL/HR 1108.0340 1108.0340
KG/HR 1.9961+04 1.9961+04
L/HR 2.0005+04 2.0200+04

STATE VARIABLES:

TEMP C	20.0000	30.0000
PRES ATM	1.0000	1.0000
VFRAC	0.0	0.0
LFRAC	1.0000	1.0000
SFRAC	0.0	0.0

ENTHALPY:

CAL/MOL	-6.8362+04	-6.8189+04
CAL/GM	-3794.7397	-3785.1025
KCAL/HR	-7.5749+07	-7.5556+07

ENTROPY:

CAL/MOL-K	-46.6276	-44.8665
CAL/GM-K	-2.5882	-2.4905

DENSITY:

MOL/CC	5.5388-02	5.4853-02
GM/CC	0.9978	0.9881
AVG MW	18.0150	18.0150

